

GM 47442

JOURNAL DE SONDAGE, PROJET WILCO

Documents complémentaires

Additional Files



Licence



Licence

Cette première page a été ajoutée
au document et ne fait pas partie du
rapport tel que soumis par les auteurs.

Énergie et Ressources
naturelles

Québec 



Journal de Sondage MAZARIN EXPLORATION

Coordonnées

Forage no. W- 86-5 Latitude: Départ: Elévation: Pendage: 84° Azimut: 360° Profondeur: 2587'
(Commencé à 1467,2')

Localisation L- 59+10 W Commencé le: 23 mai 87 Déclinaison -13° Diamètre de B.Q.
S 8+90 N Terminé le: 14 juin 87 Magnétique la carotte BUT DU TROU rallongement de trou
Veine DeKa

Projet Province Canton Bloc Rang Claim Grillage S.N.R.C.
Wiles Qc. Rouyn 32 VIII N C.M.265

Test à l'acide

Profondeur	Pendage	Profondeur	Pendage
1500'	84°	2300'	79.5°
1600'	84°	2400'	79°
1700'	83°	2500'	78°
1800'	84°		
1900'	83°		
2000'	82°		
2107'	82°		
2200'	81°		

Test au Tropari

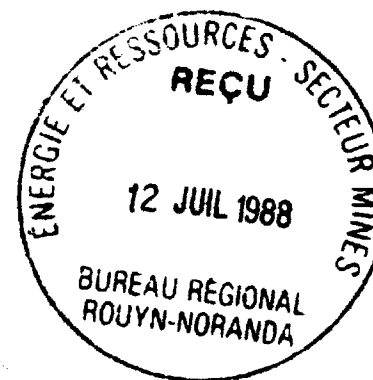
Profondeur Pendage Azm. Astronomique

Phototest (voir en annexe)

Ministère de l'Énergie et des Ressources
Service de la Géoinformation

Date: 2 NOV 1988

No G.M.: 17442



Profondeur
des coins: _____

Profondeur	Roche	Granulométrie et Couleur	Structure Secondaire	Texture et Structure	Altération	Minéralisation	Remarque
1467.2- 1539.4'	V6	Vert fonci aph-phan. loc. grenu.	recoupé Vrc loc E+ox 35° - 75° A.C. jusqu'à 1486: 1/5'	●, pas magnétique		py tr.	
1472.3- 1472.6			passage E, η ₁ py en vermicules. 35° A.C.				
1477.1- 1477.3			" 30° A.C.				
1481.1- 1481.2			Vrc + lambeaux V6 40° A.C.				
1488-1500		grad + granu jusqu'à grain moyen					
1506.45			Vg clair, cc au centre + ds. épontes py fine ds. épontes				
1517- 1539				carotte très grasseuse.			
1521.4- 1522					E		
1532.2 1533			fract ≈ // A.C. py 1%				

Profondeur	Roche	Granulométrie et Couleur	Structure Secondaire	Texture et Structure	Altération	Minéralisation	Remarque
1534.5 /			veinule rare $\approx 1\text{cm}$ avec $\text{py } 20\%$ 30°A.C.				
1539.4- 1560.5				Δ , poss $\Delta\Delta$, Fx devitrifiés. ang à sub-ang. mm - cm aussi Fx V6 aph (complètement Mature loc \emptyset devitrifiés)		py diss tr - $< 1\%$	contact supérieur: <u>V6 aph. \triangleleft Δ</u>
1540. -			Vq ce rose 1cm épaisse py $< 1\%$ 75°A.C.				
1541.1- 1541.9				zone grenup. relativement leucocrate V6 grenue au 2D	?	py en cubes $\leq 1\text{cm}$ + diss	
1550.9- 1557		gris, gr. Fin		V6 ^{loc} herchifié par inj. cc. (secondaire)			
1560.5- 1560.5	V6	Vert, aph- phan.	loc. veroupe Vcc rouillans loc e	\ominus , pas mag., loc \ominus , loc Δ , $\Delta\Delta$		py tr.	
1568.8- 1570.3			Vs e + j rouill + Fx V6 de 1mm à 0.15' $20^\circ-40^\circ\text{A.C.}$ 80°A.C. pour				
1570.8			Vq cc 35°A.C. 1cm				

Profondeur	Roche	Granulométrie et Couleur	Structure Secondaire	Texture et Structure	Altération	Minéralisation	Remarque
1585.3			veinule cc 1mm avec épontes lessivées + py fine pour 1cm de part et d'autre. 50° A.C.				
1590.8- 1591.2			veinules j + py directions variables			py 1%	
1604.2			Uq blanc semi-clair 1cm. 40° A.C. recoupe par Vcc raille				
1608.4			"				
1637.3- 1637.6					passage €		
1641.6- 1646.6				▲ avec Fx & la 0 jusqu'à .3' subangulaires		py < 1%, en cubes	
1687- 1710		+ grenu		2D?			
1716.5- 1717.5 vers 1750- 1756.7- 1756.8				▲?, bordures blanches très fines angulaires délimitent Fx.	∅ → + dur, σ? ↓ €		
1767- 1768			Us cc rouillés + py 25° + 35° A.C.				
1770.2				.1' rongé par l'eau. boue poss?		py < 1%	

Profondeur	Roche	Granulométrie et Couleur	Structure Secondaire	Texture et Structure	Altération	Minéralisation	Remarque
1791.5-			Vcc mm. 1/3, 50°A.C.	léger ≠	∅		
1797 - 1817			Vcc mm généralement rouillies 1/3'				
1822- 1846	V6	gr. fin grisâtre		loc lessivé, loc Δ			
1822- 1825?			Vg + (Fspath?) déformé, marque de but de zone grisâtre 50°A.C. 1.5cm	léger ≠			
1825- 1828.4				Δ, Fx beiges lessivés, dans matrice dure (peu de matrice)		loc py englobules	
1826.5- 1828.4				Fx lessivés durs ds. Fxm à .5', angulaires	→ inj g		
1828.3- 1828.4			veinules g + Rx alt, + chl tcc 60°A.C.				
1828.4- 1830.5			Vs j conc. 1cm.	tr, légers ≠			
1846 ≈ 1860 1883.7- 1884	V6 ou 2D	grenu aph. brun.		gr. V6 brun recoupi de micro- veinules de cc avec épontes alt. bord de Vcc. contacts alt. 60°A.C.		py 2-3%	
ou 1843.7?							

Erreur
de
mesure
?

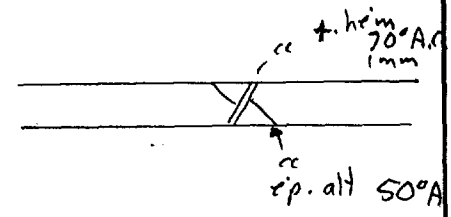

Profondeur	Roche	Granulométrie et Couleur	Structure Secondaire	Texture et Structure	Altération	Minéralisation	Remarque
1889.4 - 1897 1948-1949 1957.2 1965.5			Vcc py (mm) épointés rouillés Plan de fracture pyritiser	loc Δ , Fx mm à dm. angulaires à sub-ang. Δ Vg. E, py $\leq 1\%$ $\rightarrow 50^\circ A.C.$			
1980.1 - 1980.2			Vg, en blocs épointés Π				
1981.7 - 1981.9			inj q cc rouillée			py fine 3%	
1982.6			Vg cc 1.5 cm $52^\circ A.C.$				
1985.3 - 1985.4			Passage fract veinules cc		\leftarrow		
1986.85			Vg cc (e) py 1cm $58^\circ A.C.$			py 5%	
1992.8 - 1999.5						py $< 1\%$ encrues jusqu'à 1cm.	
1999.5 - 2000.3				passage altéré Vb altéré vert + pâle avec Vcc jaune + orange contacts : $35^\circ A.C.$			

Profondeur	Roche	Granulométrie et Couleur	Structure Secondaire	Texture et Structure	Altération	Minéralisation	Remarque
2029.8- 2052				Δ, A, Fx d'apparence détrit. (ang à sub-ang, bordure blanchie) contient loc. Fx α (blanc) fracture graduellement + détrit-fx, blanchâtre (texture perlitique?) contact inf. franc. 30° A.C. → loc. mag.	dur, σ?	py < 1%	
2063.6- 2092						py 1% sous le contact	
2067.2- 2067.4			Vg rc rouilles éponte py.				
2068.1- 2068.3			" contacts 90° + 35° A.C.				
2076.3			veinules py rc petite zone ← épontes trig. alt. less.				
2085.6			Vg chl rc rc .05' 35° A.C.				
2114 - 214.3			passage E rc rouille				
2116.5-			Vg 1cm rc // A.C.				

Profondeur	Roche	Granulométrie et Couleur	Structure Secondaire	Texture et Structure	Altération	Minéralisation	Remarque
2027-2052	Vg grenu ou 2)	grenu					2117-2127 (Boîtes 111+112) manque 4'
2195			Fract 1cm cc \approx // AC pour \approx 2'				erreur à du au problème de "bit"
2197-2199			Vcc rouillées				2160-2167 (Boîte #114) Manque 2.5'
vers 2215-2217					loc *		
2207 2218.1-2218.5			Plan de fract. hématose Δ remplissage cc				
2222-2222.5			Vg fumi, chl, Vg altér contacts 35° + 50° AC.				
2222.8-2223.3			Δ remplissage cc			Vv tr à 1% (épantes py).	
2226.4-2226.6							
2231.6-2231.8							
2236-2250			Vs cc cp hém.				
2237.5			Vcc contenant (à 1cm gros cube de py avec tache op?) avec rotings hém				

Profondeur	Roche	Granulométrie et Couleur	Structure Secondaire	Texture et Structure	Altération	Minéralisation	Remarque
2237.1 2257			Vcc rouillée, lcm + Vcc + bandes chl // à la veine .07' épais. 20° A.C.	→ 30° A.C. Vcc + zone altérée (.1') → 60° A.C.	contacts hématisés	py mordorée 5%	
2262.8- 2264			syst de fract ect hémat, dir D, // A.C.			grosse py cubique 1-2%	
2270			Vcc hémat .5-1cm. 20° A.C.				
2291.4			Vgcc py cp hémat lcm.				
2293 -				loc petit xtam blanc: spaths?			
2336.5- 2336.6				passage E py ≤ 1%			
2349- 2368				carotte grasseuse (cutwell)			
2358.5- 2359.4			Vgcc chl verte R x, cp py loc chl. noire. contacts 30°			cp py < 1%	
2359.4- 2378.4	2378.4			A, A		py hétérogène ≤ 1%	

Profondeur	Roche	Granulométrie et Couleur	Structure Secondaire	Texture et Structure	Altération	Minéralisation	Remarque
2378.6			Vcc 1.5cm 30° A.C.				
2378.7 2380			Fract ≈ 11 A.C.				
2380 ⁰ 2380		aph					
2380.3 2380.9				Δ	+ mou, se voit + facilement		
2385. 2385.7			Vscc, agglomération de cubes de py Vcc hem 55° A.C. 1cm.				
2413.2 - 2413.3			Vg chl cc py rubans de chl // V				
de 2400 - ≈ 2440 2428.8			Veinule q clair 4 cm épointée à terre 48° A.C.	loc. magnétique		py < 1%	
						grosse py bc < 1%	

Profondeur	Roche	Granulométrie et Couleur	Structure Secondaire	Texture et Structure	Altération	Minéralisation	Remarque
2449.1- 2492			Frequents passages ϵ micro vermines cc loc π			$py \leq 1\%$ en petits cubes assl.	
2244.5			Vg, répétées π , lcn 40° A.C.				
2249.1- 2249.6			ϵ , Vcc rose + g				
2251.6- 2553.7 2254.4- 2254.6			Vcc disc, s'étend sur 1.5' lons: 5-10° A.C. passage ϵ , Vg clair 70° A.C. lcn				
2465.6- 2465.9			mj. g laitex + clau cc Rx ϕ , + Rx alt				
2474.2			Fract, irrégulière ≈ 50 A.C. plage cc, ch				
2477			Vcc x rad (disc?) 10° A.C.				
2488.2 2492				loc pass. $\Delta \pi$ $py \leq 1-2\%$			

Profondeur	Roche	Granulométrie et Couleur	Structure Secondaire	Texture et Structure	Altération	Minéralisation	Remarque
2492 - 2493.2			Vg, lambeaux // Rx épointés π et alt loc r. (D au contact supérieur Vg, .15' épais Vg + zone altérée (D) . 3' épais, réelle				
2493.2 - 2510.6 ----- 2510.6 2512.3 -	dyke mafique	vert pâle le's grenu ☐	recoupe veinules cc thém 2mm 1/.5' 25°-70° A.C.	matrice le's. grenue (plag + cpx) contenant 2% phénocristaux d'amph. Ø. (loc. lates), jusqu'à 2-3mm.		2493.2 - 2493.9: py fine 3%	
2512.3 -2587 ----- 2521.4 - 2525	V6	vert aph-plan	Vcc, loc vq ds passage e, loc π	zone de blocs, Vcc, certains blocs indiquent fract. à faible angle A.C. boue lam $\approx 10^\circ$ A.C. ⊙, loc Δ D, inj. r r irrégulières + 3x Vcc \approx lam à 10° A.C.		2514 - 2510.6	contact de faille
2526 - 2526.4				Petits xtaux foncés de forme allongée, vert-brun. voir amphib? ds reliés à des veinules de cc ds veine + rock			

Profondeur	Roche	Granulométrie et Couleur	Structure Secondaire	Texture et Structure	Altération	Minéralisation	Remarque
2528.2- 2528.8				Δ disc., gros FxVG ds matrice de rc, contacts 15° A.C.			
à 2587	- FIN DU TROU						

PROJET : WILCO
 TROU No. : W-86-05

DEVIATIONS

INSTRUMENT : SPERRY SUN

AZIMUTH							AZIMUTH						
PROF.	MAG.	GRID	PENDAGE	LATITUDE	LONGITUDE	ELEVATION	PROF.	MAG.	GRID	PENDAGE	LATITUDE	LONGITUDE	ELEVATION
70.00	N15E	359	-83.0	9.1	-0.1	-69.4	2560.00	N62E	46	-79.0	326.2	116.2	-2534.7
160.00	N17E	1	-82.5	20.5	-0.1	-158.7							
200.00	N20E	4	-83.3	25.4	0.1	-198.4							
280.00	N20E	4	-82.8	35.1	0.8	-277.8							
400.00	N20E	4	-83.8	49.1	1.8	-397.0							
520.00	N21E	5	-82.5	63.3	2.9	-516.1							
580.00	N28E	12	-83.3	70.7	4.0	-575.7							
640.00	N30E	14	-83.5	77.4	5.6	-635.3							
760.00	N30E	14	-83.0	91.1	9.0	-754.4							
820.00	N30E	14	-82.8	98.3	10.8	-814.0							
880.00	N30E	14	-83.0	105.5	12.6	-873.5							
1000.00	N28E	12	-83.3	119.4	15.8	-992.6							
1060.00	N29E	13	-83.3	126.2	17.3	-1052.2							
1300.00	N29E	13	-82.8	154.5	23.8	-1290.5							
1360.00	N29E	13	-81.8	162.4	25.6	-1349.9							
1420.00	N31E	15	-81.5	170.8	27.7	-1409.3							
1480.00	N30E	14	-82.3	179.0	29.9	-1468.7							
1540.00	N32E	16	-82.0	186.9	32.0	-1528.1							
1600.00	N35E	19	-82.0	194.9	34.5	-1587.6							
1660.00	N42E	26	-82.3	202.5	37.6	-1647.0							
1780.00	N42E	26	-81.8	217.4	44.9	-1765.8							
1840.00	N41E	25	-81.5	225.2	48.7	-1825.2							
1900.00	N42E	26	-81.3	233.3	52.5	-1884.5							
1960.00	N40E	24	-81.3	241.6	56.4	-1943.8							
2020.00	N46E	30	-80.8	249.9	60.6	-2003.1							
2140.00	N49E	33	-80.8	266.2	70.6	-2121.6							
2200.00	N50E	34	-80.3	274.4	76.1	-2180.7							
2320.00	N50E	34	-79.3	292.1	87.9	-2298.8							
2380.00	N53E	37	-79.3	301.1	94.4	-2357.8							
2500.00	N58E	42	-79.5	318.2	108.4	-2475.8							

ANALYSE DES CAROTTES DE FORAGE: SULFURES

Unité	N° Echantillon	De Pied	à Pied	Longueur Pied	Estimée		ANALYSES						MOYENNE PONDERÉE						
					Cu	Zn	Cu	% Zn	Ag ppm	Au ppb	% Fe	Gold							Au ppb
							Ppm					CHECKS							
	5289	2236.8	2237.6	0.8							21								
	5385	2242	2244	2.0			1640				18								
	5386	2247	2248.5	1.5			1900				28								
	5290	2253.3	2255	1.7							16								
	91	2261.7	2263.6	1.9							21								
	92	2291	2291.8	0.8							23								
	93	2335.8	2337	1.2							23								
	94	2356	2358.5	2.5							25								
	5150	2358.5	2359.4	0.9							12	12, 12							
	95	2359.4	23629	3.5							23	23/23							
	96	2362.4	2365.4	3							23								
	97	2365.4	2368.4	3							14								
	98	2368.4	2371.9	3.5							18								
	5299	2385	2386	1							21								
	5300	2412.6	2413.6	1							18								
	5351	2419.2	2420	0.8							18								
	52	2424.9	2425.9	1							14								
	53	2428.7	2429.6	0.9							23	23/23							
	54	2444.4	2445.4	1.0							18								
	55	2446.8	2449.2	2.4							14								
	56	2449.2	2453.1	3.9							21								
	5357	2453.1	2456.7	3.6							16								



Journal de Sondage MAZARIN EXPLORATION

Coordonnées									
Forage no. W-87-9	Latitude:	Départ:	Elévation:		Pendage: 87°	Azimut: 360°	Profondeur: 2867'		
Localisation L 53+10 W S 10+75 N							Commencé à 1327,2'		
		Commencé le: 29-06-87	Déclinaison -13°		Diamètre de B.O.				
		Terminé le: 20-07-87	Magnétique		la carotte	<u>BUT DU TROU</u> rallongement de trou Veine DeKa			
Projet	Province	Canton	Lot	Rang	Claim	Grillage	S.N.R.C.		
Wilco	Qc.	Rouyn	32	VIII N	C.M.265				

<u>Test à l'acide</u>				<u>Test au Tropari</u>		
<u>Profondeur</u>	<u>Pendage</u>	<u>Profondeur</u>	<u>Pendage</u>	<u>Profondeur</u>	<u>Pendage</u>	<u>Azm. Astronomique</u>
1400'	-	2200'	76°	1897'	79°	199°
1500'	82°	2300'	74°	Phototest (voir en annexe)		
1600'	82°	2400'	71°			
1700'	82°	2500'	70°			
1800'	81°	2600'	70°			
1900'	81°	2700'	69°			
2000'	80.5°	2800'	71°			
2100'	80.5°					


Profondeur des coins: _____

Profondeur	Roche	Granulométrie et Couleur	Structure Secondaire	Texture et Structure	Altération	Minéralisation	Remarque
1327.2 -	V6	Vert, aph- phan.	loc. recoupe de veinules cc (loc. \in). \pm py	<p>\odot, \odot, loc \odot, loc Δ: inter-coulées ou inter \odot</p> <p>Δ: remplissage cc py < 1%, en cubes</p>	plans de fract ϕ \odot loc σ (durs)	py tv. cptr.	
1366.5				bove de faille .05'			
1400- 1402.3				Δ py 1-2%			
1416.8- 1417				Δ , Δ , remplissage de cc grosse py < 1%.			
1425.1-1425.3				Δ , veines + veinules cc			
1429.7- 1430				" py 1%			
1442.7- 1450.6				<p>Δ, Fx blanchâtres fractures de matrice vert foncé loc</p> <p>Δ, Fx pourrait être verre qui affiche divitification différentielle ou alt. Cou Fx felsique \pm alt/ou Fx V6 σ</p> <p>fractures ds. Fx: matrice + r</p>		py < 1%	contact supérieur. 10° A.C.

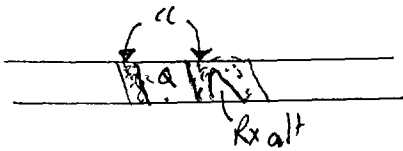
Profondeur	Roche	Granulométrie et Couleur	Structure Secondaire	Texture et Structure	Altération	Minéralisation	Remarque
1452.4				passage j, chl, V6 ± alt, py cp < 1%, éponge supérieure ≠, " inf. Δ pour 1'			
1462.3- 1469.4			Nombreux passages Δ avec remplissage de cc.				
1462.9- 1463.4				passage cc / chl / py fine 25° A.C.			
de 1469.5					n		
de 1532 - 1562				localement magnétique.			
1492- 1493.3				Δ, remplissage cc, grosse py en cubes			
1506.8- 1507				" py tr.			
1519.9- 1520.1				" py < 1%, 40° A.C.			
1524.6- 1524.8			Vcc				
1523.3-1523.6			Vcc, lambeaux V6	V			

Profondeur	Roche	Granulométrie et Couleur	Structure Secondaire	Texture et Structure	Altération	Minéralisation	Remarque
1566.2- 1566.4			Urc + py irrég. ≈ 35° A.C.				<u>généralement dur</u>
1570.4- 1570.7			Passage E, Urc 42° A.C.				
1571.4- 1571.7			" 48° A.C.				
1578.2- 1578.3			" 30° A.C. recoupé par veinules cc				
1594.7- 1595.1			Urc phl q py < 1% contacts 40° + 45° A.C.				
1596.1- 1596.7			Δ, remplissage cc py < 1%				
1606.9			1597-1599 Urc 1/2' 60°-90° A.C.	Δ, base de coulée 40° A.C. → contact sup. ac franc inf graduel			
1620- 1627				Présence de passages noirs chloritiques, loc Δ, avec loc Urc : bordures de coulées au coussin dont l'int. est lég. lessivé			
162 1625.5			un de ces passages grosse py 10%				
1637-1704		loc très grenu		Cavité très grasseuse - Cutwell			

Profondeur	Roche	Granulométrie et Couleur	Structure Secondaire	Texture et Structure	Altération	Minéralisation	Remarque
1638.7- 1638.8			Vcc				
1639.8- 1639.9			"				
1644.2- 1644.4			"				
1660.4- 1660.5			"				
1681.7			Vcc q 18°A.C.				
1696 - 1700				Frequents passages hyaloclastiques n., loc grosse py <1% delimitant bordures de ϕ ou de petites à moyennes autres V6 loc \odot			
1710.6 - 1710.8			Passage E, Ver 45°A.C.				
1710.8 - 1711.1			D, Vsc "				
1715 - 1715.3			Vcc q fx V6 ϕ 35°A.C.				
1763.6			sys. de Vcc total .1' epaiss. 25°A.C.				

Profondeur	Roche	Granulométrie et Couleur	Structure Secondaire	Texture et Structure	Altération	Minéralisation	Remarque
1766- 1768.2			Vcc chl E q 25° A.C.				
1773.4 1774.4			qges Vcc E q .5cm - .15' 25°-40° A.C.				
1782.2- 1782.3			Passage E 50° A.C.				
1784.6			" .05' 40°				
1785.1			" .1' 40°				
1785.4- 1785.6			" 55°				
1790.1- 1793.2			Fract + Vcc + E ± km // A.C. grosse py < 1%				
1799			fract // A.C. cavotte guaisseuse				
18358- 1836.3			Δ, vcc, vq (en blocs)				
1837- 1638.5			Fract + Vcc // A.C.				
de 1839 1874.7		grad + grenu.	veinule q x .2'				
de 1887 1897- 1932.4	- - -	grad + fin jusqu'à aph. r	veinule q veinule 1/3 q	Δ + Δ, Fr VG loc tess.	carb rouille		

Profondeur	Roche	Granulométrie et Couleur	Structure Secondaire	Texture et Structure	Altération	Minéralisation	Remarque
196T 1952- 1990				loc. leg. magnétique			assez dur ↓
1967- 1992		grad. + grenu					
1992- 2037		aph-phan	recoupé par Vcc ch 20-40° A.C.	⊕, Δ, + ⊙, ⊕ et autres de taille variable, contacts à angles variables, loc. Fx arrondis <u>V6n</u> ds. matrice Δ généralement magnétique (loc. intermittent).		py-tv.	
201.7- 2047 de n° 2050- 2047- 2327 2057 *				Généralement magnétique	n		
					loc n		
2090- 2090.9			avec .05' à angle tr. faible (10° A.C.)			Rx lessivé	
2091.7- 2091.9			veinules cc rouilles pyrites (py fine 1-2%) ds veines. (inter ⊕) "				

Profondeur	Roche	Granulométrie et Couleur	Structure Secondaire	Texture et Structure	Altération	Minéralisation	Remarque
2098.6 - 2097 2111 - 2125			Us cc mm 1/2'	zone lessive, Δ, Vcc, Vg ds. Δ			
2118.7 - 2118.9 2130.1 - 2130.3 - 2130.4			2 x Vg cc romillep (chl) 35° A.C. 70° A.C.)				
2134.7 - 2134.8			zone Δ less.				py sur plan de ds. Δ fract.
2145.7 - 2147		gris	Δ, cc chl q py < 1%	lessive, + pâte			
2145.7 2146			Vcc, ε, mt, py cc				
2161.1 - 2161.5				inj. cc q ε mt. Δ 25° A.C.			
2172 - 2177.6				+ grenu, + R, recoupe par Vcc grn ≤ 1cm			
2173.4 - 2174			Vcc q 50° A.C				
2180.8 2180.9			Passage ε Vg cc 50° A.C.				

Profondeur	Roche	Granulométrie et Couleur	Structure Secondaire	Texture et Structure	Altération	Minéralisation	Remarque
2243.4 2257-			Vcc q V6 30° A.C., .15' épais.	V6 généralement ● avec passages ▲ (bord Ø ou routies) loc ▲	loc lessivé'		
2285- 2287				+ grenu	lessivé'		
2296.4- 2297.2					n ⁺		passages grenus n ⁺ remplissage inter Ø ou coulées ?
2305- 2306			▲, remplissage cc				
2314.9- 2315.7			"				
2315.7- 2319.4				+ grenu	n ⁺		
2327.2- 2329.2			inj q cc compré- nant lambeaux V6 Ø				
2332.8-					loc alt, lessivé' vert pâle, jaunâtre relié' aux Vcc q ou ▲		
2347- 2527	V6	vert pâle phaner.		comp diff ou alt: xtaux chl ds matrice + pâle kg. grenue app. aplitique? , généralement massif, loc ▲			
2366.2- 2367.9			Vqw .8' épais + épontes altérées				

Profondeur	Roche	Granulométrie et Couleur	Structure Secondaire	Texture et Structure	Altération	Minéralisation	Remarque
2367.9 2527	V6 Doulalt (suite)	vert + pâle	<p>Vg (suite) q blanc laiteux, traces W, cc tr. sauf au début où q fumé, py (.1')</p> <p>échantes très lessivées, grossières à verd. ép. sup.: .4'; ≠, py 1-2%, de 1-20%</p> <p>de petites arg. w orientées ≈ ≠ en contact avec Δ: 25° A.C.</p> <p>ép. inf.: .2', lessivé py < 1% loc w</p> <p>contact Vg/ép sup: 45° Vg/ép inf: 32°</p>	<p>xiaux chl □ ds matrice plutôt leucocrate planer. "diffus" + micro-lattes plag et/ou act.</p> <p>loc. magnétique, loc bord ∅.</p>	alt, vert jaunâtre		
2407- 2426							
2455- 2456.2			<p>passage Vgcs + Rx lessivé p.</p>				
2458-2458.7							

Profondeur	Roche	Granulométrie et Couleur	Structure Secondaire	Texture et Structure	Altération	Minéralisation	Remarque
2459 - 2467			nombreuses veinules qtzcc avec habs dalt, bc TT; loc Δ				
2522.2 2884.6	V6	vert foncé aph-phan.	recoupe Vcc mm 1/1'	Matrice + foncée, changement graduel, mais app. toujours amas d'actinolite "fuzzy" loc. ⊙	gém. très. loc. très. mag.		
2583 - 2590.2			petites veinules "alterantes"	Δ, Fx allongés // A.C.			
2583.3 - 2678.8				loc magnétique			
2584.2 - 2584.3			Vcc q				
2608.9 - 2609			cc q remplis: ranite				
2617 - 2626				perte de cavité : x. 6' ds. boit			
2681.3 - 2681.4			remplissage cc, puis q				
2727.6 - 2728.4			Vcc Δ V6 // A.C.				
2744.8 - 2744.9			Vcc, très Δ, VY diss. 2%				
à 2788 2788 - 2864.6			15° A.C. Vcc rouille q, 1cm, 15° A.C.	loc. fortement à moyennement magnétique.			

Profondeur	Roche	Granulométrie et Couleur	Structure Secondaire	Texture et Structure	Altération	Minéralisation	Remarque
2851			Vg cc \approx 1 cm échantillon altérés	70° A.C.			
2867	- FIN DU TROU						

PROJET : WILCO
 TROU No. : W-87-09

DEVIATIONS

INSTRUMENT : SPERRY SUN

PROF.	AZIMUTH			LATITUDE	LONGITUDE	ELEVATION	PROF.	AZIMUTH			LATITUDE	LONGITUDE	ELEVATION
	MAG.	GRID	PENDAGE					MAG.	GRID	PENDAGE			
50.00	N32E	16	-87.0	2.6	0.4	-49.9							
230.00	N37E	21	-86.0	13.0	3.9	-229.6							
290.00	N42E	26	-85.8	16.9	5.6	-289.4							
350.00	N42E	26	-85.8	20.9	7.5	-349.3							
410.00	N48E	32	-84.5	25.3	9.9	-409.1							
470.00	N58E	42	-85.0	29.7	13.3	-468.8							
530.00	N65E	49	-84.0	33.7	17.4	-528.5							
590.00	N65E	49	-85.0	37.5	21.7	-588.3							
650.00	N65E	49	-83.8	41.4	26.1	-648.0							
710.00	N71E	55	-84.8	45.0	30.8	-707.7							
770.00	N71E	55	-83.5	48.5	35.8	-767.4							
890.00	N72E	56	-83.3	56.3	47.2	-886.6							
1010.00	N71E	55	-84.0	63.9	58.1	-1005.8							
1070.00	N72E	56	-84.0	67.4	63.3	-1065.5							
1370.00	N70E	54	-82.5	87.6	92.2	-1363.4							
1490.00	N72E	56	-82.0	96.9	105.4	-1482.3							
1610.00	N72E	56	-82.0	106.3	119.3	-1601.2							
1670.00	N71E	55	-81.5	111.1	126.4	-1660.5							
1790.00	N72E	56	-79.8	122.2	142.4	-1778.9							
1850.00	N70E	54	-78.0	128.8	151.9	-1837.8							
2330.00	N72E	56	-73.0	197.7	250.3	-2302.5							
2390.00	N73E	57	-71.0	208.0	265.8	-2359.6							
2450.00	N74E	58	-71.5	218.3	282.1	-2416.4							
2690.00	N73E	57	-70.5	260.3	348.0	-2643.3							
2750.00	N74E	58	-70.5	271.1	364.9	-2699.9							
2810.00	N74E	58	-70.0	281.8	382.1	-2756.4							

ANALYSE DES CAROTTES DE FORAGE: SULFURES

Unité	N° Echantillon	De <i>PIEDS</i>	à <i>PIEDS</i>	Longueur <i>PIEDS</i>	Estimée		ANALYSES							MOYENNE PONDERÉE						
					Cu	Zn	% Cu	% Zn	Ag ppm	Au ppb	% Fe	Galn	De	à	Longueur	% Cu	% Zn	Ag ppm	Au ppm	% Fe
												Checks								
	5462	2459.2	2462.7	3.5						7										
	63	2462.7	2467.0	4.3						7										
	64	2485.2	2487.0	1.8						5										
	65	2500.0	2501.2	1.2						12										
	66	2583.0	2587.0	4.0						9										
	67	2587.8	2591.0	3.2						114		83,145								
	68	2608.3	2610.2	1.9						9										
	69	2744.0	2745.5	1.5						16										
	70	2786.3	2789.5	3.2						9										
	5471	2850.3	2851.8	1.5						9										



Journal de Sondage MAZARIN EXPLORATION

Coordonnées

Forage no. W-87-13 Latitude: Départ: Elévation: Pendage: 77° Azimut: 360° Profondeur: 2399'

Localisation théorique:
sur digue E-W L 63+90 W
à lac Osisko S 9+50 N
60' à l'est de
la limite ouest de la propriété
Projet de la Province

Commencé le: 7 juin 87
Terminé le: 26 juin 87

Déclinaison -13°
Magnétique

Diamètre de
la carotte B. Q

BUT DU TROU

Veine Wilco
+
Veine DeKa

Canton	Blot	Rang	Claim	Grillage	S.N.R.C.
Wilco	Qc.	Rouyn	32	VIII N	C.M.265
					32 D/7-0101

Test à l'acide

Test au Tropari

Profondeur	Pendage	Profondeur	Pendage	Profondeur	Pendage	Profondeur	Pendage	Azm. Astronomique
150'	77°	1100'	75°	1897'	72°	1362'	75°	26°
300'	77°	1200'	75°	2000'	70°	2300'	65°	48°
450'	76°	1300'	75°	2100'	70°			
600'	76°	1400'	75°	2200'	69°			
700'	76°	1500'	75°	2300'	68°			
800'	76°	1600'	75°					
900'	76°	1700'	73°					
1000'	76°	1800'	73°					

+
Phototest (voir en annexe)

Profondeur
des coins: _____

Profondeur	Roche	Granulométrie et Couleur	Structure Secondaire	Texture et Structure	Altération	Minéralisation	Remarque
0-17	Recouvrement						
17-2399	V6	aph-phan vert, loc gns	Vs qj loc π loc rouillees	\odot , loc \odot , loc $\odot \Delta \Delta$ (ca), loc mag, loc 2D?	loc η , loc ϵ chl sur plans de fract.	py 1%, cp tr. py en aggrégats. gén. ass. aux Vjg	dur (sauf η)
17-58.5							
35.1-43.3			Vs qj 60°-70° A.C. 1/1"				
36.0-36.5		gris		Δ , $\#$, inj loc plissées de qtz laitoux + j, Mt automorphe	σ ?	py diss < 1%, loc en globules allongées cp. π : py diss 2%	
34-86			Vq 45° A.C.	Fract	Nombreux pass. ϵ σ		
43.3-44.0				carotte en blocs, rouillee			
44-48.0		vert		Δ , faille 30°-45° A.C. déplacement $\leq 2'$	less ? σ ?	py tr, cp tr.	
48-48.7		beige				py diss $\approx 2\%$	
49.3-51.9		vert + gris		Δ , filets chloriteux, Vqj	loc η	py hétérogène nil-2%	
51.4-51.9			Vq 50° + 45° A.C.				

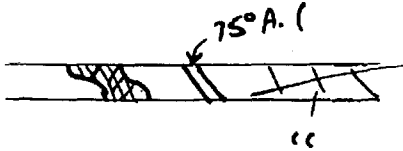
Profondeur	Roche	Granulométrie et Couleur	Structure Secondaire	Texture et Structure	Altération	Minéralisation	Remarque
57.0-58.5						py diss + en globules 3%	
58.5-123.3		vert-gris	moins de Uqj: 1/3"	Passages E + py ± Ujq 70°-30° A.C. petite faille ≈ NAC. déplacement 1cm			
64.0-64.4							
64.9-65.1							
65.5-65.8							
67.4-67.9							
69.8-70.1							
73.9-74.1							
76.0-76.7			Uj + hém				
78.2-79.2			Δ				py nil - 1%
81.3-82.2							
83-83.3							
84.5-84.6							
85.4-85.9							
88.5							
89.1-89.2							
89.8-89.9							
90.6-90.7							
91.1-91.2							
79.3			Uqj 1/2"				
82.0				fractures ∅ ≈ 15° A.C.			
115.1			Uq E, .5", 40° A.C.				
122-122.2			Uq E 45° A.C.				

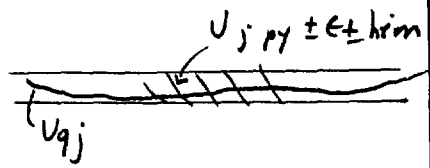
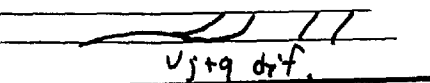
Profondeur	Roche	Granulométrie et Couleur	Structure Secondaire	Texture et Structure	Altération	Minéralisation	Remarque
123.3-152			$V_s j \frac{1}{2}''$ grn 45° A.C (0°-60°)		fortement η		
135.1-138.6		gris		aspect Fx taire (Δ) Fx 1-5cm			
135.1-135.4			$Vg R x py, 20^\circ A.C.$			py < 1%	
137.5				Fracture 15° A.C.		py 1%, cp < 1%	
141.5				petite faille, py + j, 10° A.C.			
146.5				j + py + mt sur plan de fracture			
148.2-149.2			$Vj q, \Delta$				
150.5-150.8			$Vj q R x$			py 2-3%	
161.7-162.5			4x $V_e + py, .05''$ rps 50°, 35°, 60°, 45° A.C.			py 1-20%	
170.3-177.4			Vg laiteux j py cp. chl au contact. Mox de Rx r'livés 75° A.C.	loc Δ		py < 1%, cp < 1%	(aspy?)
177.4-183.7				$\Delta + \underline{\Delta}$			
182.2-182.6						py interstitielle 10%	

Profondeur	Roche	Granulométrie et Couleur	Structure Secondaire	Texture et Structure	Altération	Minéralisation	Remarque
183.7-193.8			Fract j + e				
187-188.9				△		py 10% pou. 0.85'	
197.3-197.35			Vg j cp			cp 5%	
198.3-198.45			Vg j py diss.			py 2%	
199.6-203.2			inj Uj, Vg j py	△		py 2%	
203.2-203.6					hém sur plans de fract: 20° A.C.		
204.25-204.3			Uj e py mt, 80° A.C.			py 2%	
207.4-209.1			fract 10° A.C., hém.				
207.6 ↓				loc faiblement mag.			
220-226.6		phan.	Vg j 50°-65° A.C.				
237.6-238.8			Vg e py 50° A.C.				
240.9-241.0			"				
241.25-241.4			U e "				
285.4-285.5			Vj q py, 60° A.C.			py < 1%	
287.2			U e + py 40° A.C.				
292.7-301.6						py en cubes loc 1%	
295.2-296			3x Vj q py diss x . 1' épais.			py ≤ 1%	

Profondeur	Roche	Granulométrie et Couleur	Structure Secondaire	Texture et Structure	Altération	Minéralisation	Remarque
303-340				loc mag.			
316			hém. sur plans de fract.				
316-319.5				Δ			
321-				+ fract, + Uq			
321.95-322.1			Uq py Rx, 65° A.C.				
323.25-323.3			Uj mt q 30° A.C.			rip. TT py 2-3%	
323.5-325					n+		
340.6-341.4			UE q py j, 20° A.C.			py < 1%	
≈ 340 ≈ 399				Mag.			
365.5-367.9			UE q j (crose) py 20° A.C.			py < 1%	
374.1-3743			Uq + shear, 15° A.C.			py 1%	
384-392.5			+ de Uj (45° A.C)		n	py 10%	
386.8-387					n		
404.6-412.1							
405.3-407.5				zone Fxtr, siliceux, q+Rx+py pas d'orientation définie mais traversé par fract. // A.C.		py < 1%	

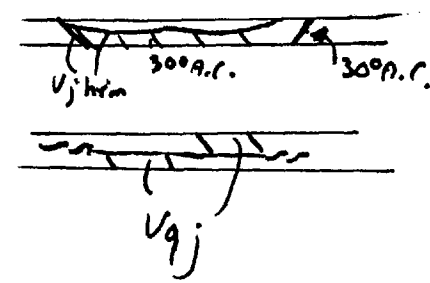
Profondeur	Roche	Granulométrie et Couleur	Structure Secondaire	Texture et Structure	Altération	Minéralisation	Remarque
408.1- 409.9 ---	Dyke α	aph, beige		Intrusif à matrice beige contenant des xtaux de q+py+petit minéral très vert (act, chl, v?) recouvert de qtz laiteux + j. Contact supérieur semble graduel. Contact inf. pas ds. la boîte, semble franc (plan de chl.)		éponte inf. TT pour 0.3' r/ 2%.	
435.6- 436.7			Vq ep E				
439.8-439.9			"				
440.7-440.76			"				
444.15- 444.20			"				
445.9-446.1			Vq j r/ 80° A.C	carotte en blocs	hém.		
449.4-450.4			Vq j lem				
453			Vq j				
453.6-453.7			Vq py.	faiblement mag.			
455.8- 456							
457-475							
484.5-489			Vj // A.C puis 12° A.C.				
502-503			Vj 12° puis // A.C.				
507-509							

Profondeur	Roche	Granulométrie et Couleur	Structure Secondaire	Texture et Structure	Altération	Minéralisation	Remarque
513.3-513.7			3x Vqj				
514-514.3			q Rx py		de 514.3: faibl. n	py 2-3%	
514.6-515.7			Vqj py // A.C.			py < 1%	
519.2-519.7			en j q orientation irrégulières + lueurs à 75° A.C.			Al < 1%	
519.7-520.5			mince fract j 10° A.C.				
523.6-547		grad + grenu	2 syst. de fract j 1/3-4" : 25° + 50° A.C.		plans de fract loc. hém.		
538-540			Fract // A.C.				
540.9-541			V e q py 30° A.C.			py 1%	
545.2-571					σ, + dur.		
550.3-552.2				Δ, Fx σ, contacts 25° ≈ 20°	σ e	py 1%	
553-554				Δ, matr e, mais de Fx et ceux-ci moins σ que Δ précédents		py en glob. 1%	
554.4-556.3						py en cubes 2%	
559.2-559.8						py en glob + cubes 1%	

Profondeur	Roche	Granulométrie et Couleur	Structure Secondaire	Texture et Structure	Altération	Minéralisation	Remarque
560.7				loc *		py diss tr - <1% ds. *	
567.65- 567.7			Uj < q py 55° A.C.			py < 1%	
575.6- 576.2			Uj q cp & py déformée mais contacts francs: 50°, 60°				
577-581			recoupe de Uj jaunâ. tre, 1/1, déformés, d'orientation variable.				
577.6- 618.4				Fortement mag.			
581.7- 582.4			Fract. remplis j + E + py, 1-2cm 65°-70° A.C.			py < 1% à 2%	
587-589			Fract E, py 10-15° A.C. (O?)		hém, E	py hém, loc 2%	
598-599			Fract hém 5° A.C.				
605.6-606				carotte en blocs.			
616.5-620.4			Uqj // AC traverser(?) Uj py, loc hém + E			py < 1%	
620.4- 691.8 -----		+ grenu + vert					
620.4- 621.7							

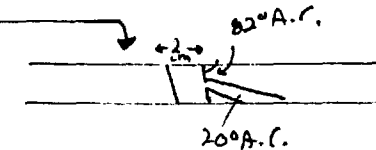
Profondeur	Roche	Granulométrie et Couleur	Structure Secondaire	Texture et Structure	Altération	Minéralisation	Remarque
622.8-627			fract j 15° à 90° A.C.	lattes de plaq, pas d'orientation préférentielle			
628.6-629.6						py diss ≤ 1%	
629.6-633				mag.			
645.1-646.4				mag			
647.1-651				mag.			
651-				faiblement mag.			
652-657			loc Vj ≈ 11 A.C. VE			py diss 1%	
678-681.5				Δ			
681.3-691.8				mag.			
691.8-764		aph à sr. moyen		une épaisse couche? augmentation graduelle de la taille des grains. Peu fracturé, 2D?			
696.6			fract 11 A.C.				
746			Vq ≈ 0.1' irrég.				
747.2			Vq 0.1' 60° A.C.				
755.5-755.7			VE + py 40° A.C.			py 1%	
764-		grad - grenu			chl ± hrim sur plans de fract		

Profondeur	Roche	Granulométrie et Couleur	Structure Secondaire	Texture et Structure	Altération	Minéralisation	Remarque
768.4			Vg rouillée, lem ep. II				
769.3-779.9				Mag.			
784.2-785				alterr', Δ, ≈ 30° A.C.	E hrm		
787-788			Vg	alt, Δ, 35° A.C.	lessur'		
790.2-790.9				⊙			
790.9-792				Mag			
792-794			fract remplissage j+q, 30°+70° A.C.				
794-796			Vg 45° A.C.				
807-807.5			Vj hrm	zone alterrie	←		
811.7				carotte en blocs			
818.8-818.9			Vj rose q, 65° A.C.				
818.8-819.2				feuille 12° A.C., déplacement .2', remplissage qj ds l'axe de la feuille			
819.2-822.5			Vj+q hrm // A.C. Δ. Fract ≈ 15° A.C.	zone de Δ, direction variable			
827.2-827.5			Vj 50° A.C.				
de 827.5		+ gris					
828.3-829			Vqj 15° A.C.				



Profondeur	Roche	Granulométrie et Couleur	Structure Secondaire	Texture et Structure	Altération	Minéralisation	Remarque
837-893		gr + fin					
842.6-843			Vs j thém + py, 1/2 cm			py < 1%	
844.6-856			Δ, contacts ≈ 30° A.C. loc Δ				
à 850 et 852.2			fract. hém. ≈ 15° A.C.				
857.8-873		gr. fin, gris		magnétique			
873.7-874.4			Vg Rx py cp mt contact + orientation Rx + orientation py cp ≈ 45° A.C.			py 5% cp. 5%	sulfures interstitiels
874.9-894				Magnétique			
894 - 923				Magnétisme intermittent.			
881-881.8				Δ, Δ			
886.9-887.0			Vg py < 1% 65° A.C.				
893.6-917.6			vermines; parfois déformées 1/3", loc avec xtaux mt, 90°-55°, loc 35° shear.				
900.3-900.7			Vj ox, 20° A.C.				
925.4-926			Vg tj ox, 05', 80° A.C.				
233.2			Vj q py < 1%,				
460-460.1							
472.6- 1060.9				Mag.			
472.6- 974				carotte en gravier			
478.3.			Vg 70° A.C. 1 cm				

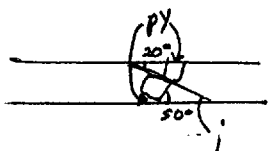
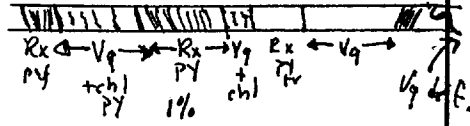
Profondeur	Roche	Granulométrie et Couleur	Structure Secondaire	Texture et Structure	Altération	Minéralisation	Remarque
990 - 1024				Micro-pheno de plag.			
993.8-993.9			Passage ϵ 80° A.C.				
1002.9			Vq chl py j, 80° A.C.				
1005.7-1007				carotte en gravier			
1019.1				boue de faille 0.2'			
1052.6-1110		+grau +vert	veinules; 80°-30° A.C.	+mou	n	py 5%	
1059.3-1060.5			6x Vj + py, 2-lm				
1060.9-1084				Pas mag			
1070				faille			
1083.4-1084			Vj py chl, 1°, 20° A.C.	mag.		py < 1%	
1091-1093			Vj Rx, 1cm, 15° A.C.				
1093.4			Vq py, 1cm, 55° A.C.			py 1%	
1106			Vq j cp tr, 1", 30° A.C.			épointes II	
1110-1128.8	V9 B ou V6 #	vert moyen		grad + II, xtaux mt.			
1112-1112.2			Vs q chl, 50° A.C.				
1113.5-1115		vert pâle	inj. q + j.		lessivé		
1125-1126.6			Vq blanc + gris py cp, \approx 80° A.C.			py tr, cp tr. épointe sup: py 1%, 2' inf < 1%.	

Profondeur	Roche	Granulométrie et Couleur	Structure Secondaire	Texture et Structure	Altération	Minéralisation	Remarque
1136.3-1136.6				Δ , Fx Rx, matrice j.			
1135 et 1138				Plans de fract. hématisés.			
1153.3			Vj rouille q, 20° A.C.				
1158.3			"				
1160.1			"				
1166.6			" , <1cm, 70° A.C.				
1178.9-1180.7		Gr fin, fonce		contacts francs $\approx 30^\circ$, plissés, et 35° A.C.		py < 1%	
1195.2-1213		aph - fin gne fonce		magnétique			
1201.7-1204		grenu.		carotte en blocs			
1204.6-1205							
1205-1206.8							
1213-1249.2		vert gr. moyen (+grenu)	loc Vj rouilles + mt	loc mag		py < 1%	
1232.7			Vq py < 1%, .05', 55°			"	
1233.4			"				
1233.2			Vj q 25° A.C.				
1234-1239.2			Vsj rouilles + mt 20° - 40° A.C. $\approx 1/0.5'$				
1240				grad. mag.			

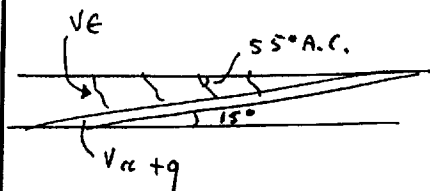
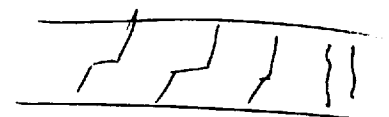
Profondeur	Roche	Granulométrie et Couleur	Structure Secondaire	Texture et Structure	Altération	Minéralisation	Remarque
1249.2 - 1293.2		vert, anh.	Us q py < 170. Vj 55°, 10° A.C. + ds matrice de Δ	Φ, Δ mtr Φ, loc Δ, mag. Φ ≈ 1'	loc. lessivé	py tr, ep tr ds Φ py ≤ 170 ds Δ	py en rubes loc ≤ 2cm.
1267-1267.1			Vqj rouillee py (< 2mm)				
1293.2 - 1564.8		vert, aph-phar.	minces veinules j	Φ, mag.		py tr.	
1293.7-1298			Vq py j, 60° A.C			py < 170	
1298-1298.1			Vj q, 25°-40° A.C.	zone Δ		py 170.	
1312.6-1315			Us q rouillies, 1/2"				
1327-1332			loc déformées, 45°-60° A.C				
1337.6			Vqj py, 80° A.C				
1340			"				
1342			"				
1342.7			70° A.C.				
1342.9			"				
1345.3			30° A.C				
1347			55° A.C.				
1347.5			"				
1350			65° A.C				
1357.7- 1357.8			Vqj rouillie, py diss ds épontes 55° A.C.				
1358.15- 1358.20			Vj rouillie irrégulière				

Profondeur	Roche	Granulométrie et Couleur	Structure Secondaire	Texture et Structure	Altération	Minéralisation	Remarque
1366-1410.5 1377-1438	2 D?	grad. + grenu jusqu'à grain grossier		Mag. faible et hétérogène			
1410.5-1443.7				mag.			
1411.9-1438		+grenu		zone altérée	q e j		
1417-1418.5 1425.9-1426 1433.2-1434			Uj q py inj qj rrrs.				
1486-1507 1492		gr. fin	mines veinées j.		Mag.		
1507-1508 1508			zone e, fract. fract irrég. 1/1'				
1513-1516 1517-1529		gris pâle	fracture		triser #, du à η? 45° A. (ou fract. de refroidissement)		
1529-1532 1532		vert pâle à moyen	Poss. e, Uqj		Δ, Δ, fract de refroidissement		
1543-1545		grisâtre				n	
1543.2-1543.7				Uqj Mt p-1			py < 1%

changement graduel?
cavette graisseuse

Profondeur	Roche	Granulométrie et Couleur	Structure Secondaire	Texture et Structure	Altération	Minéralisation	Remarque
1564.8 - - 1708.4	V6	Gris-vert aph.-phan.		●, magnétique, graduellement plus grenu, micro-phénos de plag.	passages E, contacts francs. .1' - .5' épais. 30°-65° A.C., loc py ≈ 1/1' (Vcc loc. variable) ↳ jusqu'à 1765	py tv - <1% sur tout ds plans de fract + zones E	staux plus fracturés?
1590-				plus grenu: phénocristique			
1679.35 - 1679.4				Vq cc chl 78° A.C.			
1703.4-1703.95				Vpy massive, recoupée d'une veine carbonate qui cause un déplace- ment ≈ 1cm			
1705-1726					~		
1707-1708.4				Passages: 3 x Vq py chl + Rx ≠, λ?, py // S.			
1708.4-1716.1	V6	vert, aph. gris-vert		recoupé par Vcc 30°-80° A.C.	●, mag.		
1716.1-1728 1717.8-1718.3	V6	vert à gris gris foncé		altère Δ et tt, inj cc tq, directions variables	~	Mt en staux.	!
1718.5-1719.5				Vq + Rx λ + chl + py <1% 65° A.C.	échantes blanches		
1719.7-1720.7				Vq ≈ 11 A.C.		échantes py 2%	

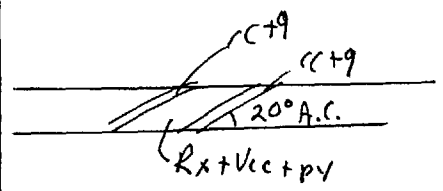
Profondeur	Roche	Granulométrie et Couleur	Structure Secondaire	Texture et Structure	Altération	Minéralisation	Remarque	
1722.5- 1723.8	V6	gris, aph- phan.	Vg py cp chl		ripantes lessivées py 1%, contient Uq Δ			
1728-18283 -----			- loc Vg ± E le quartz est grisâtre et un peu transparent	massif et ⊙, avec les bordures de ⊙ et les coulées Δ (Δ) (Δ) remplies ou remplacées de Uq + E + cc + py ; mag.	- zones F ds V6 ⊙ - zones lessivées près des Uq - présence de fractures hématisées - loc alt Mt (bordures ⊙ + Fx)		micro- loc fract sou E ripantes blanches.	
1731.6- 1732.4			Vg, ripantes E.				py tr	
1734.2- 1734.8					Δ			
1735.4- 1736			veinules j + E ± py					
1746.3- 1746.6					Δ ⊙ (Δ?)			
1747.3-1748					"			
1749.2-1750								
1750-1752.4							bord. ⊙ E + q + cc py	
1754.3- 1754.4					Vg 55° A.C.			



Profondeur	Roche	Granulométrie et Couleur	Structure Secondaire	Texture et Structure	Altération	Minéralisation	Remarque
1754.7-1755.15 et 1755.5 à 1756.35			q + E + py + cc (inter- \emptyset)			py 2-5%	mange' par l'eau (dissolution des carb?)
1757-1757.2			"				
1761.2-1761.4			q + cc, échantons E				
1764.1- 1764.3			Vq cc rose py échantons alt (d?)				
1764.7			carotte en petits morceaux				
1767.5 -1766.6			Vq py, fract. hém 35° A.C.				
1769.2- 1769.65			Δ py 2-3%				
1770- 1770.1			Vq 55° A.C.				
1771.3			E, q, py 3-4%				
1780.4- 1780.5			Vq, échantons py 1%				
1783.4- 1784.9			50° A.C. q, cc rouillée, py, E, $\approx 30-40^\circ$	chl filamenteuse noire		py 1%	
1792- 1793.6				zone E avec q + chl + py + cp inter \emptyset de 1791.5-1791.6 et de 1791.8-1792.2		py cp < 1%	
1793-1794			+ Vq cc rouillée cp lam 20° A.C.	ibid			

Profondeur	Roche	Granulométrie et Couleur	Structure Secondaire	Texture et Structure	Altération	Minéralisation	Remarque
1794.7-1795.1			ibid.				
1798-1807.9				Δ inter $\Phi \approx // A.C.$ + bordures $\Phi \Delta$	bordures de Φ noires \rightarrow Mt, fract. loc. héim.		loc micro-fractures avec épaves blanches $\epsilon? \sigma?$ loc *
1801.3-1802.5							
1803.							
1805.3-1840.9		très fine - noir.	inj. q (inter Φ) $\approx // A.C.$ Vcc q py, km, 15° A.C.			py < 1% q tr.	Boîtes 94+95: Problème de mesurage
1805.3-1807.9				matériau inter- Φ ϵ , py, héim, mangé par l'eau (dissol. des j)			
1811.3-1811.7				Δ py inter Φ , ϵ q héim			
1812.7-1813				ibid		py 1-2% en cubes	
1814.1-1815							
1816-1816.15				vq inter $\Phi \approx // A.C.$, chl, py 1%			
1817-1822				ibid. 45° A.C.			
1821.2-1821.4			Vcc rouille, py $\leq 1\%$ loc ϵ				
1827-1827.35			Vcc rouille, sp. it) dir variable	inter Φ q, py 2%, rouille chl + Rx.			
1828.3-1931	V6	phaner gris-vert	Fracture, Vcc q loc ϵ , loc rouille	couilles ou Φ + gros + moins fréquents, mag	passages ϵ		

Profondeur	Roche	Granulométrie et Couleur	Structure Secondaire	Texture et Structure	Altération	Minéralisation	Remarque
1841-1845.7		+ pâle vert pâle			passages E		
1842.9-1844			q + Rx E, cp + py, cc Δ			py cp < 1%	
1858 1858.8			Vq + py + cp 1cm 2cm	-dr fume 35° A.C.			
1859-1859.15			" py 10%	≈ 40° A.C.			
1859.6			" .5cm	≈ 17° A.C.			
1860.5			" 1cm	65° A.C.			
1861-1861.15			Vq, Rx E, py tcp (inter-0)	< 1%			
1872-1880			VE, py 1-3%, cc rouille directions variables ≈ 1/.5'				
1877.1-1877.8			Δ, Rx V6arrondés matrice E, py, ccrouille				
1885			V cc q Rx, l'épais.				
1892.4-1893.4			q + Rx + chl + E + py + cp.			py cp < 1%	
1897-1908.9			Vcc 1/.2'	45°-85° A.C.			

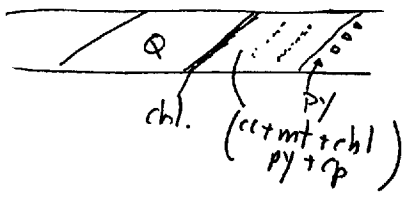


Profondeur	Roche	Granulométrie et Couleur	Structure Secondaire	Texture et Structure	Altération	Minéralisation	Remarque
1904- 1904.5			Vcc + py + chl				
1912.7 - 1913			V q, R x, cc veinilles py cp 40% 40° A.C.				
1917-1927				très frais, pas altéré, ●			
1920-1921			Vcc + py 2% + E		lessivé		
1927.3 - 1928.7				gran très fin.			
1928.7 - 1931				Δ, fract cc E, base de rouille?			
1929.9 - 1931							
1931-1942.6 -----	V6	gris et vert pâle	Vcc veinilles	Δ, Δ, Fx Δ, matrice φ Fx V6, mag	zones de silicification (± E) variable	py 10%	
1934.1 - 1936						py 2-3%	
1942.6 - 1950.6 -----	V6				- σ + E irrégulièrement fractures j + σ + E, pointes altérées - fronts d'altération - alt. graduelle: *? zones complètement alt * - coalesc.?		
1947.4 - 1949.8				Δ, Fx V6 loc noirs (Mt) Matrice E		py 10%	

Profondeur	Roche	Granulométrie et Couleur	Structure Secondaire	Texture et Structure	Altération	Minéralisation	Remarque
1950.6 - 1976.8	V6	aph- gns foncé		généralement \odot mag recoupe' de zones fracturées \in , j, q, py \leq 1%, cp tr.	V j- \in loc. rouillies	py tr- 1%	
1955.6 - 1956.1					zone σ - \in	py 1-2%	
1957 - 1958.7				Δ ?	zone rouillie, n contact irrégulier \approx 20° A.C.	py \leq 1%	
1959 - 1967.6				$\odot \rightarrow \in, r, \text{loc cp.}$			
1976.8 - 2006.4	V6	aph-phanér. gns à gris-vert	veinules cc 1/1'	\odot loc grenu, mag.	pas altéré loc \in		
1986.3 1987.			$\in + py + cc + q$ (inter-rouillé ?)				
1988.4 1995.6		phanér. + grenu + vert		micro lattes - plaq (+ cc ?)		py 3%	
\approx 1997 1999.2 - 1999.4			$\in + chl + py + cc$		\emptyset ?		
2003 - 2003.2			$\in + q + py$				
2004.8 - 2004.9			Vpy + q			py 50%	

Profondeur	Roche	Granulométrie et Couleur	Structure Secondaire	Texture et Structure	Altération	Minéralisation	Remarque
2006.4- 2020.6	V6	gris aph.		nombres passages ϵ + q clair + cc + py + ep. (inter ϕ ?) , mag.	loc η loc ϕ		
2020.6- 2027	Δ			Δ , Fx α ^{et} du V6 σ et V6 σ matrice Δ	Fx irrégulièrement σ (ϵ ?)		
2027- 2122.6	V6	aph-phan gris à gris-vert		ϕ , loc veroups de passages ϵ + q (Δ ?). Magnétique.		py en rubes tr < 1%	
2032.6- 2034			Vcc $\&$ variable 2/10				
2034.7- 2035.6			Δ , matrice ϵ				
2036-2038			ϵ , q (Δ ?)				
2041.2- 2042.5			Vq clair, chl \approx 1/A.C.				
2044- 2046			V ϵ , cc, chl. 12° A.C.				
2046.1- 2047.7						py \leq 2% ds vcc, 30°-40° A.C.] (évidence de \neq ?)
2049'							
2053.1- 2055.6			V chl + cc 20 A.C. .05' épous.			py 10% ds. veinules	
			Vcc + py \approx 35° A.C.	1/5'			

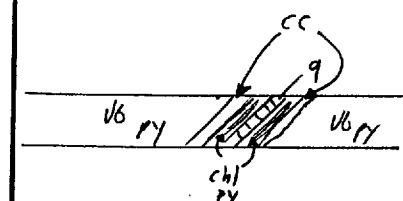
Profondeur	Roche	Granulométrie et Couleur	Structure Secondaire	Texture et Structure	Altération	Minéralisation	Remarque
2057.4- 2057.6			E + cc + py 5%				Entre ces zones: Pas altéré, ●
2061- 2061.8			"				
2063.5- 2064			" ≈ H.A.C.				
2065.9- 2066.3			"				
2071.6- 2072.3			"				
2072.3- 2076.5		grenu .					
2076.5- 2078.9				≠, Vcc ≠ augmente vers Vg, presque faille. carotte en blocs.	∅		
2078.9- 2079.7			Vg chl pytrapt.				
2079.7- 2080.3				≠, carotte en blocs.			
2080.3 2081.2			zone fortement E, r, chl, py < 1%				
2090- 2091			zone E, cc, py 1%				
2122.6- 2141.5 -----				zones Δ: E _g chlcc py, Fx avec bordures E: inter Δ? Fract E avec épontes altérées		py < 1%, cp tr (loc < 1%)	

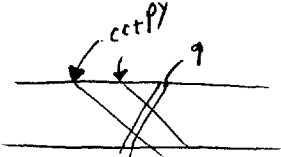
Profondeur	Roche	Granulométrie et Couleur	Structure Secondaire	Texture et Structure	Altération	Minéralisation	Remarque
2029.3- 2029.6			Uq + cc + chl, py cp < 1% 35° A.C.			py cp < 1%	
2141.5- 2152	V6	gns aph.	petites vermines cc loc E	●, mag. légèrement fracturée			
2152- 2218	V6-2D?	gns à vert phanocristique à grenu. loc aph.		●, mag, passages E py	E		au centre lattes de plaq bien cristallisées
2163.4- 2164			passage E, py < 1% fract héim. ≈ 35° A.C.				
2164- 2167.5		grain fin.				py 2% diss en cubes + ds. fract.	
2164.9			peht ≠, chl pâle, py 50° A.C.				
2167.9- 2168.3			E + py + q				
2172.4			Vq blanc, éponges py 2% 65° A.C., .15'				
2173- 2174.2			mj. cc, q, chl.	≠			

Profondeur	Roche	Granulométrie et Couleur	Structure Secondaire	Texture et Structure	Altération	Minéralisation	Remarque
2182.2			Vg < 1cm échant py 20° A.C. 2%				
218 .1- 2186.2			Vg, chl + cc aux échant + py, 70° A.C.			py < 1%	
2187.4			minces fract py, hém. échantes f				
2199.35- 2199.55			Vg, chl, E, cc, py. 75° + 55° A.C.			py < 1%	
2200.7- 2200.8			Vg py avec bande Vb py au centre // au contact 70° A.C.				
2201.45- 2201.6			Vg cc chl, 50° A.C. échantes: py 1%				
2210.7- 2210.8			Vcc q chl py 70° A.C. " rose				
2210.8- 2212							
2212 - 2214.6		vert pâle			E	py 2%	
2214.6- 2218		gris, phan.		gr plus fin, bordure de l'unité (coulée au intr.)			

Profondeur	Roche	Granulométrie et Couleur	Structure Secondaire	Texture et Structure	Altération	Minéralisation	Remarque
2218- 2399		gris foncé aph - phané.	fractur' (E) jusqu'à 2225	contact: ? 20° A.C. ≠. Mag. loc ○, ●	plans de fract ∅		
à 2218				○, Fx σ, py <1%, chl. (1')			
2227- 2228.4							
2228.4- 2228.8			E + q + py 2% + cf. chl.			py 1%	
2233.7- 2233.9			Ug E, éponges E py 1% 20° A.C.				
2236.5			Q, chl, éponges E				
2238.3- 2239.6			loc passages E				
2243.1 -2243.2			py + E 50° A.C.				
2244.2			Yq + py loc 55° A.C.				
2253.8- 2255.1				passage ≠ inj q.c., chl, py 1%. 50° à 80° A.C.			
2270.7- 2270.8			Vg cc éponges py tr. 60° A.C.				
2272.8- 2273.3			E q py <10%				

Profondeur	Roche	Granulométrie et Couleur	Structure Secondaire	Texture et Structure	Altération	Minéralisation	Remarque
2277.8 - 2278			passage ^{gris} q, c, chl, py 4% 20° A.C.				
2291.5 - 2291.9			Vg cc py ep tr. éponges tessitres 25° A.C.				
2301.4 - 2301.5			Ve q py 45° A.C.				
2313.2			Vcc q, chl py 25° A.C. éponges py				
2314-2319				nombreux passages altérés, fracturés Vcc + q + chl py avec éponges pyritisées et souvent altérées		py ≤ 1% loc 2%	
2314-2317			mince fract pyritisée 11° A.C.				
2314.7			veinule py 50%				
2316.1			veinule q clair cc, .5cm 65° A.C. éponges T, e				
2318.6			Vq, chl, cc, py éponges T, 50° A.C.				
2319-2321			Nombreuses Vcc, loc T 25°-40° A.C.				
2321.4-			Vg chl cc loc, éponges T, 50° A.C.				



Profondeur	Roche	Granulométrie et Couleur	Structure Secondaire	Texture et Structure	Altération	Minéralisation	Remarque
2322.2 2323				⊙ ou * avec cœur de chlorite.			
2324.3 -2360.8		vert pâle		loc. mt. drss.	lessivé		
2324.3 - 2325				≠, filets chl verte + py, fract e veinules cc.			
2326			Vq tcc, échantillon TT .5cm, 50°A.C.				
2330.6			Vq cc py, échantillon alt. lame, 40°A.C.		∅		
2332.1			Vq clair lame 60°A.C. recoupi par Vcc py 50°A.C.				
2339.3 - 2339.9				zone de shear. V6 lig. lessivée recoupiées par Vcc. 5cm lig. boudinées et déformées et filets chl. Vcc 45°A.C. carotte en fragments // Vcc.			
2342.8			Vpy 15°A.C. .5cm				
2343.4			cavité cc chl. py rub. inter ∅ ? accouplé.				
2344.3			veinules cc, ép. less				

Profondeur	Roche	Granulométrie et Couleur	Structure Secondaire	Texture et Structure	Altération	Minéralisation	Remarque
2345 - 2347			Us cc - py-chl			py dis 1%.	
2347. 2348.4				Δ + Vg, Fx V6 avec fract σ , py < 1% Maturité V6 + g rcc	~		
2348.4 2350				Δ , les fract, loc globules dr py.			
2350 - 2355.6				Δ , (Δ) Fx V6 $\pm \phi$, \pm noirs (mt). ds. maturité V6 gr. fin. Fx angulaires & sub ang, toutes taillles.		py loc < 1%.	
2355.4			Vg . 1' (chl, cc) épointés π			py 1% diss.	
2355.6 2360.65				loc grenu.			
2360.65. 2360.8							
de 2360.8 2360.8 - 2362.7.		Gris	Vg, épointés π 70° A.C.				
2365 - 2365.15			Vg cc chl, ép. alt 20° A.C.			py diss 1%.	
2366.2 - 2366.3							
2368.1			Vg cc 60° A.C.				
2368.2			Vg cc py 70° A.C.				
2368.8			" 60° A.C.				
			Vcc 55° A.C.				

Profondeur	Roche	Granulométrie et Couleur	Structure Secondaire	Texture et Structure	Altération	Minéralisation	Remarque
2396.4- 2397.2			Eg j. py diss.	léger \neq 35° A.C.		py diss 1%	
2397.9- 2399			Px V6 E	Δ		py fine diss 1-2%	
à 2399!	FIN DU	TROU					
Tubage	laisse en	place.					

PROJET : WILCO
TROU No. : W-87-13

DEVIATIONS

INSTRUMENT : Sperry Sun

PROF.	AZIMUTH			LATITUDE	LONGITUDE	ELEVATION	PROF.	AZIMUTH			LATITUDE	LONGITUDE	ELEVATION
	MAG.	GRID	PENDAGE					MAG.	GRID	PENDAGE			
110.00	N12E	359	-77.5	24.3	-0.2	-107.3							
230.00	N13E	0	-78.3	49.4	-0.4	-224.6							
290.00	N12E	359	-78.0	61.7	-0.5	-283.3							
350.00	N14E	1	-78.3	74.1	-0.5	-342.1							
470.00	N18E	5	-77.8	98.9	0.8	-459.5							
530.00	N21E	8	-78.0	111.4	2.2	-518.1							
650.00	N26E	13	-78.5	135.4	6.6	-635.6							
710.00	N27E	14	-78.0	147.3	9.5	-694.4							
950.00	N25E	12	-77.0	197.9	21.2	-928.7							
1010.00	N26E	13	-77.5	210.8	24.0	-987.2							
1070.00	N24E	11	-76.8	223.9	26.8	-1045.7							
1130.00	N25E	12	-77.0	237.2	29.5	-1104.1							
1190.00	N30E	17	-75.8	250.9	33.1	-1162.4							
1310.00	N32E	19	-75.8	278.9	42.2	-1278.8							
1430.00	N29E	16	-75.8	306.9	51.0	-1395.1							
1490.00	N32E	19	-77.0	320.4	55.3	-1453.4							
1550.00	N33E	20	-76.3	333.4	59.9	-1511.8							
1610.00	N38E	25	-75.0	347.2	65.6	-1569.9							
1670.00	N38E	25	-74.0	361.7	72.3	-1627.8							
1730.00	N38E	25	-74.3	376.6	79.3	-1685.5							
1790.00	N40E	27	-74.0	391.3	86.5	-1743.2							
1850.00	N39E	26	-73.0	406.5	94.1	-1800.7							
2030.00	N36E	23	-70.3	458.1	117.6	-1971.6							

ANALYSE DES CAROTTES DE FORAGE: SULFURES

Unité	N° Echantillon	De PIEDS	à PIEDS	Longueur PIEDS	ANALYSES								MOYENNE PONDERÉE							
					Estimée		% Cu	% Zn	Ag ppm	Au ppb	% Fe	Gold check	De	à	Longueur	% Cu	% Zn	Ag ppm	Au ppm	% Fe
	4904	314.5	319.8	4.3						N.D.										
	4533	319.8	322.7	2.9						60										
	4905	322.7	323.2	0.5						12	12/12									
	4906	323.2	327.5	4.3						12										
	4907	327.5	332.3	4.8						14										
	4908	332.3	337.2	4.9						N.D.										
	4909	337.2	339.5	2.3						N.D.										
	4534	339.5	342.0	2.5						44										
	4910	342.0	346.7	4.7						N.D.										
	4911	346.7	351.4	4.7						N.D.										
	4912	351.4	356.0	4.6						N.D.										
	4913	356.0	360.7	4.7						N.D.										
	4914	360.7	364.7	4.0						N.D.										
	4535	364.7	368.7	4.0						41										
	4915	368.7	373.0	4.3						9										
	4536	373	375.4	2.4						25	25/25									
	4916	375.4	380.0	4.6						8	9/7									
	4917	380.0	385.0	5.0						12										
	4537	385.2	388.0	2.8						189										
	4918	388.0	393.8	5.8						7										

ANALYSE DES CAROTTES DE FORAGE: SULFURES

Unité	N° Echantillon	De			Longueur	ANALYSES								MOYENNE PONDÉRÉE							
		PIEDS	PIEDS	PIEDS		Estimée		% Cu	% Zn	Ag ppm	Au ppb	% Fe	Gold check	De	ā	Longueur	% Cu	% Zn	Ag ppm	Au ppm	% Fe
						Cu	Zn														
	4553	581.9	585.4	3.5							23										
	4554	616.3	620.4	4.1							30										
	4555	620.4	622.3	1.9							25										
	4924	628.9	633.6	4.7							7										
	4925	738.4	743.2	4.8							16										
	4556	783.6	786.3	2.7							25										
	4557	786.3	788.7	2.4							25										
	4558	819.3	822.8	3.5							14										
	4559	827.0	830.4	3.4							25										
	4560	841.9	843.3	1.4							37										
	4926	860.6	866.0	5.4							N.D.										
	4927	866.0	871.0	5.0							5		N.D./9								
	4561	871.0	873.5	2.5							28										
	4562	873.5	873.8	0.3							76										
	4563	873.8	874.4	0.6							154										
	4564	874.4	875.4	1.0							41										
	4928	875.4	879.8	4.4							55										
	4929	879.8	883.6	3.8							9										
	4565	886.6	887.8	1.2							28										
	4930	887.8	893.5	5.7							14										

ANALYSE DES CAROTTES DE FORAGE: SULFURES

Unité	N° Echantillon	De PIEDS	à PIEDS	Longueur PIEDS	ANALYSES							MOYENNE PONDERÉE								
					Estimée		% Cu	% Zn	Ag ppm	Au ppb	% Fe	Gold check	De	à	Longueur	% Cu	% Zn	Ag ppm	Au ppm	% Fe
					Cu	Zn														
	4837	2328	2333	5						N.D.										
	4838	2333	2337.7	4.7						14										
	4839	2337.7	2339.3	1.6						N.D.										
	4840	2339.3	2339.9	0.6						36	35/37									
	4841	2339.9	2342.3	2.4						18										
	4842	2342.3	2344.7	2.4						9										
	4843	2344.7	2347.0	2.3						7										
	4844	2347.0	2348.8	1.8						12										
	4845	2348.0	2352.2	3.4						14										
	4846	2352.2	2355.6	3.4						14										
	4847	2355.6	2360.1	4.5						12										
	4848	2360.1	2360.6	0.5						23										
	4849	2360.6	2360.8	0.2						83										
	4850	2360.8	2362.7	1.9						21										
4951	4851	2362.7	2364.6	1.9						N.D.										
	4852	2364.6	2365.5	0.9						N.D.										
	4853	2365.5	2366.15	0.65						N.D.										
	4854	2366.15	2366.3	0.15						48										
	4855	2366.3	2368.0	1.7						N.D.										
	4856	2368.0	2368.2	0.2						9										

20/10

W87-13

ANALYSE DES CAROTTES DE FORAGE: SULFURES

Unité	N° Echantillon	De	à	Longueur	ANALYSES								MOYENNE PONDÉRÉE							
					Estimée		% Cu	% Zn	Ag ppm	Au ppb	% Fe	Gold check	De	à	Longueur	% Cu	% Zn	Ag ppm	Au ppm	% Fe
					Cu	Zn														
	4957	2368.2	2369.3	1.1						N.D.										
	4958	2369.3	2371.1	1.8						14										
	4959	2371.1	2372.2	1.1						21										
	4960	2372.2	2374.5	2.3						10	7/12									
	4961	2374.5	2378.7	4.2						12										
	4982	2378.7	2381.3	2.6						9										
	4963	2381.3	2383.6	2.3						14										
	4964	2383.6	2385.6	2.0						16										
	4965	2385.6	2387.2	1.6						55										
	4966	2387.2	2390.3	3.1						9										
	4967	2390.3	2393	2.7						N.D.										
	4968	2393	2395.2	2.2						N.D.										
	4969	2395.2	2397	1.8						12										
	4970	2397	2399	2.0						16										
	4971	1207.3	1211.3	4.0						12	14/9									
	4972	1211.3	1216.0	4.7						N.D.										



Journal de Sondage MAZARIN EXPLORATION

Coordonnées

Forage no. W-87-14 Latitude: Départ: Elévation: Pendage: 70° Azimut: 180° Profondeur: 3123'

Localisation L 4+50 W Commencé le: 19-06-87 Déclinaison -/3° Diamètre de B.Q.
S 4+10 S Terminé le: 17-07-87 Magnétique la carotte

Projet Province Canton Bloc Rang Claim Grillage S.N.R.C.
Wilco Qc. Rouyn. 151 C.M. 265

BUT DU TROU
zone de cisaillement (± alt)
(en profondeur) de la faille
Andante.

Test à l'acide


Test au Tropari

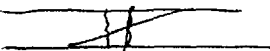
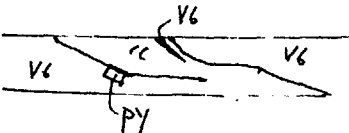
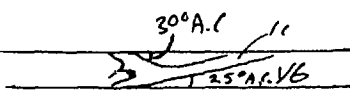
Profondeur	Pendage	Profondeur	Pendage
12'	72°	1600'	60.5°
100'	71°	1700'	58.5°
200'	69°	1800'	59°
300'	68°	1900'	59°
400'	68°	2000'	58°
500'	67°	2100'	56°
600'	65°	2200'	55°
700'	65°	2300'	55°
800'	64°	2400'	55°
900'	64°	2500'	55°
1000'	63°	2600'	54°
1100'	63°	2700'	54°
1200'	62°	2800'	50°
1300'	62°	2900'	45°
1400'	61°	3000'	44°
1500'	62°		

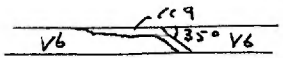
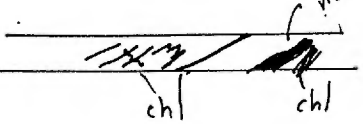
Profondeur	Pendage	Azm. Astronomique
3108'	44°	174°

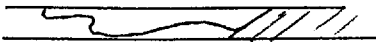
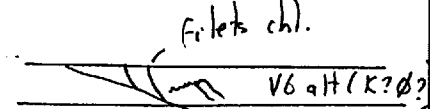
Profondeur des coins: _____

Profondeur	Roche	Granulométrie et Couleur	Structure Secondaire	Texture et Structure	Altération	Minéralisation	Remarque
0-12'	Recouvrement						
<u>12-1300</u>	V6	phan. à gross.	recoupi de veinules de cc ± q ± py	Généralement \bullet , loc \square de j variant de .1mm - 2mm loc. \neq , d'intensité variable. corrélation partielle entre Vcc et \neq Chloriteux. Petites taches blanc-crème: λ des f? Magnétisme variable, loc Δ	loc η , loc \square de j. loc. rouille' et lessivé'. loc. chlorite foncée ds. Plans de fractures	py tr. pas cc.	\square fn ou carbonates (réagit à HCl 30% mais pas super intenses) x-taux carrés et losanges
12-62.5				Magnétique			
12-40				pseudo- $\square \rightarrow j < 1mm$ léger \neq : 20° A.C.			
12-20 28.6 à 21.3			Vqcc < 1cm, 55° + 75° A.C. Vq, cc pour 0.1' épointes ϕ + carb. rouille. $\approx 20^\circ$ A.C.				
40-43 à 40				\bullet , pas \square j			
43-52 à 43.1			Vcc q, irrégulière épointes ϕ , les \neq Vqcc, chl, légèrement boudiné, épointes ϕ et \neq 25° A.C.	les. \square j			

Profondeur	Roche	Granulométrie et Couleur	Structure Secondaire	Texture et Structure	Altération	Minéralisation	Remarque
50.5-62.0					n		
52-62 à 52.5			Vg fcc chl ≠ f 0.15' ép. 25° A.C. contient zone Δ. plane de veines et épontes	●, pas □			
à 57.0			Vg fcc chl ≠ 2cm épais 30° A.C.				
à 59			carotte en blocs				
à 62			carotte en blocs				
62-69				□ j .5-2mm			
62.3							
62.5-76.7			q+cc - globule				
à 64.1				Pas magnétique			
62-69			Vg qchl 20° A.C. 1cm				
67.2 ≈ 162				□ carbonates			
67.2-69				Carbonates rouillés.	n oxide		

Profondeur	Roche	Granulométrie et Couleur	Structure Secondaire	Texture et Structure	Altération	Minéralisation	Remarque
67.6-69 69-			texture A, carotte	en blocs, ≠, angles variables léger ≠, graduellement plus défini.			↖ 73' : 25° A.C. ↖ 84' : ≈ 20° A.C.
76.7-79.4				légèrement magnétique			
79.4-82.3				Magnétique			
82.3-97.3				Pas Magnétique			
84-86 de 87 à 91			Vcc // au ≠ aussi Vcc ≈ ⊥ : 45° A.C. veinules cc + fréquents : 1/.5' Vcc lem 15° A.C. plan de fracture ≈ // A.C.				
97.3-106.9				de légèrement mag à mag.			↖ vers 106' : 25°-30° A.C.
108-110.4 à 111.2				□ - ▨			
111.7-139			Vcc, FxV6, pytr 1-2cm boudinée, 20° A.C.	mag.			
113.8							
114.3			Vqcc lem ≈ 90° A.C. Vcc				
120.6 + 120.9			Vcc + py 20° A.C.				

Profondeur	Roche	Granulométrie et Couleur	Structure Secondaire	Texture et Structure	Altération	Minéralisation	Remarque
134.7 - 136.1			Vg cc py tr. direction irrégulière, généralement \approx // A.C. contacts 20° A.C.				
141.4-145 145.8-146.3 à 148.1			Vcc, FxV6, rp tr. Vcc g cc rouge (hém?)				<p>145': 20° A.C.</p>  <p>148': 35° A.C.</p>
148. - 149.8			.2' g	carotte en blocs			
149.8				≠ plus défini			
152.2			Vcc g FxV6 1-2cm \approx 20° A.C.				
de 152.7 - 248.2	zone les alt+≠	vert pâle- beige	corrélation pos. entre (≠+K) et (Vccg)	<p>loc. lessivé plus dur que rocher non altéré, chlorite ds. plans de fracture, loc K ds. pl. de fract.</p> <p>veinules chl \approx // schistosité et loc \approx \perp</p> <p>loc \square, loc zones Δ</p>	<p>loc. zone altérée et relativement ≠</p> <p>zones lessivées (pâte) génér. dur., loc molles (filets de x-k) V6 - mou.</p> <p>loc η</p>	loc. veinules contenant w (dur) // S,	 <p>159': 35°-40° A.C.</p>
de \approx 162 -248.2 161-161.5			Vcc chl 1cm η g x3 10-15° A.C.				

Profondeur	Roche	Granulométrie et Couleur	Structure Secondaire	Texture et Structure	Altération	Minéralisation	Remarque
167.5-168			Filet cc q chl //A.C				
170.3			Vg cc div var, clm				↗ 168 30° A.C
173.7-174.1			Vg cc w (tr) py tr. ≈ //A.C. (recoupe S.)				
182.8-183.4				≠, φ, rouille, q, cc, K			
184-184.3							
187.8			Vg cc 15° A.C.				
188.8-189.1					berse, texture fixaire mj. q cc, w ou chl. dur		
189.7-190					ibid.	py tr.	w? dur sur carotte mais mou le long de la linéation (ds. plan de fract) chl noire?
190.8-192.8					ibid, loc fix dur déchoupes par chl pâte?		
207.7-217			nombreuses mj. q rect chl noire? direct. variables 35°, 20°, 30°, //A.C.		fix λ-K, φ ou 201v)		↗ 202' : 40° A.C

Profondeur	Roche	Granulométrie et Couleur	Structure Secondaire	Texture et Structure	Altération	Minéralisation	Remarque
217-219				Lentilles q clair, loc étirées // Si, amygdalites ?			110 ⁹
221.2-221.5			inj cc-g-chl-pytr 35° A.C.	éponges ≠			
222-223.5				Δ, rouille, mou, faille ?			
225.8-226.7				rouille			
231.2-232.3				rouille, cavité en blocs perls			
232.3-233.3				V6 λ-K, py < 1% veinules chlorite			
233.3-235				boue de faille, λ-K, perls			∠ 233' : 45°
244.3-244.4			inj. V+xtauxcc Matrice noire sp tr. 30° A.C.				
247.7-248.2			Vqcc, V6 ∅K, chl noire au w (dur). contact 55°				
248.2-310.5		gris vert aph-phan.			↑ Roche loc. alt + fissur	Gen. η	
248.2-273.9		gris qui avant altération.		□j 15% (*?)			
273.9-277				zone ≠	∅, λ-K		
275.3-276.2				Fixe Vqcc obs matr. V6 ∅ à 276.2 λ: boue ?			∠ 276.2 : 40° A.C. fx Vqcc

Profondeur	Roche	Granulométrie et Couleur	Structure Secondaire	Texture et Structure	Altération	Minéralisation	Remarque
278.00			1/9 chl, chl mine, ≠ 50° A.C.				
278.7			petit f, chl				
280.2- 318.5				léger f, recoupi par Vec Clm discordantes (1/5') et concordantes.	loc n, roche est molle, alt à minéraux micaires (du au f) chlorite, pâle? ± l? talc?		
281.4- 281.5			1/vec (f?) ≈ 80° A.C.				
288.5- 289.3			3 x Vec // et discord 1/6 lessive, f				✓ 290' : 40° A.C.
294 - 298			2 x Vec (1/2cm) discord 65° A.C.				
299.1			1 x Vec "				✓ 310' : 30° A.C.
301.4-302.4			Vec + Rx 30° A.C. concordante.				
306.6-307.5			Vec + q ≈ 11 A.C. Vec + q ≈ 11 A.C.				✓ 316' : 30° A.C.
310.6-312				zone de shear, inj cc + q, Rx altérée			
312.4			Vec discordante 1.5cm 55° A.C.				
313.5			"				
314.8 315.15				shear, f, inj cc (sq) + lam beaux Rx φ			

Profondeur	Roche	Granulométrie et Couleur	Structure Secondaire	Texture et Structure	Altération	Minéralisation	Remarque
316.1- 318.5	inj. c		inj. cc, q. Fx Rx lessivé - 30° A.C. loc. boudinée, et recoupe par Vg cc qui atteint la Rx.				
318.5- 364.2			loc ve // A.C. + 65° - 80° A.C.	Généralement \odot , recoupe de petites Vcc, loc \odot (parfois étirées) loc. petits bâtonnets noirs, parfois en veines amphibole? tourm? généralement dur sur surface de carotte, mais sur plan de fracture.	loc n	py tr.	
359.3- 359.7			inj. cc, q; Rx éponges \neq	petit minéral noir // \neq			340': 25° A.C. 360': \vee 25° A.C.
364.2- 417				zone de \neq (graduel et hétérogène), \odot \neq intense, cc, chl. 20° A.C. recoupe de Vcc \perp	ϕ , loc λ ?		Vcc discordantes d'autres concordantes, d'autres ont été transposées par \neq lentilles cc + q en lignes // S. ///
367.5- 369.3							
402-407				trois \neq , loc Δ loc carotte en morceaux zone de faille.			\vee 403': 20° A.C.
405.9-408.1			Vg cc chl, Rx ϕ loc texture pegmatitique				

Profondeur	Roche	Granulométrie et Couleur	Structure Secondaire	Texture et Structure	Altération	Minéralisation	Remarque
407-417					se raye à l'ongle mira (?) vert, loc irridescent (talc?)		✓ 412' : 15° A.C.
417-420			Vcc déformées	●, loc Δ			✓ 420' : 15° A.C.
420-492			recoupe Ver x60° A.C. 1/2', 1cm.	● ou légèrement ≠, ⊙			
441-492					+ dur		✓ 437' : 20° A.C.
452-460							
461.8				dir. d'elongation des ⊙ : 30° A.C.	passage blanchi, dur σ, 60° A.C. " 30° A.C.		
463.5-468		vert foncé			mou. ∅	py en cubes 1mm-1cm 1-5%	
468-471.2				Δ (Δ, puss. Δ)			
471.2-472.2							
479.4			passage E 2cm.		alt beige durr graduelle σ		
492-503							
492-496				Δ, loc Δ Fx V6 avec bordures beiges dures (σ?). Matrice qch!	serpentinisation?		elongation des Fx 25° A.C.

Profondeur	Roche	Granulométrie et Couleur	Structure Secondaire	Texture et Structure	Altération	Minéralisation	Remarque
496-503 à 503				△ pass △, contenant Fx V6 ≠ 45° A.C.			
503-517.1				●			
509.1-510.4				Magnétique			
517.1-527.7				Fracture: Fract E, loc ●			
517.1-517.7				≠, Vcc, E, py < 1%			
527.7-541				△, Fx de vitre fins, loc. cisaillés, loc Fx V6A ou Fx B ds △, loc mag., loc ≠	matr ∅, loc magnétique dans matrice		
541-544.8		vert foncé	Vcc	≠, magnétique	∅		
544.8-552.5		aph-phan		●, pas magnétique			
552.5-556.4				△ loc △, mag.			
556.4-648.7		aph-phan gris-vert loc. + grenu.		●, loc. recouvert par veinules cc. loc ○, généralement mag.	loc n	py tr.	léger ≠ ou tt delectr ds. phase + grenue 40° A.C.
564.2-564.3			Vcc chl + points ≠, ∅, 35° A.C.	≠, les △ jusqu'à 565.5			

Profondeur	Roche	Granulométrie et Couleur	Structure Secondaire	Texture et Structure	Altération	Minéralisation	Remarque
648.7- 665		vert		Δ loc Δ , \neq , magnétique	\emptyset		$\neq 40^\circ \text{A.C.}$
665-699 679.7- 680.8		aph-phane. vert	recoupr veinules cc $\pm E$ Vcc-E-chl noire	\bullet			chl noire ou crmph (assez dur).
680.8. ← 699? 713.5				bordures de Φ , Δ , Δ , loc \neq magnétique Fx ds brèche: gtz laitex (?) + E. forme des Fx: ocellés matrice: chl, carb, filets noirs durs.	loc ϕ , loc σ aussi passages noirs + durs. chl. noire ds. plans de fracture		$\neq 30^\circ \text{A.C.}$
713.5- 815.5 ----- 728.6		aph-phane vert	recoupr veinules cc Vcc chl .05-.1' ép. 30° A.C. épointes lessivées ou veine inter Φ ?	\bullet , poss. Φ , mag. hétérogène eau début			
729.2- 729.4				Δ			
745- 750-760					n		
				Petites \circ ovales orientées ds. léger \neq : 30° A.C.			

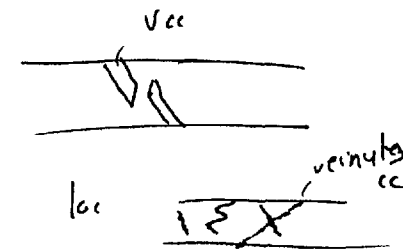
Profondeur	Roche	Granulométrie et Couleur	Structure Secondaire	Texture et Structure	Altération	Minéralisation	Remarque
770-793 789.7- 790.4				larger ≠			<p>cc qtz qtzcc ≈ 80° A.C. 20° A.C. φ ≠</p>
815.5- 824 -----	V6	vert foncé aph-phan	recoupe par Vcc blancs déformées, reorientées par et // ≠ Vloc. boudinées + tronquées. ○ étirés.	légèrement ≠, ○	φ ij		<p>↖ 25° A.C.</p>
à 821 822 824				carottes en blocs " " "			
à 824 :				contact avec unité mag avec carbonate et unité ○, sans j			
824-842.8 ----- 835.6- 836.4		vert + pâle aph-phan.	mj cc chl avec épaves φ et ≠ recoupe Vqcc discordante où l'orientation des xtaux q+cc sont // schistosité	○ gen., loc larg. ≠, Vcc			<p>cc qtz chl Vq+cc cc+chl ↖ 35° A.C.</p> <p>NOTE: 2 épisodes d'injection 1: cc à grain fin généralement orienter par Si 2: Vq+cc discordante S mais xtaux // S1: syn- schist.</p>

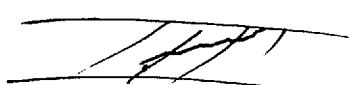
Profondeur	Roche	Granulométrie et Couleur	Structure Secondaire	Texture et Structure	Altération	Minéralisation	Remarque
840			Vcc, chl 15° A.C. 1cm.				
843.3 - 844.5				Δ, Fx V6 φ, matrice cc			
844.5 - 849.8		vert		Gen ○			
849.8 - 907 849.8 - 857		vert		les ≠ + ≠, loc Δ, loc texture acilétique due à l'échirement ○ q cc bordes de chlorite, ll au ≠			
851.5 - 851.7				mj cc, matériel noir py < 1% ≈ 50° A.C.			
857 - 882			Vcc ll au ≠	généralement très fin ≠			
864			Vcc 30° A.C. 1cm				
879.85 - 880			Vcc chl q py < 1% 4-5°				
882 - 906.4		grain + grossier		≠ un peu plus développé			
888.5			Vcc .1' 30° A.C.				
889.9			Vcc q ≈ 20° A.C. .05'				√ 898': 30° A.C.
902.7 - 903			Vcc ll schist py tr. 40° A.C.				

Profondeur	Roche	Granulométrie et Couleur	Structure Secondaire	Texture et Structure	Altération	Minéralisation	Remarque
906.4 - 910.2		vert + pâte gr. tr. fin.		≠ loc alt près des Vcc concordantes.			
907.7			Vcc .5cm disc. 40°				√ 908.5 : 35° A.C.
908.1			" xlcen conc. 35°				
909			" .5' conc 35°				
909.6			" .5cm disc. 55°				
910			" .5cm. conc. 35°				
910.2 - 947		vert foncé + grenu	Vs cc conc ccq disc.	lég. ≠			
914.1 - 914.8				loc grain fin ≠, Vcc boudonnées V < 1%			√ 917 : 35° A.C.
921							
924.1 - 925			Vcc chl py conc Vcc q disc.				
947 - 950.6				Δ, fx V6 angulaires allongés ≠ miniers bordures alt. vert pâte			
950.6 - 961.2		aph-phan		très lég ≠			√ 957 : 35° A.C.
961.2 - 961.5			Vcc q chl, w au chl noir				
962 - 962.6			inj cc, lam beaux V6 Ø 200A .C.				


Profondeur	Roche	Granulométrie et Couleur	Structure Secondaire	Texture et Structure	Altération	Minéralisation	Remarque
967.7 981-988.3 992-1036.4 1006.6-1007 1012.3-1014 1024-1024.5 1025.3-1028.9		+grenu	Vcc q discordante nombreuses inj cc, chl ± q loc py < 1% recoupi par Vcc conc et Vcc q disc.	≠ + évident.			✓ 1004 35° A.C.
1036.4-1038.2 1038.2-1040.2 1040.2-1051		phanér. aph-phanér gén. vert fonce	Vcc, lam beaux U6 Ø 30° A.C. recoupi de Vcc conc + py + Vcc q discordantes	≠ ≠, Vcc, U6 Fx, Ucc déformées Fx loc. alt. D, Fx U6 ≠ + oïtives ds matrice U6 Ø			✓ 1028.9' : 30° A.C.
1048.8 1066.4 1077.8 1083.1-1083.2			Vcc disc lam. 55° A.C. Vcc q " " 45° A.C. " " 55° A.C. Ug au centre + cc + chl. disc. 60° A.C.	≠ léger à prononcé, oïtives	η hétérogène. Ø	py tr (diss.)	ds Vcc q discordantes: croissance des Xtaux ± au mur de la veine. ✓ 1057' : 30° A.C. ✓ 1067 : 35° A.C. ✓ 1077 : 35° A.C.

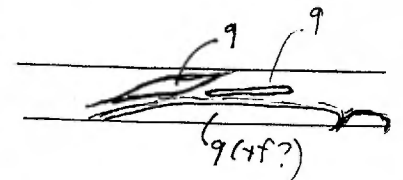
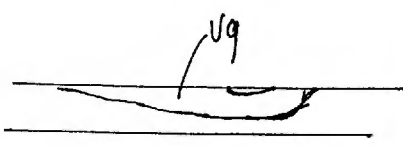
Profondeur	Roche	Granulométrie et Couleur	Structure Secondaire	Texture et Structure	Altération	Minéralisation	Remarque
1096.5- 1097.4		Gr. fin	Vcc ± boudinages conc.	U6 aqb.	∅		✓ 1087' : 40° A.C.
1107.5			Vcc ≈ conc + p/roq .05'			py + cp < 1%	✓ 1097' : 30° A.C. ✓ 1107 : 30° A.C.
1124.3			Vcc disc, 60° A.C.				✓ 1117 : 35° A.C.
1126.8- 1126.95			Vcc irréguliers, py tr ≈ conc 30° A.C.				✓ 1137 : 30° A.C.
1129.8- 1130.1			Vcc disc. Sem 50° A.C. Vcc conc + lambeaux V6 30° A.C.				
1130.4			Vcc q disc. 55° A.C.				
1142-11427			inj Vcc irrég + déformées (bc. boudinages) + lamb. V6, ≈ 25° A.C.				
1143.8- 1145.3			Vcc ≈ 11 A.C.				
1145.3- 1151				moins ≠	∅		✓ 1152 : 30° A.C.
1151- 1164.7		vert + gris grain fin		Δ, ≠, ○ ^{étrangés} (loc Δ?) Fx étrus et/ou bandes ≠ de couleurs contrastantes (vert pâle et foncé)	± ∅		





Profondeur	Roche	Granulométrie et Couleur	Structure Secondaire	Texture et Structure	Altération	Minéralisation	Remarque
1164.7-1179.1		aph-phan-cr vert foncé	recoupr' Vcc conc loc. déformées + disc.	≠	loc. alt.		veinules re en diagonals au ≠ : (transpos.).
1179.1-1186.7		aph-vert pâle	bandes très fines	lig ≠, loc ⊙			
1180.5			Vcc discr. .5cm. 55°A.C.				✓ 1160 : 35°A.C.
1186.7-		+ grenu vert + foncé		⊙, ≠ variable			✓ 1165 : 35°A.C.
1189.2			Vcc, chl, py tr 30°A.C. E tr, conc.				✓ 1175 : 35°A.C.
1196.6-1197			V irrégulière 30°A.C. cc + E + hm?		pointes ∅		✓ 1180 : 40°A.C.
1191			Vcc, chl, E, conc. 1', 20°A.C.				✓ 1201 : 40°A.C.
1203-1205			Vcc 1/1" 65°-80°A.C.				
1209.3-1209.4				Δ, Fx E, py			
1210			Vcc disc 1cm 60°A.C.				
1211.2			" + Vcc E conc 30°A.C.				
1218.2-1220.3				Δ, pass Δ, magnétique Fx angulaires allongés.	∅, E (loc).		

Profondeur	Roche	Granulométrie et Couleur	Structure Secondaire	Texture et Structure	Altération	Minéralisation	Remarque
1223 1225 1231.7- 1231.9 1235.3 1243.7			Vcc chl \approx 11 A.C. Vcc \in boudinage 350 A.C. .5cm Vcc discordante, ressemble à un "pipe vesicle"	Mt diss. carotte en blocs.			✓ 1218' : 35° A.C. ✓ 1236' : 40° A.C. ✓ 1255' : 45° A.C. ✓ 1259' : 40° A.C.
1252.6- 1259.3				zone de Δ à Fx U6 \in et matrice η aux bords et au centre une série de bandes à gr. fin vert pâle et foncé \neq (V?) ($\pm \phi$ ou lessive (pôle) foncé)			
1259.3- 1270				Peu \neq , loc. passages + pâtes (less?).			
1270- 1300 1300.15726			veinules de quartz irrégulières (discordantes)	Finement \neq , alternance de zones (bandes) vert foncé à vert pâle. ZONE \neq +, ALT +	$\pm \phi$ ou lessive		✓ 1277' : 40° A.C. loc \emptyset : yeux de qtz.
1300- 1335.9 ----- 1333	V6 i? ? ?	beige, aph-phan. trans.?	recoupe Vcc con C pyrv.	leg. \neq (de 1327, + \neq) ← gr. + fin)	l's. η alt: K. ? mica mau.	py tr. < 1%	✓ 1287' : 40° A.C. ✓ 1314' : 40° A.C. ✓ 1330 : 35° A.C.
				bandes + foncé texture leg Δ , \emptyset ? py 5%			

Profondeur	Roche	Granulométrie et Couleur	Structure Secondaire	Texture et Structure	Altération	Minéralisation	Remarque
1335.9- 1345	ZONE	gris-beige à beige pâle.		≠, apparence Fx loc, loc r loc K	loc K, r, dureté hétérogène.	py tr.	bandes K+r découpées la Rx en Fx? 
1340.9- 1341.5	ALT +		Vg discordante sur schistosité, contient cc+chl (mineur) contacts: 30° A.C + 90° A.C.				aspect relativement massif comparé aux autres unités de la zone ≠+alt. K, ≠ et plissement des bandes accroît avec la profondeur.
1345- 1361.5	CISAIL- LÉE	vert (olive) et jaune	ve	tt, ≠, bandes vertes (chl + K?) molles et bandes vert pâle + dures (α, σ, Fx?) découpées par bandes K jaune khaki + r (r1-5% ds bandes jaunes, ≤ 1% total).	lessivé + ≠ au contact	py tr.	bandes pâles + dures sont fracturées, mine remplissage de chlorite. graduellement + ≠ et + φ teintes lent. gtcc? o?
1361.5- 1368.4		vert olive à brun-vert gr. fin-moy		finement ≠, loc aspect Fx, (bandes α ou q découpées par chl), peu de bandes q recoupe par passages gris à de 1362.6 - 1363.8 gris-brun, ≠, K, 1365.6 - 1365.8			probablement identique à l'unité précédente sauf: - ≠ pas K ni r
1367.9- 1368.4			Vg cc chl, fu, py, Rx φ			py ≤ 1%	+ mica vert pâle fuchsite aussi ou musc?

Profondeur	Roche	Granulométrie et Couleur	Structure Secondaire	Texture et Structure	Altération	Minéralisation	Remarque
1368.4-1504.5	V1 (V65-V2)	gris-bleu à brun		I P Fx ≠, Fixative, Fx étirés bleu gris, durs (α?) ds pâte ≠, K brun, gris + noir loc. jaun	K		peut-être V2-V4 Δ ds matrice B?
1368.4-1417.5	V65-V4	bleu-gris pâte à foncer brun		Fx étirés et déformés, // à la schistosité : certains Fx en lentilles : pressure shadows : Fragmentaire schistosité variable, en fait brèche tectonique.			
1373.7-1374			Vg Rx ≈ concordante 35° A.C.				
1377.7-1378			mj. g ≈ 11 A.C. chlou. K noir	boue de faille			
1378.-1378.8						py < 1%	
1380.3-1380.8			Vg Rx ≈ conc. 45° et 52° A.C.				
1380.8-1384			Vg Rx, xtant chl.			py 2-3%	
1382.9-1383.5			Vg				

Profondeur	Roche	Granulométrie et Couleur	Structure Secondaire	Texture et Structure	Altération	Minéralisation	Remarque
1384.2- 1384.5	.		Vgci, xtaux \perp aux murs. \approx 11 A.C.				✓ 1337' : 40° A.C. 1342' : 35° A.C. 1352' : 30° A.C. 1357' : 32° A.C. 1362' : 40° A.C. 1371' : 50° A.C. 1376' : 30° A.C. 1380' : 35° A.C. 1390' : 30° A.C. 1398' : 20° A.C. 1403' : 55° A.C. 1406' : 20° A.C. 1408' : 10° A.C.
1386.8- 1391.8	.	vert eau	Vg plutôt disc.	+ dur, - fixative, V2?, \neq passages noirs loc dur, loc. mou.			
1388.6- 1388.9	.		" \approx 11 A.C.				
1390.3- 1390.6	.		Vg \approx conc. contacts immg.				
1390.7- 1391	.		Vg Rx chl cc				
1391.8- 1392.1	.						
1392.1-	.	bleus, + fonct'			K jaune + gris. + gris-blanc.		
1392.9- 1393.2	.		Vgci Rxx				
1404.3- 1404.9	.		Vg Rx				
1406.5- 1407	.		"				
1407.5- 1408	.		"				
1409.3-1409.6	.						
1409.9-1410.1	.		"				

Profondeur	Roche	Granulométrie et Couleur	Structure Secondaire	Texture et Structure	Altération	Minéralisation	Remarque
1411-1411.5 1411.5	.		Vg disc. (comme avant zone altérée) 25° A.C. tem.		K jaun ^r	py 2%	
1411.5 - 1417.5	.					py ≤ 1%	
1413.6 - 1414.6	.		Vg plissées ou transposées par schistosité	pli ouvert révéler par bandes K et Vg boudinés (légerement)			
1417.5 - 1454.4	x? - i? VI	aph - gns - bleu	découpe ^{quelques} par bandes K et H, moins que ds. les unités précédentes.	Aspect - Fx puisque - de K			à 1417 
1441.4 - 1442.3	.		inj q, f, Rx, py			py ≤ 1%, diss. cp tr.	
1443.4 - 1444	.		Vg, Rx, K, 30° A.C.				
1443.7	.		Vg Rx, épaisseur variable 1cm - .1', cp. tr.				
1450-1450.3	I ou V6 ⊙			passage brunâtre, K, caractérisé par abondances de petites lentilles chvées // à schistosité, certaines pyritisées (se raient au couteau, ne reagissent pas au HCl) ⊙ ou taux altérés et pyrites.	K	py 1%	contacts francs. 45° A.C.

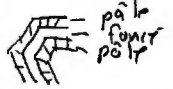

Profondeur	Roche	Granulométrie et Couleur	Structure Secondaire	Texture et Structure	Altération	Minéralisation	Remarque
154.4- 1464.6	I mafique? 19 à 20?	grain fin au contact porphyrique		Matrice K brune contient porphyre de mica vert pâle, (loc. hex) (aussi tabulaires) ainsi qu'aiguilles + lentilles comme ds. passage brunâtre précédent, (loc. foncée se rare au couteau, ne réagit pas au HCl) ≠, minéraux et bandes et 20% spat. crist. et			✓ 1412' : 30° A.C. ✓ 1417' : 35° A.C. ✓ 1421' : 45° A.C. 1426 : 50° A.C. : ✓ Δ 35°-40° 1450' : 35° A.C. 1460' : 20° A.C. 1465' : 35° A.C. 1468' : 55° A.C. 1470' : 30° A.C. 1473' : 30° A.C. 1479' : 30° + 40° A.C. 1482' : 45° A.C. 1485' : 30° A.C.
1455.8							
157.7- 1480							
150- 1464.6			Vg cp tr. contact sup irrégulier inf: 20° A.C.				
164.6 - 1482.1	V2	aph gris-brun		très ≠, lessive; matrice + dur xtaux (+f ?) crist. séparés par filets anastomosants. ≠, aspect relativement homogène, recouvre de filets K + passages ≠, K + lentilles foncées + Fx Rx, assez dur. Rx fracture par 2 syst de fract: crenulés boue de faible tt, ≠, bandes (mnp) brunes, dures avec py 5-15% avec bandes K beiges à brunes boue de faible.		py ≤ 1%	
174- 1474.6							5° A.C. 1474.6 25° A.C.
177							
182.1- 1487.8							
187.7- 1487.8							

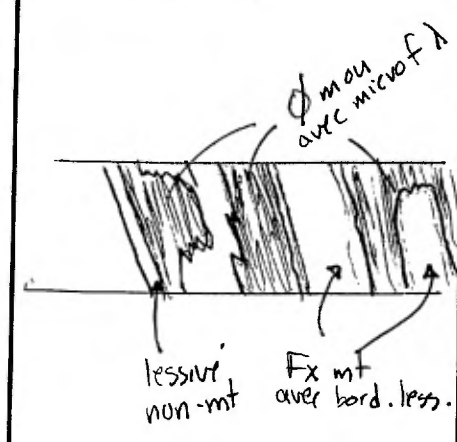
Profondeur	Roche	Granulométrie et Couleur	Structure Secondaire	Texture et Structure	Altération	Minéralisation	Remarque
1487.8 - 1490.2	I ?	aph à porph. (matrice aph).		gr. fin brunâtre avec loc xtaux mica vert non-drif peu ≠		py diss < 1%	
1490.2 - 1494.2	.	.		carotte en blocs qques bours de faille			
1494.2 1504.5	.	.		≠, #, bandes brunes durs mm-cm intercalées avec bandes K petits Fx, arrondis ou allongés		py 1-10%	
1500.5 - 1504.5	.	.		1496 : Ugf ≈ // A.C. loc texture oeilée : Opy ou yeux de gcc?			
1504.5 - 1581.2	V6	aph-gris à brun		#, P Fx (Fx) à ● loc v	K loc jaun	py 4-30% (dsk)	
1504.5 - 1519	V6 ?	aph, brun		apparence Fx causée par bandes brunes durs décapées par K Fx en forme de bandes (allongées) à arrondis. K brun à gris	K jaun	py ≤ 1% ds. matrice K. loc 4-5%	Fx loc. angulaires.
1516.9 - 1517.3	.	.	Vg Rx ≈ 100%				
1517.6 - 1518	.	.	Vg				
1518.5 - 1518.7	.	.	Vg 45° A.C. échantes lessivées				
1519-1560.9	.	.		comme unité précédente sauf + K et + py	K loc jaun. loc r.	py 5% loc 30-40%	

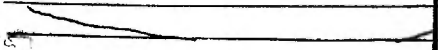
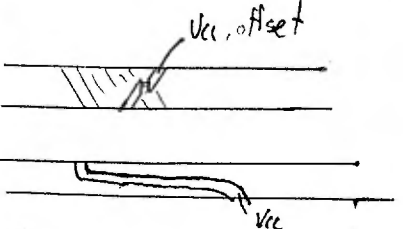
Profondeur	Roche	Granulométrie et Couleur	Structure Secondaire	Texture et Structure	Altération	Minéralisation	Remarque
1521 - 1521.3	.		Vg (ch). 40° A.C.				✓ 1487' : 30° A.C. 1495' : 28° 1504' : 50° 1515' : 45° 1520' : 48° 1534' : 30° 1541' : 40° 1546' : 45° 1556' : 42° 1561' : 45°
1521.3 - 1521.8	.			boue de faille. (belle)			
1521.8 - 1522.1	.		Vg				
1522.1 - 1523.5	I	beige		• , qques xtaux verts. (tachés)	K		
1525 - 1525.4	.		Vg cc (f?) 40° A.C.				
1526.7 - 1527.2	.		Vg R x K 55° A.C.				
1527.8 - 1528.1	.			boue de faille			
1528.1 1529.1	.		qques Vg, 45-55° A.C.				
1541.8 1543.3 - 1543.9	.		.05' - .3' → boue de faille.				
			Vg, div. irrégulière				
1560.9 R 1581.2 -----	V6	aph., brun (berge à gris-brun)	loc recoupe par petites veinures cc.	app. + • (c.a.d. homogène), K loc découpe par bandes de K alt (jaunâtre) finement *, (schisteux)	K	loc K beige jaunâtre	

Profondeur	Roche	Granulométrie et Couleur	Structure Secondaire	Texture et Structure	Altération	Minéralisation	Remarque
1567	.			boue de failly			✓ 1566' : 45° A.C.
1576.3 - 1577.45	I?			Mature beige lrs K (filets) contenant 5-10% phénocristaux de mica verts gen. allongés // au ≠ (35° A.C.) (1mm-1cm). contacts francs 40° + 60° A.C.	lrs n		1581' : 45° + 55° 1586 : 40° 1598 : 42° 1608 : 45°
1580 - 1581.2	.				n		1617 : 50° 1622 : 50° 1627 : 30°
1581.2 - 1677.6	✓ 6	gr fin-moy gns-brun à gns-vert loc. beige		finement ≠, recoupe loc. par veinules noires chl., bandes Kx/K mm à cm, contient aussi lentilles de chlorite concordantes	gen. K passages verd. -K, φ? loc zones beiges K <u>loc n</u>		1632 : 40°-45° 1638 : 35° alternance de passages altérés (K) et moins ou très peu altérés. (vert).
1586.4 - 1588.6	.		avec dir. irrégulière de conc à // A.C.				
1592.7 - 1592.9	I?			Mature beige K contenant cristaux mica vert + noires (chlorite)			
1593.3 - 1593.5	"			"			
1594.5 1596.5	"						
16014.8 - 16015	.			passage Δ, petits fx à bordures blanches // au ≠, poss. Δ?			

Profondeur	Roche	Granulométrie et Couleur	Structure Secondaire	Texture et Structure	Altération	Minéralisation	Remarque
1639.1 - 1642.3	.		Bandes concordantes cc q				1646': 38° A.C.
1642.3 - 1643.6	.		Vg cc chl			cp tr.	1651': 40°
1646.1 - 1646.4	.		Vg cc chl & conc.				1657': 30°
1646.6 - 1647	.		Vg cc & A.C.				1666': 45°
1650 - 1657	.	vert		⊙, loc étirées (carb).			1671': 40°
1660.9 - 1661.5	.		Vg cc Rx d, chl				1684': 40°
1661.7 1662.5	.		"		éponges K.	py cp tr - < 1% ds éponges.	1697': 40°
1664.4 - 1664.8	.		Vg, cc, chl, w				1707': 48°
1666.8 - 1667.2	.			Fx n (bandes cc ≠ et frag?)		py cp tr. ds éponges.	1717': 50°
de 1671 - 1677.6 à 1677.6	.			boue de faille	généralement n		
1677.6 - 2228	V6						
1677.6 - 2014.6	V6 ≠	vert. aph-phos		généralement risaillé; # bandes par chl ou K → texture Fx.	loc alt, lessive et/ou K		K perd sa texture talceuse.

Profondeur	Roche	Granulométrie et Couleur	Structure Secondaire	Texture et Structure	Altération	Minéralisation	Remarque
1679.8 - 1701.2	I?			Matrice beige, lessivée avec xtaux et lentilles vert foncé (chl) et vert pâle. (fuch) ≠, xtaux allongés Kink ds. le ≠ contacts diffus (chill ≠ ?) 45° + 38°	matrice lig. K. (lessive?)		certains xtaux sont  aussi: poss. texture de remplacement (pas clair quelques miroirs verts remplace l'autre). 
1724.6 - 1724.8			Vg cc	lor. magnétique jusqu'à 1791.8	passages lessivés tous		√1717' : 55° A.C. 1751' : 45° 1770' : 45° 1775' : 42° 1784' : 50° 1798' : 50° 1812' : 45° 1837' : 45° 1851' : 45° 1865' : 40° 1894' : 58° 1900' : 50° 1902' : 45° 1913' : 48° 1927' : 55° 1950' : 55°
1725.3 - 1726			Vg cc chl			ry cp tr.	
1730 - 1734.1			serie Vg cc chl + gros Fx Rx Ø		passages lessivés lor. d'app. Fx (pseudo Fx j)	ry cp tr.	
1733.1 - 1765							
de 1860 - 1900				- #, - ≠			

Profondeur	Roche	Granulométrie et Couleur	Structure Secondaire	Texture et Structure	Altération	Minéralisation	Remarque
1963.6- 1963.9			Vg chl cc contacts irrég.		loc n		1973' : 50° A.C. 1992' : 55° A.C. 2007' : 58° A.C.
2013.3- 2013.4			Vcc py < 19%, mt 55° A.C.				
2014.6- 2073.5	V6 Ø ou Δ ou V9 B à blers	vert foncé	Vg cc bord + Vccq discordantes.	≠ apparence fragmentaire à rubannée, Fx + bandes vert pâle dérivées par et dans matrice vert foncé Ø bordures des Fx (ou Pseudo Fx) diffus, Fx ≠ concordants (dérivées ou transposés par schistosité ? passage lessivé - dur - fracture bandes + Fx mm e .1'	zones + pâles : tdures σ? + de n ds bandes pâles		Fréquemment Pseudo Fx ne traversent pas la carotte. ✓ 2017' : 45° A.C. 2037' : 45° A.C. 2057' : 45° 2072' : 40° 2077' : 35° 2086' : 45°
2038.4- 2039.2					↓		
2051.9- 2073.5				bandes ou Fx magnétiques gris avec bordure lessivée ds. matrice (ou intercalées avec bandes vertes) Ø non- magnétique contenant petites lattes blanches (Fx?)			 <p>Ø mou avec microf. lessive non-mt Fx mt avec bord. less.</p>
2059.9- 2060.4			Δ, remplissage de cc Fx V6 Ø mm à .15'				
2060.8- 2061.2			Fx " Fx mm à cm				

Profondeur	Roche	Granulométrie et Couleur	Structure Secondaire	Texture et Structure	Altération	Minéralisation	Remarque
2073.5- 2117.1 2090- 2092.3	V6 ≠	vert. foncé aph - phan.	Vcc conc + dis. Vcc \approx lém faible A.C.	(suite) finement ≠	n	loc py cp diss (tr.)	
2117.1- 2122.8 -----	2D? ou V6 grenu.	vert + pâle		⊙, grenu, 15% spaths léger enlèvement. contacts francs: 35° + 30° A.C. bedure figée sup: \approx 3' inf: 1'			
2122.8- 2181 -----	V6	gris-vert	loc Vcc (tension) fibreuse xtal. radiaux + murs veine angles Δ disc. + loc Vcc q ch) ± déformés	≠, loc Fx (Rx décapée par ≠, forme lenticulaire, ϕ ↳ d-K gris (Fx mm-cm) loc + gros.		loc py diss. < 1%	
2128.8- 2181			Vs cc q ch) \approx // AC - 20° A.C.				
2150			Vq lém cp. tr. disc.				

Profondeur	Roche	Granulométrie et Couleur	Structure Secondaire	Texture et Structure	Altération	Minéralisation	Remarque
2181-2228 ----- 2186.4- 2187			Vg déformé	+ Δ, matrice + altérée K-λ		Py loc 1%	45° A.C.
2193.3- 2205.3		brunâtre		+ déformé, Fx Rxt Vg taille Δ loc. Fx durs Δ	K loc jaune en filets Fx matrice très K.		2167: 45° A.C.
2205.3- 2228				Δ, Fx bleuâtres + Fx Vg découpés par matrice brunâtre	Fx mous: a, Ø? K.		2187: 38° A.C.
2228- 2320.8	V1-V2	gris à bleu		P Fx, loc Δ	K r.		2197: 40° A.C.
2228 -2233.6 -----	dyke? altér	leg. grenu- vert pâle	Vg cc loc. déformés gen. concordantes	petits grains (qtz, chl, ...) ds matrice K, contenant de petits filets de fuchsite		Py < 1% // au léger ≠	2217: 48° A.C.
2331.2			Vg cc py, irrégulier 35° A.C.				2217': 48° A.C.
2333- 2333.6		Vg chsc.					2231: 40° A.C.
2233.6- 2257.7 -----	V2 Δ Ø?	bleuâtre aph- leg. grenu		Fx taire, Δ, mais d'app. + massive et homogène quant Rx vert pâle fract (K) de dir. variable grains de quartz	K, mais moins qu'avant ∴ + dur. K gris. (Ø?)		
2239.6- 2240.1		vert pâle aph	re coupé par Vcc - 40° A.C. contours aussi ≈ 40° A.C.	alt, dyke?			

Profondeur	Roche	Granulométrie et Couleur	Structure Secondaire	Texture et Structure	Altération	Minéralisation	Remarque
2234 2235.5 2241.7 vers 2242 2249.7- 2250.1	- - - >		Vg cc chl (xtaux) ≈ 70° A.C	boue de faille 1. cm, 40° A.C. " " " " " " " " boue de faille 1.5 cm	loc r		
2257.7 2290.2	V2 ?	gris pâle aph.	Vg cc def. loc. lés. bord.	découpe par filets r anast. app. \odot , content ^{trch. noir} zones [Δ K (ø?) ≠] ← Fx ou pseudo Fx x zones K → r +	lég. K, r		dur. Passages ≠, Fx, ≠ 2274.5 - 2277 2277.5 - 2282.1 2287 - 2290
2287.1- 2287.4 2288.3- 2288.8 2289.8- 2290.2			Vg cc chl ou r épointes ≠, py, K " sauf py Vg r ou chl.				
2290.2- 2320.8	V2 (ø)? V9 d	aph & (loc. grenu pur) bleuâtre		Pseudo Fx durs découpés par K beige-gris + r	r ≤ 1% à 2%	py < 1%	comme V2' sauf + ≠ donc + alt ? √ 2292' : 50° 2300' : 50° 2318' : 50°
2295.2 2296.1 + 2301.1 2302	- - - -		Fibr. Vcc (ø) disc. 15' 32° A.C	passage pâle, \odot , r			
2310.8-2311	6	beige		" " " "			

Profondeur	Roche	Granulométrie et Couleur	Structure Secondaire	Texture et Structure	Altération	Minéralisation	Remarque
2320.8- 2625.9	Gr'n V9/B Ponceux			# # , lentilles claires ^{mm} , allongées, molles, dans matrice K brun (filets), r, loc fixaine loc. ponces II	K, r.		- 2326.6 : Vcc q .1' (q au centre) 25°A.C.
2320.8- 2359.7	V9/B ponceux ②	grenu gris à beige	Vcc disc. 0.1' ép. + Vcc + q				- 2340.6 : Vcc (xtal. rad.) 45°A.C.
2320.8- 2331		beige		# ⁺ , #, Fx et F _{II} ds bandes beiges (K+R ₂) loc filets de chl. noire.		py 1%	- 2352.4 : Vcc .1' 40°A.C. - 2353.8 - 2354.2 Vg cc w 60° + 65°A.C.
2331- 2338		beige		Pas fixaine, #, pas #, ponceux. loc. passages K+r ⁺			
2338- 2359.7			loc ②? nodules de carbonates.	Passages fixaines (pass. K+r ⁺ pré- réidents), Fx 0 sub-ang à sub- arrondis, étirés ou fixés par # Petits xtaux F? ou Fx blancs ds matrice, donne app. grenue.	Matrice K's ?		
2359.7- 2381.9	Prédominance α	grn. aphy.		Succession de passages de comp. + texture variables			✓ 2307' : 45° A.C. 2317 : 45° 2327 : 55° 2332 : 50° 2337 : 45° 2342' : 50° 2357 : 45° 2367 : 48° 2387 : 45° 2392 : 55° 2397 : 55°
2359.7 2365.5	V2 α?			- Pseudo Fx bleuâtres à verdâtres découpés par K+r			
de 2364 à 2365.5				+K, +r			
2365.5- 2369.8	Δ F _{II}	brun matr. aphy. Fx. gr. fin.		- Fx flambeaux de R ₂ +K +py+r matrice : K brun : app. massive	de 2368.5 : matrice fdure (-K?)	Fx py 20-50% Total : py 5-10%	

Profondeur	Roche	Granulométrie et Couleur	Structure Secondaire	Texture et Structure	Altération	Minéralisation	Remarque
2369.8 2381.9 2380 - 2381.9	V2 ? V9 α	beige à gris apha.		- ●, pseudo Fx grisâtres découpés par K beige à gris loc passages ≠ K inj. qj déformés Fx + découpés, Δ,	r < 1%	à 2370 Δ à 2370.1 py 2%	dur
2381.9 - 2395.4 -----	V9 poreux	brun. grenu.		r + ponces ds matrice K ≠ pas #, xtaux f? ds. matrice. passages r + K +	r = 2%	py < 1%	
2395.4 - 2407.3 -----	V2 Δ ?	gris		Pseudo-Fx + bandes grisâtres découpés par K beige à jaune. dur. loc passages K + r +	K loc jaune. loc η (faible)		
2407.3 - 2446.5 -----	16 Δ Fxπ	brun		≠, Fx + lambeau + de Rx + K + r + py ds. matrice apha: K brun, app. ● Fx brun foncé + bandes Rx (α?) Fx mm - dm // ≠	loc légs. η		
2417.5 - 2422.6		grenu		≠ bandes K jaune, r - 1-3%			
2446.5 - 2510.8 -----	loc V9 poreux B	grenu, gris-brun		loc Fx α arrondis., Pas de Fxπ. ● - ≠, pas #, ponces r, f ds matrice K brune. loc. pseudo- Fx + K +	j, η, r		loc r ≤ 1%, +K et pseudo Fx brune.


Profondeur	Roche	Granulométrie et Couleur	Structure Secondaire	Texture et Structure	Altération	Minéralisation	Remarque
2457.6- 2457.9				passage jaunâtre à grain fin contacts // S.			✓ 2407' : 55° A.C. 2417 : 50° A.C. 2427 : 45° A.C. 2437 : 50° A.C. 2447 : 60° A.C. 2457 : 45° A.C. 2467 : 50° A.C.
2457.9- 2459.9				Passage déformé ≠, loc. Δ V _{gcc} concordantes cm K brune à jaune, r.			
2496-		jaune-brun -gris		≠, loc Δ, loc passages Kjaune r+, passages aphanitiques	généralement altérée loc V _{gcc} def.		
2498.3- 2504.9- 2505.3		beige	boue de feuille V _{cc} 30° A.C.	aph. py fin 10%			
2508			boue de feuille				
2510.8 2510.95			boue de feuille V _{cc} 40° A.C.				
2510.95 2570.8				Succession de tufts loc. Δ, dyke, passages acides.			
2510.95 2510.2	V _g -VII	gris foncé bleu		Δ, contenant Fx II, α arrondis, Pseudo Fx loc passages Kjaune		Fx py 50% total py 2%	
2514- 2514.9			V _g ch) R x K				

↙ contact U₉ / U₂
dent sommet Δ,
dyke et zone massive (alt.)
de cette région

Profondeur	Roche	Granulométrie et Couleur	Structure Secondaire	Texture et Structure	Altération	Minéralisation	Remarque
2518.2 - 2529.6	V2 ou Vq d	gris q' bleu plutôt aphanitique		plutôt \odot , décapé par K beige		py 1-2% en globules	✓ 2477: 48° A. C. 2497: 58° 2507: 48° 2517: 50° 2528: 52° 2540: 50° 2544: 45°
2529.6 - 2534.3	dyke	\square		matrice beige à gr. fin \square Mira vert pâle + " " fuchsite + xtal Fxle' q. bordure sup. figée		py 1-2%	
2531.4			Vcc .2' épais. 350 A. C. (x taux cm)				
2534.3 - 2536.2	V2 Δ?	gris	Vcc q def.	Pseudo Fx	loc. fuchsite	py 1-2%	
2536.8 - 2539.6	V2?	gris-beige aph.		finement #, homogène assez dur mais se rait	K gris-beige loc. r couleur grise: alt?		
2539.6 - 2541.2	V2 Δ?	gris	Vq a dr f.	rel. \odot , Pseudo Fx,	loc fuchsite	py < 1%	
2541.2 - 2544	dyke	\square		\square fuchsite es above (2529.6) bord. inf. figée.			
2544 - 2567.2	V2	gris pale aph.		Pseudo Fx a décapés par K gris à beige	r-en filets		dur.

Profondeur	Roche	Granulométrie et Couleur	Structure Secondaire	Texture et Structure	Altération	Minéralisation	Remarque
2547- 2547.6				alt, less, D.			✓ 2557' : 52° A.C.
2549.7 2550.4			Vg, filets R x K jaun			py 1%	2582' : 45° 2597' : 50° 2607' : 55° 2617' : 50°
2567.2 2570.8	dyke			≠, vert, etc contacts 50° + 30° A.C.			
2568.1- 2568.3			Vg cc				
et 2568.9- 2569.3			"				✓ 2627' : 40° A.C.
2570.8- 2625.9	Vg (poncée)	grenu gris à gris pâle		lx's ≠, poncée, f, ds. K gris loc app. fixaire	v 1-2%	py fine diss tr à 1%	2647' : 50° A.C. 2657' : 50° A.C. 2667' : 50° A.C. 2677' : 55° A.C.
2602.2			Vcc disc, 1' xtal. rad	52° A.C.			
2608.7			" 2' "	45° A.C.			
2618.4- 2619			inj cc, g filets chl nure ou microplissés			py 1%	
2623.5- 2625.9			Vg cc	zone altérée, K, verdâtre, vs 1%		py ≤ 1%	

Profondeur	Roche	Granulométrie et Couleur	Structure Secondaire	Texture et Structure	Altération	Minéralisation	Remarque
2625.9- 2719.4	V9 A VI (VH)	gris pâle gr. fin, aph.	V tension cc radiaire 105' - 1' épais.	lég. ≠, K grise, app. Ø, zones aph au lég grenu où v. loc décaimées par K loc Pseudo Fx ou Fx Δ à la base.	$r \leq 2\%$ loc. + fonc. Ø? loc n	py +/- loc < 1%	dur (ressemble à l'unité précédente sauf + a ou σ, lessivé?)
2662.3- 2662.8			Passage η, Vcc, q py 1%, épontes blanchies.				
2692.8- 2694					zone lessivée, légèrement hématisée,	py < 1%	
2719.4- 2856	V9 B	gr fin à lég. grenu gris fonc	Vq cc déformés mm - cm qqes Vcc tension xtal. rad.	lég. ≠, grains de feldspath? ± j ds matrice gris-brun K, apparence "floue" lambeau K + cp + ≠	K grise, loc n		se vare assez facilement lorsque plus grenu, apparence moins ≠ ✓ 2726' : 40° A.C. 2736' : 45° 2747' : 50°
à 27227 de 2726							
2745.6- 2745.7			pass Vq cc def. ds. matrice cc+K				
2755-2755.2			passage K brun + py + Vcc			py 10%	
2757- 2758.3				carotte en blocs, boue de farine?		py 10%	

Profondeur	Roche	Granulométrie et Couleur	Structure Secondaire	Texture et Structure	Altération	Minéralisation	Remarque
2758 - 2787			nombreuses Vgcc	loc. lambeaux de fx ou bandes K brune, py \leq 1-5% carotte en blocs	loc. gris pâle		
2766.8 - 2777.3							bandes K-py
2777.7 - 2779						py ds. bandes + fx: total 10-20%	2760' : 55° A.C 2770' : 45° 2790' : 50° 2803' : 55° 2825' : 55°
2786.3 - 2787				Vgcc en blocs			
de 2787 - à 2787.4				Passages K py mais moins fréquents	chl verte (?) en filets.	py tr.	
de 2789 - 2815							
2810 - 2821		très grenu app. floeur. (□?)					2' sable, bloqueux c.f. Rapport journalier des foyeurs.
2825.2 - 2825.6				boue de faille \approx 20° A.C.			
2842 - 2856			Vcc + py conc (loc ep.) + Vcc disc, cc radiaire.	moins flu, poreux			
2853.2 - 2854.6				Fxtaire (cm) avec cc + py entre les Fx.		py 10%	

Profondeur	Roche	Granulométrie et Couleur	Structure Secondaire	Texture et Structure	Altération	Minéralisation	Remarque
2856-2946.8	V2 loc VII			≠, Δ à ●	∅	py < 1%	
2856-2887.9 2857.8-2858 2858.9-2859 2865.4-2883	V2 ∅ Δ	gns bleu gen a ph.		découpé par K verdâtre à grise, Pfx à Fx.	K vert pâle et chl sur plans de fractures	py 40% py 50% py < 1%	
2884.8-2885.3		vert très pâle tracé gns. (marbré)	recoupé par gges Vcc rad. (tension) disc.	●, découpé par K verdâtre	lessivee		
2884.8-2885.3					passage K brun.		
2887.9-2946.8 -----	V9 α ∅		loc Vcc tension.	Fx acides (bleuâtres à grisâtres) et Fx V6 ds. matrice chl + K ≠, Fx allongées, de taille variable mm-cm, loc dem (ou passages V6 bordures diffuses).	∅	py < 1%.	au début Fx β puis Fx α
2897.6 2898.5			Ug cc py .15' ép. conc. : 65° + 60° A.C.	zone altérée rosâtre	héim ?	lentilles py // ≠ py < 1%	
1905.5				boue de fuille ?			
2935.6-2337				Fx α avec bordures lessivées (molles). Fx sub-arrondis			
2938 →				loc. mica vert + clair que chl brité ?			

Profondeur	Roche	Granulométrie et Couleur	Structure Secondaire	Texture et Structure	Altération	Minéralisation	Remarque
2936.8 2939- 2946.8	V6			boue de faille 45° A.C. + ≠, Δ, fx + petits matrice + K, lentilles q+chl+py (ponces?)			
2946.8- 3123				vert; gns vert gen. aph. à phan	très lég. ≠ à ○	∩	
2946.8- 2957.2					zone de contact, ≠, K, Vcc déformées	loc E? ds. plan de fract.	
2953					passage .s' de forme Vcc noire micro plissées		
3045- 3058					lég ≠, passages Δ + ▲ + Fx V6 less ds. V6 ∅ (bord. diffus)		
à 3123	FIN DU TROU						

ANALYSE DES CAROTTES DE FORAGE: GEOCHIMIE

Unité	No. Echant.	de	à	Longueur				SiO ₂	Al ₂ O ₃	FeO	MgO	CaO	Na ₂ O	K ₂ O	TiO ₂	P ₂ O ₅	MnO	CO ₂	S	H ₂ O-	LOI	Cu	Pb	Zn	Ni	Co	Ag	Au
				%	%			%	%	%	%	%	%	%	%	%	%	%	%	%	%	%	%	%	%	ppm	ppm	ppm
	4751	80	105				50.1	11.55	11.79	4.91	8.28	2.45	0.06	1.46	0.01	0.20	7.52	0.01	1.52	9.05	112	1.3	110	32	48	1.0	7	
	4752	170	191.4				54.2	13.30	5.03	3.89	7.11	2.50	2.47	0.98	0.05	0.14	7.87	0.01	2.35	10.23	42	7	32	31	21	0.7	6	
	4753	327	350				53.8	14.18	7.65	3.88	7.23	2.63	1.75	1.07	0.01	0.15	5.91	0.01	1.41	7.33	20	10	66	43	48	0.8	7	
	4754	580	605				57.5	12.33	11.28	6.03	9.14	1.51	0.07	1.14	0.01	0.25	4.14	0.01	2.42	6.57	102	8	67	35	37	0.8	6	
	4755	733	755				50.8	13.40	10.09	4.72	7.71	3.65	0.06	1.42	0.01	0.29	6.12	0.01	1.66	7.79	88	7	64	35	35	0.5	7	
	4756	849	870				48.9	13.13	11.15	5.37	7.99	1.18	1.20	1.30	0.06	0.23	6.97	0.07	2.41	9.45	100	8	71	36	37	0.5	7	
	4757	950	973				48.9	14.12	10.68	5.05	6.97	2.61	0.93	1.33	0.01	0.23	5.52	0.01	2.66	8.19	88	7	64	34	32	0.4	5	
	4758	1181	1205				51.5	13.76	11.04	4.80	7.26	2.96	0.06	1.22	0.01	0.26	5.31	0.01	1.41	6.73	85	7	67	36	31	0.5	5	
	4759	1300	1335.9				49.0	13.60	10.61	4.46	7.65	0.79	1.31	1.42	0.01	0.21	4.85	0.01	5.48	10.34	82	8	62	35	34	0.4	6	
	4760	1335.9	1345				44.1	14.83	11.84	4.18	8.00	0.82	1.11	1.60	0.01	0.25	10.26	0.23	1.94	12.43	97	9	83	43	40	0.5	15	
	4761	1345	1361				52.5	17.25	9.18	2.89	4.79	1.03	1.34	1.56	0.01	0.17	4.37	0.12	4.13	8.62	65	5	84	73	36	0.3	6	
	4762	1361	1368.2				40.6	11.92	7.61	7.19	10.62	1.06	1.13	0.72	0.22	0.20	13.62	0.01	4.68	18.31	91	12	122	247	40	0.5	5	
	4763	1368.2	1392				59.8	13.94	5.24	3.22	5.43	1.39	1.15	0.70	0.37	0.11	5.68	0.65	1.53	7.86	51	6	85	69	27	0.3	14	
	4765	1464	1482				68.8	11.75	4.19	2.73	2.90	1.24	0.76	0.48	0.19	0.05	2.07	0.59	2.09	4.75	10	4	149	9	7	0.3	11	
	4764	1530	1556				49.1	19.81	12.16	1.09	2.36	2.78	0.97	1.50	0.08	0.06	2.05	4.03	4.49	10.57	289	14	1089	114	49	1.5	67	
	4766	1595	1620				54.3	16.07	6.85	2.14	6.01	2.04	0.75	1.76	0.22	0.14	6.30	0.54	2.02	8.86	144	7	113	41	53	0.4	8	
	4767	1774	1800				52.5	12.12	11.68	3.76	6.91	1.54	0.68	1.79	0.01	0.28	7.41	0.28	0.37	8.06	55	8	90	19	35	0.5	5	
	4768	2123	2158				50.2	12.80	11.12	4.89	8.11	0.23	0.99	1.45	0.01	0.28	7.52	0.07	2.54	10.13	84	10	98	28	36	0.6	5	
	4769	2204.7	2227				58.9	16.03	5.88	2.40	6.40	1.26	1.72	0.76	0.15	0.11	5.66	1.75	0.01	6.49	73	11	67	35	49	0.5	14	
	4770	2258	2287				67.5	9.22	3.50	2.69	5.52	0.70	1.23	0.29	0.08	0.15	6.92	0.01	1.78	8.71	13	4	28	11	8	0.2	6	

ANALYSE DES CAROTTES DE FORAGE: SULFURES

Unité	N° Echantillon	De <i>PIEDS</i>	à <i>PIEDS</i>	Longueur <i>PIEDS</i>	Estimée		ANALYSES						MOYENNE PONDERÉE							
					Cu	Zn	% Cu	% Zn	Ag ppm	Au ppb	% Fe	Gold	De	à	Longueur	% Cu	% Zn	Ag ppm	Au ppm	% Fe
												CHECKS								
	5033	1324.0	1329.4	5.4							Nil									
	34	1329.4	1334.4	5.0							Nil									
	35	1337.4	1341.5	4.1							159									
	36	1341.5	1344.0	2.5							Nil									
	37	1344.0	1346.2	2.2							7									
	38	1346.2	1349.0	2.8							Nil									
	39	1349.0	1353.1	4.1							Nil									
	40	1353.1	1358.2	5.1							9									
	41	1358.2	1361.5	3.3							Nil									
	5076	1361.5	1364.7	3.2							12									
	5042	1364.7	1367.9	3.2							Nil									
	43	1367.9	1369.0	1.1							9									
	44	1369.0	1373.1	4.1							29		30,28							
	45	1373.1	1375.6	2.5					2.1		18									
	46	1375.6	1378.3	2.7					2.3		Nil									
	47	1378.3	1378.8	0.5					2.5		9									
	48	1378.8	1380.3	1.5					2.1		16									
	5077	1380.3	1380.8	0.5							18									
	5049	1380.8	1382.6	1.8					2.1		76									
	50	1382.6	1384.0	1.4					3.2		24		25,23							

W 87 - 14

4/20

ANALYSE DES CAROTTES DE FORAGE: SULFURES

Unité	N° Echantillon	De			Longueur	Estimée		ANALYSES						MOYENNE PONDÉRÉE							
		PIEDS	PIEDS	PIEDS		Cu	Zn	% Cu	% Zn	Ag ppm	Au ppb	% Fe	Gold	De	ā	Longueur	% Cu	% Zn	Ag ppm	Au ppm	% Fe
													Checks								
	5051	1384.0	1386.8	2.8					1.9	9											
	52	1386.8	1390.3	3.5					2.9	Nil											
	53	1390.3	1391.0	0.7					1.9	Nil											
	54	1391.0	1392.5	1.5					2.2	48											
	55	1392.5	1394.2	1.7						25											
	56	1394.2	1399.3	5.1						14											
	57	1399.3	1404.3	5.0						23											
	58	1404.3	1406.3	2.0						16											
	59	1406.3	1408.8	2.5						12											
	5060	1408.8	1411.0	2.2						53											
	61	1411.0	1414.8	3.8						63	58.67										
	62	1414.8	1417.5	2.7						39											
	63	1417.5	1420.0	2.5						51											
	64	1420.0	1424.8	4.8						37											
	65	1424.8	1429.6	4.8						21											
	66	1429.6	1434.5	4.9						12											
	67	1434.5	1438.1	3.6						21											
	68	1438.1	1441.1	3.0						25											
	69	1441.1	1443.2	2.1						32											
	70	1443.2	1444.2	1.0						14											

W 87-14

Sh

ANALYSE DES CAROTTES DE FORAGE: SULFURES

Unité	N° Echantillon	De			Longueur	Estimée		ANALYSES						MOYENNE PONDÉRÉE							
		Pieds	Pieds	Pieds		Cu	Zn	% Cu	% Zn	Ag ppm	Au ppb	% Fe	GOLD	De	ā	Longueur	% Cu	% Zn	Ag ppm	Au ppm	% Fe
													CHECKS								
	5071	1444.2	1448.2	4.0							16										
	72	1448.2	1453.4	5.2							20	23,16									
	73	1453.4	1457.3	3.9							nil										
	74	1457.3	1461.2	3.9							nil										
	75	1461.2	1464.6	3.4							nil										
	5086	1464.6	1467.6	3.0							nil										
	5078	1467.6	1472.1	4.5							nil										
	79	1472.1	1477.0	4.9							nil										
	80	1477.0	1479.2	2.2							7										
	81	1479.2	1481.7	2.5							nil										
	82	1481.7	1484.4	2.7							53										
	83	1484.4	1486.9	2.5							48	48,48									
	84	1486.9	1487.3	0.4							55										
	85	1487.3	1495.0	7.7							9										
	5087	1495.0	1496.4	1.4							21										
	88	1496.4	1500.5	4.1							53										
	89	1500.5	1504.2	3.7							163										
	90	1504.2	1505.2	1.0							78										
	91	1505.2	1506.2	1.0							16										
	92	1506.2	1510.0	3.8							14										

W 87 14

ANALYSE DES CAROTTES DE FORAGE: SULFURES

Unité	N° Echantillon	De			Longueur	Estimée		ANALYSES						MOYENNE PONDERÉE							
		PIEDS	PIEDS	PIEDS		Cu	Zn	% Cu	% Zn	Ag ppm	Au ppb	% Fe	GOLD	De	ō	Longueur	% Cu	% Zn	Ag ppm	Au ppm	% Fe
													CHECKS								
	5136	1619.8	1624.7	4.9							Nil										
	37	1624.7	1629.3	4.6							Nil										
	38	1629.3	1634.2	4.9							9										
	39	1634.2	1639.1	4.9							Nil										
	40	1639.1	1641.8	2.7							Nil										
	41	1641.8	1642.7	0.9							Nil										
	42	1642.7	1643.6	0.9							14										
	43	1643.6	1645.0	1.4							Nil										
	44	1645.0	1647.3	2.3							16										
	5145	1647.3	1649.5	2.2							Nil										
	46	1649.5	1653.6	4.1							24	18, 30									
	47	1653.6	1658.3	4.7							Nil										
	48	1658.3	1660.8	2.5							Nil										
	5149	1660.8	1662.4	1.6							Nil										
	5151	1662.4	1664.4	2.0							Nil										
	52	1664.4	1665.3	0.9							12	14, 9									
	53	1665.3	1668.1	2.8							Nil										
	54	1668.1	1673.0	4.9							Nil										
	55	1673.0	1675.9	2.9							Nil										
	5156	1675.9	1678.1	2.2							Nil										

U 87-14

9/7



Journal de Sondage MAZARIN EXPLORATION

Coordonnées

Forage no. W-87-15 Latitude: Départ: Elévation: Pendage: 90° Azimut: Profondeur: 2667'

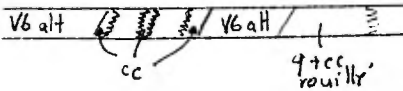
Localisation L 57+00 W Commencé le: 15-07-87 Déclinaison -13° Diamètre de B.Q. BUT DU TROU
 S 3+00 N Terminé le: 6-08-87 Magnétique la carotte

Projet Province Canton Plot Rang Claim Grillage S.N.R.C. Veines Wilco et DeKa
 Wilco Qc. Rouyn 32 VIII N c.m.265 en profondeur

Test à l'acide				Test au Tropari				
Profondeur	Pendage	Profondeur	Pendage	Profondeur	Pendage	Profondeur	Pendage	Azm. Astronomique
100'	90°	900'	-	1800'	83°	2418'	82°	50°
200'	87°	1000'	86°	1900'	83°	2118'	83°	52°
300'	87°	1100'	85°	2000'	83°			
400'	87°	1200'	85°	2100'	82°			
500'	87°	1300'	-	2200'	82°			
600'	87°	1400'	84°	2300'	82°			
700'	87°	1500'	84°	2400'	82°			
800'	87°	1600'	84°	2500'	82°			
		1700'	83°	2600'	83°			
Profondeur des coins:	1483							

LF C-648 Contracteur: Hosking

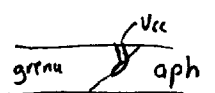
Journal par: D. Héon


Profondeur	Roche	Granulométrie et Couleur	Structure Secondaire	Texture et Structure	Altération	Minéralisation	Remarque
0-18	Recouvrement						
<u>18-2667</u>	V6	vert à gris aph-phar, loc grenu		●, loc Δ ⊙, loc mag	loc ε, η, φ	loc py en aggl. py tr - 10% cp tr.	
18-680.4	V6	aph-phar, gen. foncé gris loc verd.	recoupe de veinules de cc mm.	●, loc Δ, mag jusqu'à 262.4'		py tr. en petits cubes, loc en aggl. 1-10% reliés aux Δ et fractures	
47-57		lig tgrnu			lessivé		
50-51.3			Passages V _{cc} + V6 alt		rouille, j dissous		
72.5-78				Δ, fx allongés // A.C.			
89.2-98.8				Δ, Δ			
127-257				fractures ε (loc)			
141-257			Passages ε (loc)				
147-159				Δ, remplissage cc			156-157: carotte en bois
158.7-160			pass. ε				
167.8-168.3			V à rempl. cc-ε				
177.4-177.8			Pass. ε bord de V _{cc}				
179.2-179.4			Pass. ε				

Profondeur	Roche	Granulométrie et Couleur	Structure Secondaire	Texture et Structure	Altération	Minéralisation	Remarque
192.3- 193			Passage E				194 - 195 : corolle en blocs .
217.3 - 217.6			"				
224.6- 225.1			Passage Δ, remplis. E, cc. py tr.				
229.2- 229.4			"				
232.6 234.6			Δ, passage E recouvert de 2X Vgrec py tr.				
236.6- 237.2			E				
237.5- 237.8			Pass. E, rempl. cc rouillée				
248- 249.2			E				
253.8- 254			cavité remplie de cc + Fx V6, puis E, q				
256.2 - 257 de 264			E	Pas magnétique			
269.7- 271			plusieurs Vgccc				
307-307.8			zone Δ, cc ch.				

Profondeur	Roche	Granulométrie et Couleur	Structure Secondaire	Texture et Structure	Altération	Minéralisation	Remarque
323.75-324			Uc q E, cc rose 40° A.C.				
337.6-338 345.3-345.4 357-388		gris vert + pâle	Ue 20° A.C. recoupe de veinules cc 1/3' loc. herm. loc passage E: 70° A.C.	△	chlorite noire sur plans de fracture		vers 337: début des agglomérats de pyrox.
388-389-405.6		vert-gris fin vert gr. fin, grad. + grenu		contact ⊕ ou coulée	+ ∅	taches ou globules de py	soit grosse coulée qui commence à 399- va jusqu'à 504, Δ où I commence à 405
405.6-504.2	Diorite ou Vbt grenu	gris-vert foncé	recoupe par Ue mm	contact franc marqué par changement de couleur et de granulométrie et par présence et enlèvement de □ gr. de 3D très lg. + fin au contact. pas vraiment de bord. figé. (Peut être simplement changement de phase de une même coulée?)		nombreux agglomérats py, total py 2-3% cp tr.	
			Recoupe loc. de passages vertes aphanitiques contacts francs.				granulométrie de Rx + grenu ne change pas à ces contacts

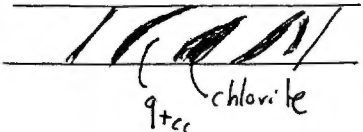
Profondeur	Roche	Granulométrie et Couleur	Structure Secondaire	Texture et Structure	Altération	Minéralisation	Remarque
421.4-422				ces passages semblent volcaniques (gran ↑ lg. vers centre) + démontrent bordures figées ∴ postérieur à la roche + grenue. (Pass. blocs volc. ds couche au intr.)	+ mou		largeur relative des bordures figées indiquent sommets vers haut du trou
425.3-425.4			Ucc + pass. ^{V6} vert aph 70° A.C.				
428.2-428.6			recoupe de Ucc q mm Vchl, py // V, 40° A.C.				
435.8-443.5				Passage vert aph, phaner au centre, contacts francs. 25° + 55° A.C.	∅		
441.4-441.7			Uq laiteux cc rouille chl vert conts 50° + 35° A.C.				
442.2-442.3			Fx rosâtre n. fract Uq cc déformée + alt? cm.				

Profondeur	Roche	Granulométrie et Couleur	Structure Secondaire	Texture et Structure	Altération	Minéralisation	Remarque
449.5 +450.2				Utensium q gns lég. clair avec cc inters. ≈ 1cm 55° + 45° A.C.			
483 - 487.5				Pass. aph. vert + clair. (contenant Fx grenu.) Contacts francs : 45° + ≈ 30° A.C.			recoupe + diplace veinule de cc ds l'unité grenue 
vers 497 à 500.4				graduellement gr. + fin			
500.4 -504.2				△, Fx sub ang - sub arrondis V6 ≠ vert clair ds matrice ∅ py interstitielle		py en agglomérats de py 80% total py 1%	base de l'unité ∴ extusif ?
504.2 - 680.4	V6	aph-phan. gris-vert foncé		comme avant zone grenue.	brisloc □j (comme débüt 87-14)		
506.6 508				carotte en blocs			
507.6 - 508				V6 n TT, inj. cc contacts pas ds. boîte.			
510-511.4				carotte en blocs.		py fine diss 2%	

Profondeur	Roche	Granulométrie et Couleur	Structure Secondaire	Texture et Structure	Altération	Minéralisation	Remarque
512-512.3			inj. cc (bleu, gr très fin) + Fx Vbalt + py fine 50° A.C.			py diss 2%	
519.6-545.9						agglomérats de py > 30% fréquents total py 1-2%	
522				△ . 2'			
558-559				carotte en blocs			
568.4-588.1				l roullée, aph. au bord, grenu au centre.	contact inf. ∅		
617-681							
621.6-622.7				△, △		moins d'aggl. de py. total: py tr-2%	
648.2-648.6			Vqcc (bleu) py diss 1-2%				
668-668.7			contacts 65°+55° A.C.				
			Vq gris cc (loc rose) chl, E, py			py 1% Sa tr.	□ cc nm 
671.1			Vcc chl py 1%				
671.7			≈ .1'				
675.8			"				
676.5			"				

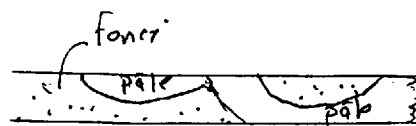
Profondeur	Roche	Granulométrie et Couleur	Structure Secondaire	Texture et Structure	Altération	Minéralisation	Remarque
680.4- 877	V6	aph-phan	vert	<p>● + ○, △, espace entre les coulées ou ○ rempli par matériel △ polygénique :</p> <p>Fx: V6 φ, V6 lessivé, V6 ± σ, U2, q (ou V6 complètement altéré). Certains Fx V6 montrent bordure altérée blanche et dure. Fx angulaires à sub-angulaires, généralement 2mm-5mm, loc + gros. Matrice V6 habituellement; contacts francs (avec △ ou bord ○) % Fx varie.</p>	φ		matrice de △ polyg.: ? origine sed. ou magm? quand petits Fx: gradation augmentation graduelle du nombre de Fx: grano-classement (sed) ou bordures = V6 (magm).
680.4- 682				<p>pass △ polyg. △ aux 2 contacts. taille, % + nature des Fx variable.</p>		py en cus 6% 681-681.4	
681-694						py 1-5% surtout en agglomérats	
683- 859.2						cp tr.	
688.8- 696.4				<p>passage △, Fx mm pour le 1er p. et puis △ app. in situ; gros Fx V6 avec bordures altérées (σ) avec py interst (loc en placage sur Fx), taille des Fx augmente avec la profondeur.</p>	σ, bord. de Fx	py 2% loc 5% cp: tr.	

Profondeur	Roche	Granulométrie et Couleur	Structure Secondaire	Texture et Structure	Altération	Minéralisation	Remarque
705.8				avec la profondeur jusqu'à 693' puis diminue et devenir polymictique			
705.8- 709.2				Δ fx polymictiques, taille des fx assez homogènes 3-8mm, loc + gros. Peu de matrice apparence sédimentaire ①, fx au apophys	bord. fx σ		
706.3- 707							
713.5- 713.9							
732.2- 732.5				△, globule py			
734.3 735.5				△	∅		
735.5 743.9				passage △, fx 1/6 cm ds. matrice △ plus fine. Pass. ● (fx au apophys) taille des fx ↑ → in situ fract 741-743	loc bord fx σ		loc contact avec V6 ● ≈ 11 A.C.

Profondeur	Roche	Granulométrie et Couleur	Structure Secondaire	Texture et Structure	Altération	Minéralisation	Remarque
741.5				mince banc de fâille			
751-752				△			
752.3-755.4				△ Fx polygéniques < 5mm			
755.4-756			Vcc q lambeaux 50° A.C. épointe inf. en blocs				
771.1-772.5				△ polygénique, Fx mm-1m contact inf // A.C.			
779.5-779.9			Vcc, chl + w tr. 45° A.C.				
814.5-814.7				△ polyg. en contact avec Vb oph			
816.2-828.3				△ polyg. Fx mm			
819-819.6				altérés, σ , héim, recouverts de Vcc			


Profondeur	Roche	Granulométrie et Couleur	Structure Secondaire	Texture et Structure	Altération	Minéralisation	Remarque
844.2- 844.3			Ucc q chl py 25°A.C.			py 1%	
853-857			recoupi	<p>△ φ, py en gros aggl. en contact supérieur avec un ⊙ dont les bords sont altérés (n)</p> <p>△, □ carbonates rouillés.</p>	φ	py 1-2%	
865.6- 866					857 ≈ 877 : φ recoupi de Vcc rouillés		
868-877	⊙?			<p>systèmes de fractures faisant penser à des ⊙ mais aux bordures et "selvage" très minces</p>			
877- -----			veinules cc mm loc rouillés	Généralement ⊙, loc △ + ⊙ phanér., foncé.		gen py < 1%	unités massives de granularité + épaisseur △
887- 901					app. d'hématite sur plans de fract et sur les murs des veinules cc + veinules remplies d'E + cc		
892.5 903-904			Uq 5mm, ep. II 80°A.C. py < 1%	<p>△ in situ avec bord. des Fx angulaires σ grosse py ass. aux fractures</p>		py 5%	
904.5 - 905.5						py 10%	

Profondeur	Roche	Granulométrie et Couleur	Structure Secondaire	Texture et Structure	Altération	Minéralisation	Remarque
906.2- 906.8				bord. \emptyset , Δ			
910.3- 910.5				bord. \emptyset n, + éléments Δ n contenant py + cp tr. remplissage inter \emptyset \emptyset contenant py en cubes 5%.			
923- 937							
925-928				Rx fract \approx // A.C.			
927.4			Vg clair py < 1% 1cm. 65° A.C.			Grosse py en agglomérats total py 1-2%	
929.5- 931.3				éléments V6 verts pâte aqh. ds. vert foncé phan. Δ ?, alt?			
967.8- 967.9			Vcc rouillée				
968.9-970			Vcc rouillée				
975.9- 976.9			6x Vccq, 5-lcm ép. les tr (fine), 65-75° A.C.				
998.6- 998.7			Vpy tcc (trou py mordorée)	50° A.C.		py 750%	



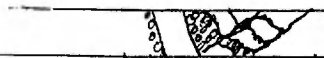
Profondeur	Roche	Granulométrie et Couleur	Structure Secondaire	Texture et Structure	Altération	Minéralisation	Remarque
1000.2 - 1001.2						py en aggl. 5%	
1000.2 - 1000.4						globule de po 20% ≈ 11 A.C.	
1002.6 1011.7 - 1011.9			Vcc rouille py 5mm. Vcc + chl cont: 55° + 50° A.C.			entourée de py	
1017 - 1061.9				Magnétique			
1040.5			Vcc rouille + hém mm				1040-1050 veinules cc ≈ 70° A.C. recoupe autre cyst ≈ 11 A.C.
1057 - 1140.6		gèn. gris foncé	Veinules cc mm + nombreuses '1.2'		lég r		
1064.1 - 1064.3			passage Δ, q, E, cc veinules cc mm				
1067.1 - 1067.5			Vcc rouille + qΔ + FxV6 contact 45° A.C.				
1074 - 1074.3			Passage E, contacts francs 35° A.C. recoupe par Vcc mm + mt.				

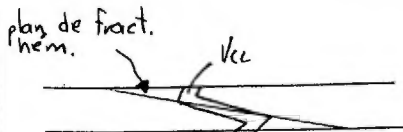
Profondeur	Roche	Granulométrie et Couleur	Structure Secondaire	Texture et Structure	Altération	Minéralisation	Remarque
1085.5- 1085.8			Ugcc échantes très lessivées (gris pâle) et π py 20% + cptr sur 1cm.				
1115.5- 1116.6			Ugcc chl sph. contacts 60° + 20° A.C.			sph < 1% en tâches + en bande	
1140.2- 1140.4			pass. \leftarrow 35° A.C.				
1140.7- 1141.3			pass \leftarrow fract. 40° A.C.				
1141.7- 1141.9			\leftarrow				
1159.7 1162.8 de 1167		+ verdâtre (- foncé) gén phan- grenu	zone de fract, U6 Δ remplissage cc \approx .05 - .1 épais.				
vers 1220 1229- 1229.6			Pass. alt \leftarrow fract carb rouille py < 1% contact sup. franc: 35° A.C.			loc agg lowrate de py	

Profondeur	Roche	Granulométrie et Couleur	Structure Secondaire	Texture et Structure	Altération	Minéralisation	Remarque
1231.5- 1232.5			fract carb. altérent Rx (app. fxtaine)				
1233 - 1241.5 1240 1252			loc. carotte en LlorS	boue de faille			
1260.7 1261.2 1266.3 1266.8			fract silice jaunâtre mm. 40 A.C. " " " rejeter par VCC mm				
1268			Veinule m + 10 ^o ac cc				
1307.2- -1357-				Δ, Fx U6 σ avec @φ et bordures loc blanchâtres σ + arrondies à sub angulaires mm à 2cm, gen. cm ds matrice φ++ caractérisé par contours angulaires lés + durs (mm) très minces re-orientés autour des Fx	φ + σ	Py en grosses globules presque massive! total ≈ 2% cp tr.	σ : lessivage? bord. de Fx alt, zone réaction avec matrice? 
1350 - 1354.6 1357				éléments Δ taille variable qui darts contact franc, presque Uq	moins φ σ ↗		éléments ang. ds matrice: - texture de dévitrification? - contour jointive de Fx ayant subi φ intense et pénétrative? - matrice uniforme φ, Δ


Profondeur	Roche	Granulométrie et Couleur	Structure Secondaire	Texture et Structure	Altération	Minéralisation	Remarque
1357-	V6 (suite)	gris-vert phanérotique loc. aphy. loc. + grenu.	Vcc vaillées mm	①	loc passages E	N < 1%	comme avant zone A
1409-1409.2			Vcc vaillées + V6 E2, 40° A.C.				
1412			Vcc irrégulière + q + Fx V6 ≈ 20° A.C.				
1412.8- 1413.8			Passage E				
1414.9-1415.1			"				
1418.4-1418.6			" 25° A.C.				
1419.1-1419.3			" 40° A.C.				
1420-1421.1			" 40° A.C.				
1422.3- 1422.4			" bord de Vcc vaillées 50° A.C.				
1422.9- 1423.1			" 45° A.C.				
1430.3- 1430.5			Pass. lig. E + Vq cc 35° A.C.				
1432.2 1432.8			Pass. E rempli par Vcc vaillées 40° A.C., Vcc: 50° A.C.				

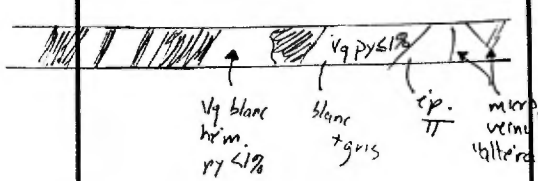
Profondeur	Roche	Granulométrie et Couleur	Structure Secondaire	Texture et Structure	Altération	Minéralisation	Remarque
1451- 1452.0				Carotte en blocs.			
1454.5- 1454.9			Vg gris cc, chluverte à vert foncé py + matière bleu-mauve à gr. fin. recoupe par Vcc. Vg : 45° A.C. syst. Vc : ≈ 10° A.C.		épontes lessivées	py 2%	
1461.5- 1461.7			Vcc, Fx V6, 20° A.C.				
1463.4- 1464			Vcc mm-cm de direction variable				
1468.7- 1469			Vcc veinillées de dir. var.				
1468.9-1469			Vcc veinillée, py, q ≈ 45° A.C.			py diss. 1-2%	
1469-1470			Vcc // A.C., cm.				
1483- 1489				Δ (Δ) Fx angulaires à sub-ang mm à cm ds. matière vert pâle			
1493			Vg cc chl py < 1% 30° A.C.				

Profondeur	Roche	Granulométrie et Couleur	Structure Secondaire	Texture et Structure	Altération	Minéralisation	Remarque
1506.9- 1508			Passage E, Urc rouillres. contacts 50°+20°A.C.				
1508- 1517.3		grisâtre		Passage D, lessivé lég. recouvert de verdures cc ± rouillres de div. variable + fracture sur 2' // A.C.		py 1%.	Note de 1508 ≈ 1670 Hétérogène altérations variables (couleur Δ) loc Δ loc E loc σ ou lessivé loc. mt. surtout grisâtre
1516.8-1516.9			mj cc, lég. E				
1527.8-1528			Ug, cc rouillre ≈ 20°A.C.				
1530.8- 1531			Ug, cc E 35°A.C.				
1545.7- 1546.1			passage E				
1559.7- 1562.5				altéré, lessivé	σ ?		
1562.5- 1563.7				Δ, fix VG loc en ds matrice Ø carotte localement en blocs.			
1564- 1566.5				boue de faille			
1564.6- 1564.9				Δ avec matrice Ø			
1564.9- 1566							 orientation des fractures ds. faille : 50°+40°A.C.

Profondeur	Roche	Granulométrie et Couleur	Structure Secondaire	Texture et Structure	Altération	Minéralisation	Remarque
1566.6- 1567.1				⊙ cc + py	∅		
1576.3- 1576.7			passage ε				
1579.8 1580.4			passage ε				
1585- 1585.6			" , Uchl, cc				
1586- 1588.8			graduellement lessivé	xtaux ou ⊙ chl.			
1591.8- 1591.9			passage ε, 50°AC.				
1594.8- 1597				Δ, tentative de farlle ?			
1597-1511			loc Δ avec remplissage cc + micro fractures de cc.				
1522 + 1522.4					hém. sur plan de fracture		
1625.8			Vec emprunt plan de fract. hém.				
1629.5- 1632		gris					

Profondeur	Roche	Granulométrie et Couleur	Structure Secondaire	Texture et Structure	Altération	Minéralisation	Remarque
1635- 1635.7			VE + g				
1644.5				contact entre Δ ou raubies ?			
≈ 1651- 1658				Δ loc \emptyset			
1664.7- 1665				passage \emptyset , les Δ ? contact raube, \emptyset ?			
1671.4- 1672.3 et 1672.9- 1673.3			Δ , remplissage cc " Vcc rouille + 5cm épointes py diss 1%				
1687.6							
1692- 1694.1				les Δ	\emptyset		
1693.5- 1694.1					\emptyset ++		
1704.2- 1705.3			VE g cc éléments Δ 20° A.C. épointes les II				
1711.2- 1711.4			Vg cc chl irrég.				

Profondeur	Roche	Granulométrie et Couleur	Structure Secondaire	Texture et Structure	Altération	Minéralisation	Remarque
1713.4- 1713.5			Vg gms, cc, chl py < 1%. 60°A.C.				
1715.4- 1717.3			Δ remplissage cc (Gros Fx)				
1728.6			Vg cc rouillée chl irrégulière ≈ 1cm épais, 20°A.C.				
1729			"				
1740.1- 1740.3			Δ, Fx V6 matrice cc rouillée, py < 1%				
1745- 1745.1			zone Δ inj cc + E fragment V6				
1745- 1749			Fract mm cc, E, V6 35°A.C à 15°A.C.		∅		
1753.6 +			Vg clair cc rouillée échantillon TT 5mm 55°A.C.				
1753.9			"				
1758.8- 1759				Δ (bordé de V6 aph, vert pâle)	∅		
1759.7- 1760.3				Δ "	∅		

Profondeur	Roche	Granulométrie et Couleur	Structure Secondaire	Texture et Structure	Altération	Minéralisation	Remarque
1764-1775			Frequents passages de minces fractures ϵ				1763 - gr. généralement fin.
1768.3-1770				$\phi, \Delta, \Delta?$			
1781.8-1783				$\Delta, \phi, py < 1\%$. Vcc rouillees.			
1799.1-1800.2				leg \neq, ϕ , U _{cc} + U _{grc} py < 1% (épanche).			
1800.2-1802.7	verme Wilco.		Vg blanc à gris + q clair + cc + chl + cc rose + hem + py < 1% contenant bandes UG grisâtres TT (py \leq 1-2%) 1cm - 5cm épaiss.			Total py < 1%	% py ds. chacune des U _g - variable
1806-1817		leg. + grenu.					
1817.7-2061				localement magnétique			
1818.7-1821.2				zone de contact, $\Delta, \phi, *, py \leq 1\%$			

Profondeur	Roche	Granulométrie et Couleur	Structure Secondaire	Texture et Structure	Altération	Minéralisation	Remarque
1826.3- 1827				Δ , * py 3-4% zone contact			
1835			Passage € .1'				
1842.6- 1864.5				Δ , Fx VG sub-ang à sub-arrondis, lessivés, bitumes loc très lessivés, loc fractures ds matrice ϕ t. Loc passages Δ , loc *	loc ϕ	py <1% loc 5-10%	
1844.2- 1844.7			Δ , remplissage cc. Fx anguleux...				
1853- 1859							
1855.7-1855.9				→ boue de faille, matrice: boue hématisée.	Plans de fractures fortement hématisés		
1856 ^m 1860			fract \approx // A.C.				
vers 1861 à 1867.5				zone de boues de faille avec loc. passages non-fracturés.			
1871.8- 1872.2				boue de faille			
1873.7- 1878.5				Δ .			
1880 -		gris-vert, foncé		gen. \odot , phan., loc Δ	loc chl noire sur plans de fract.	py en globules total \leq 1% loc py en globules loc Total py en mat. sass. Vcc Total py en <1%	

Profondeur	Roche	Granulométrie et Couleur	Structure Secondaire	Texture et Structure	Altération	Minéralisation	Remarque
1895.4- 1897.3				Δ Fx V6 bord. alt			
1937.8- 1937.9			Vq cc, cr aux échantillons rouillés 45° A.C.				
1939.8- 1940.8 1940-1940.15			V cc contenant Vq + zone brechiqur (Fx V6 lessive brachiqur) Épente sup: base - Δ - \neq . Vq				
1948.4- 1948.9						py en cubes 2%	
1977 ↓		gris-vert plus pâle à vert.					
2032.2- 2032.7			Vcc \approx 11 A.C. py en cubes < 1% ds. échantillons.				
2037 ↓ 2165.9		+ gris - gris-vert loc. grenu.					

Profondeur	Roche	Granulométrie et Couleur	Structure Secondaire	Texture et Structure	Altération	Minéralisation	Remarque
2156.9- 2157			Vcc avec éponte supérieure grise lessivée, ép. inf. en blocs. ⊙ T. taux noirs en arg bâtonnets ass. aux Fact. ds. épontes w ou amph. ép. inf. 5'				
2164.6- de 2190-				graduellement magnétique fortement magnétique (loc. très mtg)			
2165.9- ≈ 2177		gris foncé			lég n	Al diss < 1%	
2171 2190				loc petits porphyres blancs j ou f ?			
2177		gris vert aph. phan			lég n		
2227.3 2228.2			inj. Vcc vaillp q épaisseur variable Al diss. 2-3%				

Profondeur	Roche	Granulométrie et Couleur	Structure Secondaire	Texture et Structure	Altération	Minéralisation	Remarque
2262			Unim cc py N HAC. pour n 2'				
2311 - 2370				30% Δ			
2342.2 - 2342.5			passage E, n. msq				
2413.5 - 2414			Vg cc chl, lameaux chl py < 1%, taches cp. 40° + 35° A.C. qtz. lig. grisâtre chl mince // contacts pipante inf. 0.1' : py fine diss. 2%.			py < 1% cp < 1%	
2433 - 2456.3		gris foncé				py en agglomérats ou en nubes 1-2%	

Profondeur	Roche	Granulométrie et Couleur	Structure Secondaire	Texture et Structure	Altération	Minéralisation	Remarque
à 2667 WB7-15	FIN DU TROU b → can à 1500'						

Profondeur	Roche	Granulométrie et Couleur	Structure Secondaire	Texture et Structure	Altération	Minéralisation	Remarque
2471.5- 2472.2			Vq cc w fil + arg. py + Rx lessivé. q blanc à gris-clair 50° A.C.			py < 1%.	
2473.4			<p>ripantes gricâtres très lessivées, fractures remplissage chl sup : 2' inf : 2.5'</p> <p>Vq < 1cm cp. tr.</p>				<p>phan. loc aph. 2D. loc Δ Vennete α</p>
2592.5- 2592.85			Vq cc V6 lessivé 30° A.C. épaisseur réelle .1'			py diss 2% cp. tr.	
2594.2 2595			Vq py cp q gen. laitex carotte en blocs			py < 1% cp < 1% petit minér. bleu-noir tr.	



Journal de Sondage

MAZARIN

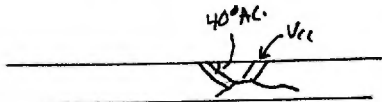
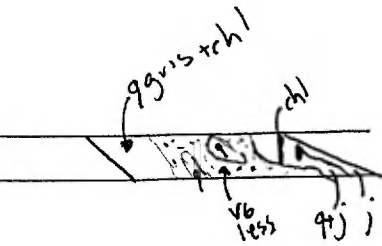
EXPLORATION

Coordonnées							1483 à
Forage no. W-87-15 B	Latitude:	Départ:	Elévation:	Pendage:	Azimat:	Profondeur: 2221'	
Localisation L 57100 W S 3100 N	Commencé le: 7-08-87 Terminé le: 13-08-87	Déclinaison -13° Magnétique	Diamètre de B.Q. la carotte	BUT DU TROU			
Projet Wilco	Province Qc.	Canton Royn	Blot 32	Rang VIII N	Claim c.m.265	Grillage	S.N.R.C. verne Wilco (cointage)

<u>Test à l'acide</u>				<u>Test au Tropari</u>		
<u>Profondeur</u>	<u>Pendage</u>	<u>Profondeur</u>	<u>Pendage</u>	<u>Profondeur</u>	<u>Pendage</u>	<u>Azm. Astronomique</u>
1500	83°			Phototest (en annexe)		
1600	79°					
1700	79°					
1800	78°					
1900	76°					
2000	76°					
2100	76°					
2200	76°					
Profondeur des coins:	1483					

Profondeur	Roche	Granulométrie et Couleur	Structure Secondaire	Texture et Structure	Altération	Minéralisation	Remarque
1483-	V6	vert à gris-vert aph - plan	veinules à mm localement veinillres.	●, loc ⊕	loc ∅, loc ∈ fréquemment chl noir sur plans de fracture. loc lés. n	py tr.	carotte loc. très grasseuse passages ∅: contacts?
1493.4- 1493.6			Vcc chl ∈ py 35° A.C.				
1496.7 - 1498			Passage ∈ recoupé de veinules q + veinules qcc hém. ép. sup. ∅, 1' py 100 ép. inf. lessivée, ∆, py 1/2 2', fract.				
1505.3 - 1506.7			Passage ∈, Vcc				
1506.7 - 1515			Nombreuses Vcc, carotte fracturée 1509-1511: fract // A.C.				
à 1510.6			Vcc q 1cm 15° A.C.				
à 1519.8			Vcc < 1cm 15° A.C. + hém.				
						py diss 1/2. ∅. ripantes	

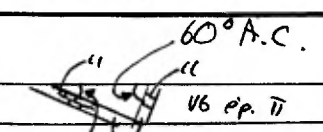
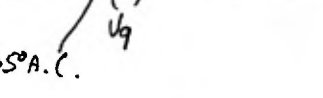
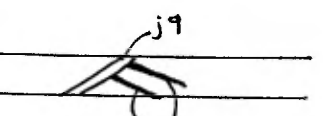
Profondeur	Roche	Granulométrie et Couleur	Structure Secondaire	Texture et Structure	Altération	Minéralisation	Remarque
1520.3- 1522.5			veinules irrégulières de cc rouillée, ch, q				
1524- 1525			Passage à q. cc, hém Δ, 15° A.C.				
1531.2- 1531.3			Vcc q, py encubés ds. échant. 190. 50° A.C.				
1533- 1536.3			veinules cc + E déformées (héris. plissées) mm - cm ≈ 40°-50° A.C.				
1542- 1542.6			Fract E cc hém. ≈ 15° A.C.				
1554.4- 1554.6				Δ, 1 boue recimentée?			
1555.6- 1555.7				bout 75° A.C.			
1557.1- 1557.5					φ ⁺		
1560.8- 1561.1					φ ⁺		
1581.1- 1581.5				Δ	φ ⁺		

Profondeur	Roche	Granulométrie et Couleur	Structure Secondaire	Texture et Structure	Altération	Minéralisation	Remarque
1584.3- 1593.3					∅		
1585.7- 1586.5			Passage & fract ve coupé de Vcc, 40°AC				
1588.7			U ecc 1cm, 40°AC				
à 1598			2x Vcc cm				
1619.5- 1624.1					leg. lessive		
1628.8- 1637					∅		
1634.3- 1634.8			Ug, cc, Rx less, chl g gns j blanc + jaunâtre py tr. contacts 40° + 20° loc. min. noir en bâtonnets mm. chl? amph? w?				
1665.1			∅ remplissage cc				
1679- 1687..				Nombreux passages ∅ + Fx au bordures V6 lessives, loc ∆		py en rubes < 1%	zone de contacts.

Profondeur	Roche	Granulométrie et Couleur	Structure Secondaire	Texture et Structure	Altération	Minéralisation	Remarque
1885			Vg rc chl py < 12 250 A.C. .05 - .1' épais.				
1700-1700.2			Vg gris + blanc lambeaux V6 j, py drss < 1% ass. V6, 60° A.C.				←
1714-1715				contact couleur V6 less, ds V6 et py en cubes < 1%.			
1742 -							
1743.7 - 1745					plans de fract loc hém. E		
1750.1 -		+pâle gris + grenu					
1756			veinule j chl hém py mm 30° A.C.				
1774.4 - 1776			5x V6 chl py tr, mm 50° AC				

Profondeur	Roche	Granulométrie et Couleur	Structure Secondaire	Texture et Structure	Altération	Minéralisation	Remarque
1782 - 1867 1795			Vg gris clair avec bord j \approx 1 cm \approx 40° AC.	Généralement magnétique ← Veine Wilco?			UG plutôt grisâtre
1795.1 - 1796.4			veinules q gris clair mm 150-250-400 AC. py tr.	↙			
1801.3 - 1837			veinules mm cc ± py ± hém.	"concentric cooling fractures" Alternativement \emptyset , \emptyset^+ et les.		py tr. loc 1%	
1839.6 - 1841			fract cc hém.	lessivé, loc ←			
1852.8 - 1853.3				D, fract \emptyset 250 AC. 1853.1 - 1853.3: boue recimentée? ou Δ contact inf hém.			
1859.3 - 1859.7			veinules q gns. j. chl, loc ← loc hém, py tr.				
1871.5 - 1872			Passage E, recoupi de Vj ^{thém} mm + veinules hém.				
1875.2 1876.2			veinules j chl		les. lessivé		
1877 - 1900						py < 1% ds. et ass. aux fractures	

Profondeur	Roche	Granulométrie et Couleur	Structure Secondaire	Texture et Structure	Altération	Minéralisation	Remarque
1890 - 1894.5				V6 lessivé (devitrifié) + $\Delta + \Delta$			zone de contact de roches.
1910 - 1943			Nombreuses veinules j mm 1/2' 30° - 60° A.C.				
1922 - 1935			Fractures ≈ 11 A.C.				
1950.6 - 1985.7	(Δ ?)			Δ σ - σ + intercalée avec Δ , Fx + remplissage de q, loc Fx V6 lessivés, loc zones σ contacts 30° + 30° A.C.		loc py en torches	carotte grisâtre ressemble à Δ polys de 87-15 et au partie σ de Δ Fx V6 σ matrice σ + de 87-16.
1985.7 - 2007						py < 1%	
1985.7 - 2095					plans de fract \emptyset		
2026 - de 2035 2043-2044			Vj chl 0.5cm épointes Π , 40° A.C. loc Δ rempl. j.			py < 1%	

Profondeur	Roche	Granulométrie et Couleur	Structure Secondaire	Texture et Structure	Altération	Minéralisation	Remarque
2054.4- 2054.6			2x Vg clair, cc, ép. II, cm.				
2055.6			Vccg 2mm 55°A.C. avec Vchlpy ⊥				35°A.C. 
2072.3			Vccg ép. II 40°A.C.				 chlverte rpy.
2083.3- 2204				généralement magnétique			
2089.7- 2089.9			Δ matrice j rouille!				
2095.4			Vg clair irrég. ne traverse pas la carotte				
2100.2			veinule j mm épantes II, 45°A.C.				
2106.2- 2106.6			Δ matrice c.c.				
2121.3- 2122.3			Δ Gros Fx V6 II ds matrice cc				

Profondeur	Roche	Granulométrie et Couleur	Structure Secondaire	Texture et Structure	Altération	Minéralisation	Remarque
2149.5			Vcc q 3mm épanches 11, 40°A.C.				
2165 - 2221		les + granu.					
2171.3			Vcc q 3mm 30°A.C. 17 tr.				
2210 - 2212			fract 11A.C.				
à 2221:	Fin du	trou					

ANALYSE DES CAROTTES DE FORAGE: SULFURES

Unité	N° Echantillon	De <i>PIEDS</i>	à <i>PIEDS</i>	Longueur <i>PIEDS</i>	ANALYSES							MOYENNE PONDERÉE								
					Estimée		% Cu	% Zn	Ag ppm	Au ppb	% Fe	Gold CHECKS	De	à	Longueur	% Cu	% Zn	Ag ppm	Au ppm	% Fe
					Cu	Zn														
	5495	262.5	264.0	1.5						25										
	96	268.8	271.0	2.2						30										
	97	306.7	308.5	1.8						7										
	98	323.3	325.4	2.1						64										
	99	334.9	338.2	3.3						18										
	5500	338.2	343.1	4.9						200										
	5573	343.1	348	4.9						16										
	5574	348	352.9	4.9						30										
	5575	352.9	357.5	4.6						16										
	5576	357.5	360.5	3.0						14										
	5577	360.5	363.2	2.7						35										
	5578	363.2	367.6	4.4						18										
	5579	367.6	370.8	3.2						16										
	5580	377.0	381.9	4.9						30										
	5581	381.9	386.7	4.8						16										
	5582	386.7	391.5	4.8						23										
	5583	391.5	396.4	4.9						28										
	5584	398.9	402.8	3.9						16										
	5585	402.8	405.6	2.8						9										
	5586	405.6	409.6	4.0						30										

ANALYSE DES CAROTTES DE FORAGE: SULFURES

Unité	N° Echantillon	De pieds	à pieds	Longueur Pieds	ANALYSES							MOYENNE PONDERÉE									
					Estimée		Cu ppm	Zn ppm	Ag ppm	Au ppb	% Fe	Gold check	De	à	Longueur	% Cu	% Zn	Ag ppm	Au ppm	% Fe	
					Cu	Zn															
	5705	1232.4	1235.5	3.1						29											
	5706	1235.5	1237.0	1.5						21											
	5707	1237.0	1239.9	2.9						28											
	5708	1239.9	1243.8	3.9						23											
	5709	1251.3	1253.0	1.7						18											
	5710	1259.7	1262.4	2.7						85											
	5711	1266.0	1267.4	1.4						37											
	5712	1284.2	1287.0	2.8						48											
	5713	1303.4	1307.3	3.9			176	186		14											
	5714	1307.3	1309.8	2.5			46	272		18											
	5715	1309.8	1312.2	2.4			11	285		18											
	5716	1312.2	1314.5	2.3			9	272		16											
	5717	1314.5	1317.0	2.5			12	296		14											
	5718	1317.0	1319.1	2.1			6	256		21											
	5719	1319.1	1321.6	2.5						14											
	5720	1321.6	1324.0	2.4						18											
	5721	1324.0	1326.7	2.7						18											
	5722	1326.7	1329.2	2.5						16											
	5723	1329.2	1331.7	2.5						16											
	5724	1331.7	1334.0	2.3						12											

W87-15

ala

MAZAM

ANALYSE DES CAROTTES DE FORAGE: SULFURES

Unité	N° Echantillon	De mètres	à mètres	Longueur mètres	Estimée		ANALYSES						MOYENNE PONDÉRÉE							
					Cu	Zn	% Cu	% Zn	Ag ppm	Au ppm	% Fe	Gold	De	à	Longueur	% Cu	% Zn	Ag ppm	Au ppm	% Fe
												check								
	5764	1798.8	1800.2	1.4						55										
	5381	1800.2	1801.2	1.0						.15 on/T										
	5382	1801.2	1802	0.8						0.065 on/T										
	5383	1802	1802.7	0.7						.04 on/T										
	5384	1802.7	1803.6	0.9						183										
	5765	1803.6	1805.2	1.6						120										
	5766	1818.1	1819.6	1.5						30										
	5767	1819.6	1821.3	1.7						32										
	5768	1821.3	1825.4	4.1						32										
	5769	1825.4	1827.0	1.6						51										
	5770	1827.0	1828.9	1.9						28										
	5771	1842.5	1844.1	1.6						589										
	5772	1844.1	1845.5	1.4						1379										
	5773	1845.5	1848.0	2.5						101										
	5774	1848.0	1852.9	4.9						41										
	5775	1852.9	1855.4	2.5						41										
	5776	1855.4	1857.3	1.9						92										
	5777	1857.3	1862.3	5.0						41										
	5778	1862.3	1864.5	2.2						37										
	5779	1864.5	1869.2	4.7						23										

W-87-15

12/02

ANALYSE DES CAROTTES DE FORAGE: GEOCHIMIE

Unité	No. Echant.	de	à	Longueur				SiO ₂	Al ₂ O ₃	FeO	MgO	CaO	Na ₂ O	K ₂ O	TiO ₂	P ₂ O ₅	MnO	CO ₂	S	H ₂ O-	LOI	Cu	Pb	Zn	Ni	Co	Ag	Au
				%	%			%	%	%	%	%	%	%	%	%	%	%	%	%	%	%	%	%	%	ppm	ppm	ppm
	4610	18	40	✓			52.8	13.08	9.88	3.08	5.04	4.60	0.08	1.32	0.11	0.33	7.59	0.11	1.61	9.31	46	13	138	20	32	1.4	6	
	4611	103	125				52.0	13.19	11.76	5.54	5.92	3.31	0.09	1.83	0.11	0.18	4.49	0.74	0.01	5.09	37	11	134	23	39	1.3	6	
	4612	205	230				58.0	13.52	9.96	3.15	4.94	4.76	0.07	1.63	0.05	0.28	2.64	0.50	0.01	3.10	33	10	106	17	33	1.0	11	
	4613	300	325				53.1	13.16	11.99	5.46	5.53	3.30	0.10	1.74	0.05	0.17	2.94	0.56	1.12	4.62	80	12	235	31	42	1.4	8	
	4614	415	440				55.5	13.39	12.15	4.90	3.99	3.71	0.15	1.69	0.16	0.14	2.30	1.73	0.01	4.01	72	12	1100	24	39	1.4	10	
	4615	520	545				57.6	13.65	11.43	4.21	3.42	3.69	0.13	1.68	0.16	0.13	1.52	1.43	0.67	3.62	61	11	252	18	33	1.3	8	
	4616	639	664				52.7	13.16	12.35	5.46	7.77	3.05	0.22	1.52	0.05	0.19	1.98	0.50	0.38	2.86	88	9	79	28	37	1.0	5	
	4617	696	719				57.6	13.22	10.42	5.14	5.88	2.83	0.40	1.20	0.05	0.15	1.54	0.03	1.34	2.91	68	9	96	27	28	1.0	7	
	4618	786	811				51.6	13.48	12.68	6.54	6.31	2.53	0.24	1.34	0.13	0.18	2.28	0.32	1.95	4.55	80	12	141	33	38	1.3	9	
	4619	944	969				57.1	13.07	11.44	4.26	4.56	2.93	0.12	1.56	0.07	0.15	1.86	0.91	0.95	3.72	62	13	234	19	35	1.4	7	
	4620	1035	1060				57.6	13.30	11.66	3.52	4.59	4.55	0.19	1.54	0.11	0.16	1.38	0.32	0.58	2.28	45	9	159	15	29	1.0	6	
	4621	1130	1155				55.4	13.56	11.69	3.97	4.69	3.87	0.08	1.41	0.13	0.14	2.78	0.56	0.97	4.31	44	12	216	17	39	1.4	6	
	4622	1267	1292				56.8	13.24	11.90	4.20	4.77	3.02	0.21	1.53	0.08	0.14	1.50	0.67	1.10	3.27	31	12	208	17	38	1.2	6	
	4623	1363	1388				57.5	13.19	10.98	4.34	5.83	2.75	0.20	1.51	0.11	0.14	1.36	0.38	1.18	2.92	26	9	158	13	29	1.0	5	
	4624	1420	1445				57.5	13.36	10.99	3.58	4.95	4.10	0.32	1.43	0.13	0.14	1.96	0.32	0.76	3.04	43	9	117	16	35	1.1	7	
	4625	1530	1545				57.6	13.73	10.61	3.75	3.99	4.10	0.17	1.74	0.07	0.13	1.68	0.44	1.31	3.43	32	10	119	17	36	1.1	9	
	4626	1628	1653				55.9	13.05	10.74	4.77	6.44	2.72	0.14	1.32	0.07	0.14	2.67	0.09	1.73	4.49	33	9	105	20	30	1.1	5	
	4627	1775	1800				56.4	13.34	9.69	4.11	6.54	3.09	0.21	2.24	0.04	0.14	2.30	0.09	1.53	3.92	40	8	91	19	29	1.0	5	
	4628	1912	1937				54.9	13.37	10.24	4.24	5.64	3.45	0.46	1.45	0.11	0.13	3.80	0.21	1.61	5.62	17	10	114	15	29	1.1	5	
	4629	1982	2007				57.6	13.25	10.93	3.60	5.81	3.20	0.48	1.35	0.11	0.17	1.68	0.21	1.29	3.18	41	9	149	16	32	0.9	6	



Journal de Sondage MAZARIN EXPLORATION

Coordonnées							
Forage no. W-87-16	Latitude:	Départ:	Elévation:		Pendage: 62°	Azimut: 10°	Profondeur: 2169'
Localisation L 15140 W S 211+10 N	Commencé le: 21-07-87 Terminé le: 13-08-87	Déclinaison -13° Magnétique		Diamètre de B.Q. la carotte		BUT DU TROU Faille Horne Cree K + contact V2 □ / V9-V4	
Projet	Province	Canton	Blot	Rang	Claim	Grillage	S.N.R.C.
W.1co	Qc.	Rouyn	31	VIII N	c.m.265		

Test à l'acide				Test au Tropari		
Profondeur	Pendage	Profondeur	Pendage	Profondeur	Pendage	Azm. Astronomique
10'	62°	800'	56°	1700'	35°	9°
100'	62°	900'	55°	1800'	33°	
200'	61°	1000'	50°	1900'	31°	
300'	60°	1100'	48°	2000'	33°	
400'	59°	1200'	44°	2100'	26°	
500'	59°	1300'	42°			
600'	57°	1400'	41°			
700'	57°	1500'	40°			
		1600'	37°			
Profondeur des coins:						

Profondeur	Roche	Granulométrie et Couleur	Structure Secondaire	Texture et Structure	Altération	Minéralisation	Remarque
0-10	V6	aph - plan vert bout. loc grisâtre	recoupr de Vec m $\approx 1/1'$	Recouvrement	les η		bordures de \ominus généralement à faible A.C.
10 - <u>905</u>				$\ominus + \ominus$, avec loc Δ entre ks \ominus , loc \ominus , généralement magnétique gns-bleu - fortement magnétiques + dures. \ominus loc étirés, contiennent q'cc chl + mt? pytr cp tr.			
24				environ 1' de roquette en blocs			
27.6				environ .5' de roquette en blocs			
30.4				Uqcc chl .15' épais.			
30.6-32.4				\ominus , bordure de coulée			
34-47				Magnétique			
38-38.4				ϕ , \boxplus en bandes, zone de contact			
38.4-39				lessivé			
44-47.3				\ominus			
47 \approx 310	loc mt						
64-66.6	veinules cc \perp au contacts	contacts ϕ au coulées avec bordures bleues magnétiques 20° A.C.					
75.5-77		Δ , les \neq	les lessivé, η				

Profondeur	Roche	Granulométrie et Couleur	Structure Secondaire	Texture et Structure	Altération	Minéralisation	Remarque
78.3-78.5			Vq cc chl py 55°A.C.			py 1%	
81.6-81.8			Uq chl cc py éponge inf $\Delta + n$ 75°A.C.		chl noire sur éponge.	py < 1%	
91-98.2				une rouée, chaque bordure lessivée, dure avec \odot remplis de qtz + mt? (forme dur) + \odot qj ↳ (q + chl?)			
98.2-98.4			Uq cc \in , 40°A.C.				
98.4-105				taches noires (xiaux ou \odot) mais Rx pas lessivée.			
105-106				bord \odot ou rouée \approx A.C.			
113-114.5				contacts \odot , Δ			
125.6				bord. \odot			
131-239			+ fract, + veinules cc	loc pseudo- \square , lattes réagissent à HCl 30%, j'ai f n			
137				bord. \odot			
142-143				carotte en blocs			
145.4				bord. \odot			
151				" \approx 11 A.C.			
156.6				" 35°A.C. ou rouée			
160-2348							
à 160					→ n		

Profondeur	Roche	Granulométrie et Couleur	Structure Secondaire	Texture et Structure	Altération	Minéralisation	Remarque
161.7- 162.4				$\Delta \phi$, Uq cc déformées.	ϕ, η		
182- 197.7			nombreuses inj cc + inj q cc de direction var.	Rx déformés, \neq cavotte loc. en blocs.	loc lessivé	py tr.	
180.6- 189			Uq cc, filets chl verte + w en bâtonnets			py 1%	
203.1- 203.3			Uq cc lambeaux Rx ϕ , 30° A.C. irrégulière				
223.5- 223.7			Uq cc ep. T, 40° A.C.				
229.6- 230.7			injs cc q de dir. var.			py < 1%	
232- 239					loc. zone $\phi \eta$ (Δ ?)		
264.4- 264.8				petites lattes ou aiguilles ou η , contacts francs. 25° + 45° A.C.			
226-227				Δ , matrice j contient fx ang à arrondis de 1/6 cm			
234.8- 290.2				bord ϕ ou roulée mt, fauente	→ lig η		

Profondeur	Roche	Granulométrie et Couleur	Structure Secondaire	Texture et Structure	Altération	Minéralisation	Remarque
291.7- 292.2				Remplissage inter- \emptyset fx V6 en ds. mature j. py interstitielle		py $\leq 1\%$	
294-295				bord. \emptyset au roulee mt r centre $\in \approx \parallel$ A.C.			
302.9- 303.4				zone Δ , inj q cc \in			
317-320.2				lessiv.			
318.7-319.1			passage Δ , V6 less. remplissage cc.				
324.2- 324.45			Vq cc lambeaux V6 less py $< 1\%$, 35° A.C.			py diss. en bande // aux contacts.	
337-337.6							
346.6-346.7			inj. q cc, V6 \neq py tr. V6 cc 50° A.C.				
359- 372.7			Passage \in	Altération graduelle et variable \emptyset qtz chl loc cptr., loc Δ Magnétique	\in		
376.6 -							
385.2- 385.4			Vcc chl q py $< 1\%$ 40° A.C.				
386.9- 387			passage \in cc, q, py $< 1\%$	45° A.C.			

Profondeur	Roche	Granulométrie et Couleur	Structure Secondaire	Texture et Structure	Altération	Minéralisation	Remarque
392.1- 395.6			Passage E loc A inj q, cc, loc Ø.		E	py < 1%	
400.7- 401.5			Passage E		"		
403.4- 405			Passage E. (apparence E interst.)		"		
406-406.4			Passage E + lessiv		"		
407-411.4			Passage E loc chl. noir		"		
414.6-414.7			Vcc : ep. less. 30° A.C.		"		
419.6- 420.5				zone A, micro-faillites deplacent bandes E			
419.6-419.7			Vs cc + q, k's. boudinées, 30° A.C.				
446- 485.5				○ cc + q + ○ q + chl ○ de 1-5%	loc. Ø		
456.8- 457			Vcc + chl + hém + py piontes lessiv ≠ 25° A.C.				
461-				k's ≠.			464' : 30° A.C.

Profondeur	Roche	Granulométrie et Couleur	Structure Secondaire	Texture et Structure	Altération	Minéralisation	Remarque
520			2 x Vcc, q, chl, .1' 35° + 50° A.C.				
544.5			Vcc q 40° A.C.				
546.7			Vcc q, chl, V6 ± less, chl. naïve, mt .1' épais, 30° A.C.				
572.5			" , .15' épais 40° A.C.			py tr.	
573-685.2				succession de roches aux coeurs plus grenus que les bordures, \odot épaisseur moyenne: 10-15', 2D?	loc chl none sur plans de fract. loc. hrm. sur plans de fract.		
586.9- 587.1			Vcc chl q mt py hrm 40° A.C.			py < 1%	
596.7- 596.8			Vcc chl mt 50° A.C.			py tr.	
599.9- 600.6			Vq cc chl 20° A.C.	en blocs		py 2%	

Profondeur	Roche	Granulométrie et Couleur	Structure Secondaire	Texture et Structure	Altération	Minéralisation	Remarque
685.2- 761.5 -----		V6 vert à gris-vert		<p>⊙ démontrant texture fortement * . * sont composées de matériel siliceux très dur vert pâle, entouré d'une bordure grise consistant de magnétite microcristalline, le tout entouré d'une mince bordure blanche (silice ?). Ds. certains cas (semble-t-il + altérés) la magnétite va jusqu'au cœur de la *</p> <p>* généralement de .5-1cm, sont arrondies, localement + allongées. * individuelles laissent dans matrice ϕ + molle et coalescent graduellement ds une masse silice + mt + chl qui devient graduellement V6. ou du moins apparence ⊙</p> <p>* la. fracturées</p> <p>* ds. matrice ϕ</p> <p>⊙</p> <p>* coalescentes</p> <p>* ds. matrice ϕ</p>			<p>* = varioles.</p> <p>bandes de * représentent contacts ⊙ ou roulées ?</p> <p>note : * coalescentes: peu ou pas de matrice</p>
685.2- 685.9							
685.9- 687.4							
687.4- 692							
690.6-690.8							


Profondeur	Roche	Granulométrie et Couleur	Structure Secondaire	Texture et Structure	Altération	Minéralisation	Remarque
692-693.8 693.8-695 695-710 710-710.6 710.6-715.5 715.5-722 722-723.6 à 723.5 723.6-726.5 726.5-735 729-729.4 735-752 742.1				<p>●</p> <p>* coalesc.</p> <p>Généralement ●</p> <p>* coalesc.</p> <p>* individuelles loc. en bandes coalescentes ds. matrice ∅</p> <p>△ ? matériel ∅ démontrant textures de divittrification contenant Fx + passages ε et quelques sphérulites</p> <p>* ind. + coalesc. ds matrice ∅</p> <p>●</p> <p>alternance de * individuelles ds matrice ∅ et coalescentes. loc △ ds matrice ∅</p> <p>△, Fx ε, σ, recouverts par Vcc + Vchl.</p> <p>●</p>			<p>stage initial de * ?</p> <p>petite veine py 50% < 1cm.</p>
			Vcc, chl, V _{chl} , 2cm épais à 50 A.C				

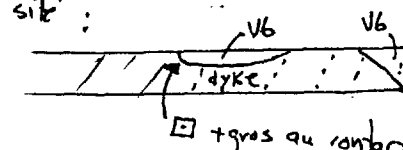
Profondeur	Roche	Granulométrie et Couleur	Structure Secondaire	Texture et Structure	Altération	Minéralisation	Remarque
743.55- 743.6			Vg cc chl 70°A.C. rejetée par petite faille?				
744.45- 744.6			Vg cc chl ← N ± A.C.				
752- 753.9				grosses * à bordures floues dans matrice ∅			
753.9- 754.5				○			
754.5 757.1				* coalesc.			
757.1- 761.5				○, vert pâle, assez dur, consiste peut-être de * ○			
761.5- 776		V6 vert? + grenu au dyke		xtraux ou tâches chl ds. matrice ∅ + n, ≠ (remplissage?) contacts Francs.: 45° A.C. 550 A.C.	n, ∅		texture léopard
776- 905		V6 vert aph-phan		○, ○, magnétique. (comme avant passe *) avec loc passages + bleutés + σ → zones de * coalesc	loc n		
776.7- 777			Vcc q chl 30°A.C.				

Profondeur	Roche	Granulométrie et Couleur	Structure Secondaire	Texture et Structure	Altération	Minéralisation	Remarque
905 905- 986.4	V6 loc Δ	vert à gris vert aph à fin.	Vcc faible angle A.C.	lés ≠, contenant passages siliceux (loc. peut-être origine ±?) + Fx siliceux fracturés. orientés par ≠.	loc φ+		
986.4- 996.3	Dyke ?			☐ chl ds matrice blanchâtre, ≠. contact sup. franc: 60° A.C. " graduel?			ressemble un peu au dyke? à 761.5
993 993- 994.5				boue de fritte 1cm 30cm. zone fuchsitique, Vq, déformée.			
996.3- 1313.6	Zone hétérogène Généralement V6		Vqj déformés. loc. boudinés.	V6 chloriteux légèrement à définitivement usillé contenant passages lessivés et Fx et/ ou passages felsiques bases localement fracturés. Fractures loc. remplies de j chl. Ex découpé par chl + K beige à jaune.	lessivé, σ?		graduellement + fracturé et plus felsique avec profondeur. schistosité (fract rempl. mica) irrégulière. (Fract ds. diff. directions mais une direction prédomine)
1021.5- 1022 1038.9- 1039.6			Vq cc w	Passage felsique beige, fract. Vq contacts francs: dyke? py < 19%			Note: passages chloriteux bord. de routes au Ø?

Profondeur	Roche	Granulométrie et Couleur	Structure Secondaire	Texture et Structure	Altération	Minéralisation	Remarque
1040				2x bandes .1' sphérolitiques mm bord \odot ?			
1088 ↓				+ gris (+lessive?).			
1091.4- 1092.2			Vg gris + cc w ry < 1%				
1096.4- 1099.2	Dyke ?	grnu		\square chl et bandes ds maturo vert pâle à blanche, déformé			
1104.6- 1105.1			Vg				
1164.5 ↓				+ \neq , + lessive.			
1260.9- 1284.7	Dyke	vert pâle grnu.		\neq	Kjaune + chlorite \pm fuchsité.		
1284.7- 1289			inj g, cc, loc filets fuchsité				✓ 1300' : 45° A.C. 1308' : 30° 1312' : 30° + 35°

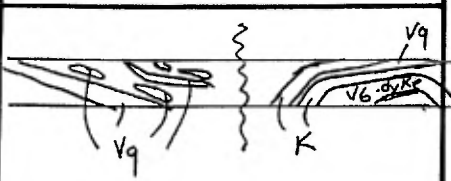
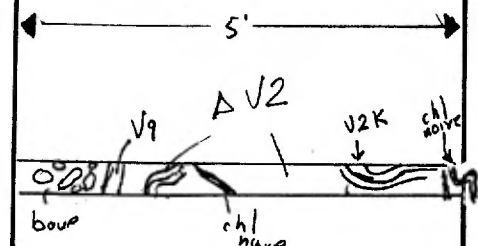
Profondeur	Roche	Granulométrie et Couleur	Structure Secondaire	Texture et Structure	Altération	Minéralisation	Remarque
1313.6- 1589.7	V6	fin à moyen vert-gris à gris-bleu loc. mauve.		gen. $ls \neq loc \neq + \Delta$ compose surtout de chlorite+q (+f+j?) + loc <u>taux</u> métalliques foncés (non magnétiques loc alt à Lx. hémi-ill. recoupe de dykes β (vert clair loc fuchsité) + α $ls \neq \alpha \neq$	Loc Lx, loc $ls \eta$	py < 1%	jusqu'à 1338: passages K loc TT : py fine diss. 1-2%
1313.6- 1320							
1320- 1338.7				$\neq \alpha \neq + loc \Delta$ (Pseudo Fx dérivée par \neq) K base très Δ et filets chl noire près du contact Passage lessive; berse (K?)	loc K		
1330.6- 1331.1				Passage lessive contacts diffus épointés d'une Uqjw \approx 1cm. aussi petites arêtes ^{noir. dur} ds. épointe inf.		py < 1%	
1334.1- 1334.7							
1338.7- 1376.7	Dyke? maigre	gr. moyen à grenu vert clair.	Us qj cm loc bandées. j rayé réagit à HCl 30% q + v	\neq , Grains de chl (amph alt?) + lentilles de q chl ds matrice + leucocrate à jaune + loc. fuchs contact supérieur franc, Δ , inf: zone de contact.			texture "leopard"

Profondeur	Roche	Granulométrie et Couleur	Structure Secondaire	Texture et Structure	Altération	Minéralisation	Remarque
1338.7- 1348.3				très \neq , Δ , nombreuses injections qj + Vcc, fuchsite prédominante			
1339 - 1340				inj qj + fuchsite + chlorite brûlissent pli ouvert.			
1342.8 - 1343.4 1356.3 - 1357			Vcc + q	carotte en blocs			
1343.7				mince banc // \neq 25° A.C.			
1376.7 - 1379.2 -----				zone de contact Rx guise \neq recouverte par K beige, loc passage α . Prédominance α ?			✓ 1317' : 50° A.C.
1379.2 ~ 1405.7 -----	Dyke α v2 ver de terre	beige aph.	138.4 - 1305.6: Vq : pyr. tr.	apparence homogène, \odot , en fait finement découpé par K beige zones K molles, autres dures \rightarrow pas K zones dures (pas alt) recouvertes par minces veinules q discordan- tes sur schistosité	K beige. loc. chl sur plans de fract.	Vq $<$ 10% cp tr. py au contact sup. enrobée de chlorite.	✓ 1328' : 45° A.C. 1402' : 45° A.C. contact supérieur \neq " inf: graduel

Profondeur	Roche	Granulométrie et Couleur	Structure Secondaire	Texture et Structure	Altération	Minéralisation	Remarque
1405.7- 1410.7	Transition			zone de contact transitionnel V2 beige graduellement + verdâtre puis passages B avec passages α intercalés.			
1417.5- 1422.6 -----	Dyke B? leop.	grenu. vert clair		\neq \square chl + lentiques			contact supérieur // schistosité contact inf irrégulier et discordant sur schisto- sité: 
1422.6 1443	V6		V9 cc py				
1448- 1453			V9 cc déformées q+	\neq , K	K, chl		
1453- 1463.6	V2 Δ ?	gris	V9j déformées.	Rx + α , \neq , K + chl, loc Δ <small>bandes grises aph. décapées par</small>	K grise loc brune		
1458.2- 1461.7 -----	dyke? B leop.	vert grenu	etr.	\neq			
1463.6- 1466.7 -----	dyke B? leop.			\neq			

Profondeur	Roche	Granulométrie et Couleur	Structure Secondaire	Texture et Structure	Altération	Minéralisation	Remarque
1466.7 - 1487.2 ----- 1487.2 ↓	V6	mauve-violet + grenu	recoupe Vgj loc. déformés	≠, homogène, loc. magnétique	hématisation ? couleur mauve-bleu	py < 1% ass. aux Vgj	probablement identique à l'unité principale sauf altération héim.
1520.1 - 1520.7		vert-gris bleu, loc teinte mauve	mj. qj. chl py < 1% Δ.		Lx bien développée.	cp tr. py tr. < 1% loc. en gros cubes	
1522 - 1527				+ ≠, + φ			
1530 - 1530.4			Vgfcc ± 25° A.C.				✓, 1533': 45° A.C.
1531.8 1540.7				≠. K	K, φ	py < 1%	
1549.4 - 1549.6				≠. mj q.			
1550.5 - 1553.6				≠. mj qj'	K	py < 1%	
1570.8 - 1571			Vgj ± 40° A.C.				

Profondeur	Roche	Granulométrie et Couleur	Structure Secondaire	Texture et Structure	Altération	Minéralisation	Remarque
1580-1581		+grenu.					^ 1592' : 50° A.C. 1597' : 35° A.C.
1584 ≈ 1587				loc Δ, Fx Vg + Rx drapées par K.			
1589.7 - 1591.9				Δ, faille ? // A.C. Fx ou Vg blanchâtres arrondis ds. chl noir, K brun + fuch? + à jaunir. Fx V6 en contact de faille avec Fx dyke lessivé contact // A.C. chl + fuchsité.		// (1) %	Note: ces dykes (?) sont toujours associés à des zones de Vg, Δ, ou contacts ou ≠ intens. dykes syn-tectoniques s'introduisant ds des plans de fractures et étant pris ds le ≠ ?
1591.9 - 1617 -	Dyke leopard	vert grenu		contact franc avec Δ de ≠ à tris ≠ (avec prof.) jusqu'à + (ségrégation minér. mafiques microris + fels. en bandes)			
1598.0 - 1598.9				loc Δ			Deformation cassante et ductile (Δ puis zone ≠) ou Δ est plus tardive que le ≠ puisque gradient de déformation n'augmente pas vers cette brèche mais plutôt vers les Vg qui sont suivies de bandes de faille.
1598.8 - 1604				Vg et filets chl noir intercalés de 3 boues de faille .1' - .8' cavette loc. en blocs.			

Profondeur	Roche	Granulométrie et Couleur	Structure Secondaire	Texture et Structure	Altération	Minéralisation	Remarque
1604 - 1617	dyke ??	vert + foncé grenu	nombreuses Vgj déformées, loc filés chl noire.	≠ ≠ + loc plissés cavotte loc en blocs contact inf. pas ds. Laite.	∅, loc. K, très loc fuchsite.		
1617-2169 1617-1621.3	V2 loc n V2 ?	noir, aphanitique	Vgj mm-dém, Vgj def. // ≠	dur, app. découpé par mica rose (K) /			ultramylonite ? Luhin, J.M, 1987. Communication personnelle.
1621.3 - 1633.3	V2	fin beige à vert loc vert foncé		≠ t, tt, bandes blanches à grises découpés par K chl. Zone plus foncée ! + B au ∅ ?	K, fu, chl. K: jaune, brun, brun-loc chl. noire. verdâtre		
1622.5 - 1625 + 1632.7 - 1633.3				pâte, a, moins découpé par mica, ou Vgj (?) (j. Fe)			
1633.3 - 1639.4				Faible, déformation intense base 1.2' : Fx V2 + Fx Vg arrond. ds matrice K chl boursé suivi de Vg. 3' suivi de Δ V2, Vg, K rose, loc filets chl noire, loc V2 saine pas K.			
1638.8 - 1639.4				bandes V2, K, plissées puis chl noire + K joint micro-plissées			

Profondeur	Roche	Granulométrie et Couleur	Structure Secondaire	Texture et Structure	Altération	Minéralisation	Remarque
1639.4-	V2	aph loc □ rose à gris à beige		app. ●, loc finement ≠ loc découpé par bandes K verdâtre	loc K, loc K ⁺ 1639.4-1646: hém, □		
1658- 1665 ---				Δ, feuille.	K ⁺ vert pâle.		
1658.2- 1659.9			Vg				
1659.9- 1660.1			bouff				
1660.1- 1660.5				carotte en blocs			
1660.5- 1660.8			Vg				
1660.8- 1661.4				pli			
1661.4- 1661.9			Vg				
1661.9- 1665				bouff			
1665- 1666.7				Fract, K rose + chl noire			graduellement - #, - K

LF C-054

FORAGE ... W 87-16...

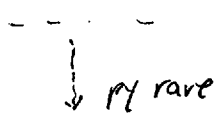
MAZARIN

Page ... 18/23

Profondeur	Roche	Granulométrie et Couleur	Structure Secondaire	Texture et Structure	Altération	Minéralisation	Remarque
1666.7- 1696.6	V2 ☐	beige à gris à rose aph.	loc fract. Vec mm jusqu'à 1674	Généralement ○, loc ≠ K Δ			
1669.4- 1670.1				≠ + loc Δ			
1671.4				carotte en blocs			
1674- 1679.8 contient ↓ 1677.5- 1678.5 et 1679.3- 1679.9		gris		altérée, contenant Fx + Vjg			+ altérée et déformée avec profondeur.
1679.9- 1696.6		beige- rose	Vqj: filets chl, Δ V.gj filets chl ≠	○, □, loc déformée par chl.			
1696.6- 1748.6	V2 Δ □ loc ∅		recoupée par qgcs veinules qtz clair ± cp.	V2 □ déformée par matrice grise à verte (chl), graduellement + Δ et + ∅. Fx mm sub-ang à arrondies, gén. cm. loc mm à dm. loc passages K, loc passages V2 ○	Matrice grise: ∅? Fractures loc. hém.	py + r.	Δ volcanique (Δ?)

Profondeur	Roche	Granulométrie et Couleur	Structure Secondaire	Texture et Structure	Altération	Minéralisation	Remarque
1707.7- 1714.3	Dyke ? léopard			lourdes ≠			
1735.4 1736.8			Vg filets + Px ch + fu filets chl noire à l'éponte int. contacts 35° + 25° A.C.				
1736.8 - 1740.9	Dyke léopard			épontes à gr. fin. contacts 25° + 50°			
1740.9 - 1748.6				filets de chl. bandes K verdâtre			
1748.6 - 1871.6 ---	V2 □			□ q vonds mm ds matrice dure brise à rose, loc. recoupi de filets chl noire : texture marbrée loc Δ	loc. décap. bandes K verdâtre (fract)	py t-	ou K verte : 1699' : 35° + 60° A.C. 1706' : 50° 1747' : 50°
1820 - 1845.5				+ filets chl, app. + marbrée			
1820.4 - 1820.9			Vg gris op tr.				dyke chl ? source de

Profondeur	Roche	Granulométrie et Couleur	Structure Secondaire	Texture et Structure	Altération	Minéralisation	Remarque
1837.2 1861		orange			hématisation graduelle avec [] ↑ de 1843-1850		
1845.8 - 1848.8	dyke			gns-vert foncé, bord. aph. bord. inf. alt jaune verdâtre + fu.			probablement = léopard mais plus fin, plus foncé: source d'hématite.
1863.5 - 1871.5		gris			∅?		
1871. 1895.4 ----- 1872.9 1875.7		gris		Δ, ∅, fx V2 beiges à roses ds matrice gns, passages ●	∅ loc - ∅		
1884 - 1892	dyke?	vert gris aph-phan.	Urnules + nodules	●, mou, grains de qtz + torhos contact inf. K. (boue?) chl		py tr	n'a pas ^{vraiment} l'allure léopard. mais pourrait être même type
1895.4 - 2045 -	V2 □	aph □, mauve loc. berst	loc. recouvert de fract chl.	Généralement ●, □, loc Δ très localement magnétique	Généralement hématite	py tr. ass. aux fractures.	
1922 - 1938 1930.4 - 1931.3		beige		Vq, K, chl noire py SiO ₂ grosse			

Profondeur	Roche	Granulométrie et Couleur	Structure Secondaire	Texture et Structure	Altération	Minéralisation	Remarque
1938 - 1947.5	U2	beige loc vert	inj q f? cc pytr.	☐ comme plus haut mais pas hématise' loc. faiblement chloritise'	∅		
2018.8 - 2019.3							
2045 - 2169							
2145.6 - 2145.9							
2064 - 2065							
2065.6 - 2066.1							
2066.6 - 2066.9							
2067.5 - 2137							

Profondeur	Roche	Granulométrie et Couleur	Structure Secondaire	Texture et Structure	Altération	Minéralisation	Remarque
2150-2156				loc. Fx.	lés. hém.		
à 2169	FIN DU TROU						
Tubage	laissé en place						

ANALYSE DES CAROTTES DE FORAGE: GEOCHIMIE

Unité	No. Echant.	de	a	Longueur				SiO ₂	Al ₂ O ₃	FeO	MgO	CaO	Na ₂ O	K ₂ O	TiO ₂	P ₂ O ₅	MnO	CO ₂	S	H ₂ O-	LOI	Cu	Pb	Zn	Ni	Co	Ag	Au
				%	%			%	%	%	%	%	%	%	%	%	%	%	%	%	%	ppm	ppm	ppm	ppm	ppm	ppm	ppm
	4637	10	35					53.3	12.35	9.89	4.46	6.59	3.63	0.35	1.71	0.14	0.19	5.11	0.52	1.01	6.64	70	11	86	21	43	1.1	6
	4638	100	125					53.4	13.60	10.55	5.14	5.60	4.04	0.07	1.84	0.13	0.19	3.31	0.74	0.43	9.54	58	9	89	22	42	0.9	5
	4639	200	225					51.9	12.12	10.72	4.45	7.10	2.58	0.78	1.36	0.17	0.20	6.05	0.40	1.64	8.09	52	10	73	22	40	1.2	5
	4640	320	350					53.4	12.74	10.18	4.96	5.88	4.08	0.06	1.84	0.13	0.18	3.75	0.74	1.36	5.85	71	11	94	26	46	1.2	5
	4641	420	450					56.0	12.57	9.18	4.48	6.07	3.90	0.06	1.91	0.11	0.17	3.13	0.69	0.88	4.70	56	10	97	25	45	1.0	6
	4642	500	530					53.6	12.45	10.90	4.06	6.72	4.06	0.06	1.79	0.11	0.21	3.22	0.69	1.30	5.21	40	10	94	21	43	1.8	6
	4643	590	615					52.9	11.96	12.09	3.34	6.98	4.14	0.05	1.81	0.14	0.22	3.89	0.74	0.76	5.39	45	11	91	17	43	1.1	5
	4644	680	705					52.6	14.21	10.29	4.48	5.94	4.81	0.15	2.19	0.13	0.20	2.55	0.92	0.49	3.96	57	9	107	18	40	0.9	5
	4645	761.5	1284				rich. dy Kes.	38.6	9.93	7.57	11.72	11.12	0.73	0.87	0.58	0.23	0.16	5.01	0.01	13.44	18.46	18	15	62	301	41	1.2	7
	4646	800	825					51.8	13.00	9.96	4.44	6.69	4.90	0.14	1.88	0.14	0.19	3.70	0.92	1.07	5.69	62	11	91	36	51	1.2	6
	4647	950	975					54.2	12.83	8.37	6.98	4.02	3.10	0.84	1.43	0.16	0.15	1.27	0.23	5.98	7.48	76	10	71	24	32	1.0	5
	4648	1000	1025					48.9	12.74	10.06	5.35	5.88	2.57	1.79	1.88	0.11	0.18	3.84	0.86	4.84	9.54	68	11	113	28	46	1.1	7
	4649	1117	1143					52.0	13.03	9.11	4.88	5.29	3.97	0.96	1.82	0.20	0.14	4.00	1.26	3.05	8.31	63	13	107	33	53	1.4	9
	4650	1225	1255					47.6	13.03	8.49	5.39	7.17	0.60	2.73	1.48	0.20	0.13	6.28	0.57	5.66	12.51	84	13	85	50	45	1.2	6
	6351	1316	1338					48.5	11.95	8.26	5.79	7.53	0.73	2.06	1.12	0.20	0.15	8.60	0.46	4.01	13.07	84	13	111	51	49	1.4	21
	6352	1338	1466				rich dy Kes	43.5	7.41	6.96	11.77	14.24	0.77	0.55	0.53	0.29	0.19	8.42	0.01	5.19	13.62	13	16	64	386	43	1.3	7
	6353	1425	1450					53.8	10.48	10.40	4.52	6.05	0.74	1.01	1.56	0.20	0.15	3.11	0.74	6.41	10.26	47	11	93	35	46	1.2	9
	6354	1497	1522					57.2	11.67	11.40	4.13	5.71	2.82	0.70	1.60	0.11	0.14	3.24	0.90	0.36	4.00	39	9	77	19	43	1.1	9
	6355	1592	1740.9				rich dy Kes	35.8	8.78	7.93	10.70	12.61	0.79	0.71	0.61	0.29	0.18	5.01	0.01	16.44	21.46	15	17	82	269	47	1.5	6
	6356	1666	1696					68.8	8.96	3.42	1.76	5.44	0.92	1.45	0.32	0.23	0.16	3.24	0.01	5.11	8.36	7	4	51	14	10	0.3	6

ANALYSE DES CAROTTES DE FORAGE: SULFURES

Unité	N°Echantillon	De pieds	à pieds	Longueur pieds	ANALYSES								MOYENNE PONDERÉE							
					Estimée		% Cu	% Zn	Ag ppm	Au ppb	% Fe	Gold check	De	à	Longueur	% Cu	% Zn	Ag ppm	Au ppm	% Fe
	5891	730.3	733.3	3.0						27										
	5892	741.9	743.7	1.8						9										
	5893	743.7	745.1	1.4						9										
	5894	776.0	777.6	1.6						2										
	5895	790.3	791.5	1.2						2										
	5896	868.7	870.1	1.4						N.D.	N.D./N.D.									
	5897	902.1	904.9	2.8						2										
	5898	992.6	993.4	0.8						N.D.										
	5899	993.4	994.4	1.0						N.D.										
	6101	994.4	996.7	2.3						7										
	5900	1019.7	1021.2	1.5						64										
	5901	1021.2	1022	0.8						2										
	5902	1022	1023.4	1.4						N.D.										
	5903	1038.6	1039.9	1.3						2										
	5904	1091.5	1092.4	0.9						N.D.	N.D./N.D.									
	5905	1104.4	1105.1	0.7						7										
	5906	1129.1	1131.3	2.2						5										
	5907	1152.7	1154.0	1.3						N.D.										
	5908	1157.0	1158.6	1.6						2										
	5909	1183.6	1185	1.4						2										
	5910	1213.2	1217.8	3.2						2										

ANALYSE DES CAROTTES DE FORAGE: SULFURES

Unité	N° Echantillon	De pieds	à pieds	Longueur pieds	ANALYSES							MOYENNE PONDÉRÉE								
					Estimée		% Cu	% Zn	Ag ppm	Au ppb	% Fe	Gold checks	De	à	Longueur	% Cu	% Zn	Ag ppm	Au ppm	% Fe
					Cu	Zn														
	5951	1441.9	1448.0	6.1						32										
	5952	1448.0	1453.0	5.0						30										
	5953	1453.0	1456.0	3.0						35	37/32									
	5954	1456.0	1458.2	2.2						18										
	5955	1458.2	1461.8	3.6						18										
	5956	1461.8	1463.6	1.8						32										
	5957	1463.6	1466.7	3.1						23										
	5958	1466.7	1469.7	3.0						25										
	5959	1469.7	1474.2	4.5						23										
	5960	1479.4	1484.6	5.2						12										
	5961	1484.6	1487.2	2.6						21	18/23									
	5962	1487.2	1490.0	2.8						18										
	5963	1503.6	1505.4	1.8						14										
	5964	1509.4	1512.2	2.8						37										
	5965	1513.0	1515.5	2.5						12										
	5966	1519.6	1521.2	1.6						21										
	5967	1526.9	1529.2	2.3						32										
	5968	1529.2	1531.0	1.8						23										
	5969	1531.8	1535.5	3.7						23										
	5970	1535.5	1539.4	3.9						205										

W-87-16

ANALYSE DES CAROTTES DE FORAGE: SULFURES

Unité	N° Echantillon	De pieds	à pieds	Longueur pieds	ANALYSES							MOYENNE PONDÉRÉE									
					Estimée		% Cu	% Zn	Ag pp	Au pp b	% Fe	Gold checks	De	à	Longueur	% Cu	% Zn	Ag ppm	Au ppm	% Fe	
					Cu	Zn															
	5971	1549.1	1551.7	2.6						18											
	5972	1551.7	1552.1	0.4						16											
	5973	1552.1	1553.6	1.5						32											
	5974	1569.8	1574.8	5.0						23											
	5975	1584	1586.1	2.1						21											
	5976	1589.4	1590.7	1.3						30											
	5977	1590.7	1591.9	1.2						30											
	5978	1591.9	1595.8	3.9						25											
	5979	1595.8	1598.8	3.0						21											
	5980	1598.8	1599.9	1.1						21											
	5981	1599.9	1601.0	1.1						23		23/23									
	5982	1601.0	1602.4	1.4						21											
	5983	1602.4	1604.0	1.6						18											
	5984	1604.0	1610.0	6.0						30											
	5985	1610.0	1614.1	4.1						28											
	5986	1614.1	1617.0	2.9						25											
	5987	1617.0	1621.3	4.3						23		21/25									
	5988	1621.3	1622.6	1.3						28											
	5989	1622.6	1625.1	2.5						28											
	5990	1625.1	1626.1	1.0						21											

W-87-16

Profondeur	Roche	Granulométrie et Couleur	Structure Secondaire	Texture et Structure	Altération	Minéralisation	Remarque
0-30	Recouvrement						
30-2398.4	V6	aph-phn loc. + grenu vert. loc gris-vert	recoupe de veinules mm cc moyenne 1/5'	● + ○, △ ∅ au contact des ○ ou routes (ref CO) magnétisme intermittent et d'intensité variable. loc ○ cethim	loc ∈ généralement η	gen. py tr. △ : pyr cubes	→ CO indique un contact de ○ ou route, loc △, ∅ épaisseur des routes ou coussins variable:
30-95 30-179.1				Magnétique	η		
48.9-49.2				△, bord de chaque côte de CO ≈ 11A.C.			
54-55				lavette en boss, plans de fract ∅.			
58-59				"			
58 75.7-76 76.9			Vq V6 cc 1.5 cm 45° Vq cc chl 40° A.C. Vcc V6 q .1' 60° A.C.			py 2%, cp tr py fine 2% cp tr.	
86.2			veinule mm cc gchle py < 1% avec effet lessivant sur enaissan				

Profondeur	Roche	Granulométrie et Couleur	Structure Secondaire	Texture et Structure	Altération	Minéralisation	Remarque
87.4-90					leg. lessivé		
89.4				co, Δ			
92.1-92.5				co + remplissage qcc			
95-153				généralement pas magnétique			
97				co			
102.5-104.3			V6 Fracture, remplissage j.			py + cp tr py 1%	
100-135					chl sur plans de fract.		
112.6			Δ, Fx V6 sub ons à sub arrondis, mm - 3 cm ds. matrice cc qcc			py ds. V6 1%	
113-8							
113.8-113.9			Vgcc Franche, ss A.C. q laitex, clair au bord				
119.6-120.2				carotte en blocs			
119.6				boue de faille pour .1'			
124-124.2				Δ			~~~~~
125-133.2		vert pâle	(sauf Δ)			py 10%	

Profondeur	Roche	Granulométrie et Couleur	Structure Secondaire	Texture et Structure	Altération	Minéralisation	Remarque
124.6 - 125	△		Vcc + mt				
133.7 - 153.2				succession de △ φ contenant des Fx VG ± lessivés, loc dévitrifiés		py tr.	
153.2 - 229.2			Vcc + Vcc + F vers la base.	une épaisse couche: aphan aux bords, grad + grenu en allant vers le centre, △ aux 2 extrémités, faiblement à fortement magnétique	loc hem sur plans de fract.		
173.8			veinule irrégulière cc q mt py < 10% N 2 cm.				
179.1 - 231					l's. n		
190 - 207				veinules cc + F loc passages E (altérés par les veines)			
194 - 195				Passage E			
195.8 - 195.9				Veine q clair + cc recoupe passage E qui peut être déplacé par fracturés avec nématite (mais pas clair.			
						Vg .5 cm - 35° A.C. E 2 cm - 60° E q	

Profondeur	Roche	Granulométrie et Couleur	Structure Secondaire	Texture et Structure	Altération	Minéralisation	Remarque
215.4-215.8 229.2 -			Pass E + Vc	loc magnétique			
229.2				co			
231-296					n		
231.7 - 234.4				D Ex V6 déroulé par Vgter V6A	Ø	py 1-2%	
244							
246.1				co, Vs cc			
252 -			V cc h/m p 9 1cm, 30°A.C.				
5 4.7				co, D remplissage cc mt py			
257.4				co			
261.9				co			
264 - 387			veinules cc + veinules E+cc	co Ø ≈ 11 A.C.			
265.7 - 266.1			Passage E				
272.9-274			veines ≈ 1cm q tcc py	directions rimés.			

Profondeur	Roche	Granulométrie et Couleur	Structure Secondaire	Texture et Structure	Altération	Minéralisation	Remarque
276.2				co			
276.7 279				Fracture \approx // A.C. hématisée			
279- 280			V? q cc chl V6 py (ds Δ , co?)			py 1%	
286.5			passage ϵ 35° Ar 1.5 cm				
286.8			" 1 cm 40° Ar				
291.8- 293.1				Δ Δ avec Fx V6		n, ϕ	
296-337.2		généralement + yrenu		\odot (j), petites lattes de plaq?			
311-311.8			2 passages ϵ				
315.4-315.5			V ϵ				
315.8-316			V ϵ + q				
319.8				fract hém.			
329.3 \approx 333			Vchl. bord ϵ Vcc q hém ϵ \approx // AC.	(1'ans)	éponte ϵ		

Profondeur	Roche	Granulométrie et Couleur	Structure Secondaire	Texture et Structure	Altération	Minéralisation	Remarque
346.4				Fracture héim ++			
337.2-390.6 -----				Δ Δ + Δ + Fx V6 ± lessivés	Ø		
340.6-444?		aph - phan gris		gén. mag.	chl sur plans de fract.		
390-396		gris-pâle					
396-444?		gris vert + foncé			Ø	py < 1%	
401-401.8			Us qj ds. V6 II				
403.3				Minre boue de faille 25° A.C.		py 1%	
404.3-404.6			Δ , Fx V6 ds. matr. j.				
413-42.6							
428.4-429.7			Vg cc chl mt + mineral vert pâle, soyeux, fibres organisé de façon radiaire (cill. trem-act. serp?). py. 25° A.C.			py < 1%	mt automorphe
432.6				CO			
435					n		
440.4- 441.4				Δ			
444- 453		gris + pâle	veinules cc 1/2'				

Profondeur	Roche	Granulométrie et Couleur	Structure Secondaire	Texture et Structure	Altération	Minéralisation	Remarque
445.9- 447.2				co Δ, Δ? cc py		py 2%	
450.8- 451.3			Δ, remplissage cc mt				
460- 460.7			Vq clair, gris, cc, chl, py, mt épointes II (en fait épointe d'une veine cc (feeder)) 15° A.C.			py < 1%	
493.1			Vq cc chl py tr .1', 60° A.C.				
518- 519.9					alterr, vert + pâle traverse par Vhém 1cm 20° A.C.		
548-			Vq cc V6 irrég 2cm 15° A.C. à 11 A.C. s'étend sur 2.8'			py < 1%	
555.9			Vq franche .1', les gris, j tr. épointes II				
572.4- 572.7			lessivé				

Profondeur	Roche	Granulométrie et Couleur	Structure Secondaire	Texture et Structure	Altération	Minéralisation	Remarque
572.7- 585.5 -----	V6 lessivé			zone Uq + U6 lessivé anK, hém.			q automorphe py surtout ds. j.
572.7- 573.1			Uj (en bord) q clair (aureolée) chl hém py au contact supérieur				
573.1 575.6			veinules cc py mm ± hém	●			assez dur.
574.7- 575.6					brunâtre	py diss 50%	
575.6 579.7			bitoux à gris Uq j gris à jaunâtre, chl hém, mt, py			py 1-3% hém < 1%	hém : spirularite
579.7- 581.5			veinules chl + j	U6 alteré brunâtre		py < 1%	très dur.
581.5- 582.4			Uq j chl py + U6 alt. zones de j contiennent "doubly terminated qtz" Fx? (du moins q automorphe)		€?	py 2%	j = ankerite.

Profondeur	Roche	Granulométrie et Couleur	Structure Secondaire	Texture et Structure	Altération	Minéralisation	Remarque
582.4 583.0			recoupe de Vq j chl py . 2' + Vq j chl . . 1'	U6 alt (loc f)		py 1-2%	q gris
583.8 585.6			recoupe de veinules j + veinules de chl + py en cubes	U6 -alt, + π ,	\emptyset	py 4%	+ man
585.6 587				carottes en blocs	\emptyset		
587- 594.7	Dyke ?			\square chl hex à tabulaires ds. matrice vert pale. \neq au contact inf.			
597.7 598.6				Carotte en blocs			
598.6- 608.4			recoupe de nombreuses veinules j + q dont reblans ont un effet altérant et π (py fine)		Altération beige-dure σ ?	total py < 1%	
606.9- 607.2					zone alt + σ		
617.2- 617.3			Vcc chl py			py 2%	

Profondeur	Roche	Granulométrie et Couleur	Structure Secondaire	Texture et Structure	Altération	Minéralisation	Remarque
626.6- 626.8 623-625				△			
626.6- 626.8				co, △ Fx V6 ± alt, matrice cc			
629-630.2				co △ + △			
631.4- 631.6				co △			py en cubes entouré de j.
635-635.5				boue de faille + carotte en blocs			
647.1-647.6				co △ inj cc.			
657-663				carotte graisseur			
659.8-660.4				△ ∅			
668.8- 669.1				co △ cc py			py en cubes 1%
676- 683.6	△			cos (petites coulées) ou △ avec gros Fx V6 ds matrice f ∅, bordures Fx diffuses			py < 1%
697-1				légèrement magnétique			
698.3				Fracture hém t			

Profondeur	Roche	Granulométrie et Couleur	Structure Secondaire	Texture et Structure	Altération	Minéralisation	Remarque
723-724.5				Δ, Fx sub ang V6 π ds matrice cc + mt			
740.2-741.5				Δ, Fx V6 ds. matrice cc			
740.2-741				carotte en blocs			
741.5				boue de faille, 0.5 cm			
747			loc veinules chl				
748			Vgcc chl, 1cm, 10° A.C.				py reliée aux Vchl
772-790		loc + grenu					
781.3-781.4			Vcc rose 1cm suivie de veinules de				
808.2-808.3			Vq chl (fu?)				
817.4			V 1cm, 55° A.C.				
820.8			"				
822.2-822.5					bande bleuâtre: mt 300 A.C.		
824.2-824.6			rnj q cc chl				py 1-2%
824.					loc n		
829.6-829.7			Vcc mt q py				py < 1%

Profondeur	Roche	Granulométrie et Couleur	Structure Secondaire	Texture et Structure	Altération	Minéralisation	Remarque
831.7- 832			V grc U6 e py ds. ripants			py < 1%	
832.3 839.4				Δ Fx U6 ans ds matrice β et/ou cc			
848- 849.3				cc, Δ , β			
862.6- 864				cc β			
864-975		aph. phan vbl					
880.4- 880.6			Vccq chl 25° A.C.				
899			inj cc Δ				
922-954				Fract loc héim.			
927				ccm			
955.2- 955.3			Vg cc chl, ggris 65° A.C.				
96				β			
962.6			Vg cc e 1-2cm 30° A.C.			py < 1%	←

Profondeur	Roche	Granulométrie et Couleur	Structure Secondaire	Texture et Structure	Altération	Minéralisation	Remarque
975-988				CO Δ, Δ, Δ.	∅	py tr - 10%	
988-1049				Gen. Ⓢ			
1014.4 1014.4-1037 1016				boue de farine hém.			
1049-1056.7			Vrcq .1' 45°A.C.				
1056.7-				CO Δ, Δ Fx de taille variable			
1065-1092		vert à gris-vert		Gen Ⓢ			
1084.9-1085			veines mm j + nombreuses 1/.2'				
1085.2-1085.25			Δ, Fx ang. 16 cm ds matrice qj-SS°A.C.				q est gris-bleu laitue
1086.6-1086.7			Vjg py tr				
1087-1087.6			Δ, comme à 1084.9				
1092.6-1093.6			3 veines j, q, ch 1cm-.1' SS°40°+25°A.C.			py tr	gros xtaux cc.

Profondeur	Roche	Granulométrie et Couleur	Structure Secondaire	Texture et Structure	Altération	Minéralisation	Remarque
1096.2-1096.5			Vq gns cc chl p/				
1096.8				boue de feuille.			
1096.8-1096.9			inj cc, Fx V6.				
1097-1101				carotte graisseuse			
1117-1119				carotte graisseur			
1118							
1156.6			Vcc q pour .4' // A.C.				
1200.8-1201.5				Δ Fx V6 ± ε			
1217			inj qjrh //A.C. .5'	(ro?)			
1258-1272		gris-vert + pâle					
1261.6-1261.9			Vcc q chl Fx V6 30° A.C.				
1326.1-1326.7			Passage E, veinures cc, q				
1333.3-1334			" py tv				
1382			passage E tq tcc .2'				
1387-1387.5			Passage E				

py aux bordures de la veine

≈ 1100 ↓ gen. mag.

py 2% pour .1'

Profondeur	Roche	Granulométrie et Couleur	Structure Secondaire	Texture et Structure	Altération	Minéralisation	Remarque
1581.2- 1581.3			Vg j'ep. chl. 1.5m 40°A.C				
1594.5-			minut. j'q chl py 35°A.C				
1597.6- 1599.3			7 veinules \approx 1cm j' chl loc. py ds. épan tes.				
1607- veins à 1604- 1608 - 1607.8 - 1608.2		vent + pâte c.a.d. res.	passage ϵ				\leftarrow coin.
1609.7 1610.4			ϵ , veinules j'chl				
1615.8- 1616.1			ϵ \neq veinules chl. 25°A.C.				
1622. 1622.3			passage ϵ , ver				

Profondeur	Roche	Granulométrie et Couleur	Structure Secondaire	Texture et Structure	Altération	Minéralisation	Remarque
1621 à	ANDÉSITE MAGNÉTIQUE	FIN VERT FONCÉ		<ul style="list-style-type: none"> - MASSIF - HOMOGÈNE - PHANÉRIQUE. 	<ul style="list-style-type: none"> - Loc EPIDOTISÉ - 1-2% FILETS + VEINULES DE QTZ, CARB. - 1 à 5% de fins CRISTAUX DE MAGNÉTITE. NOTE: % TRÈS DIFFICILE À ÉVALUER. 	<ul style="list-style-type: none"> - TR PY (CUBES ISOLÉS) - V. QTZ Loc NOTÉES VOIR DÉTAILS 	<ul style="list-style-type: none"> - PEU FRACTURÉ BON R. Q. D.
1671.1			1.5" V. QTZ. CARB. ~ 48° AC.		Chlorite.		
1695.5			VEINULE QTZ, J. ~ 62° AC.		ÉPONTES SILICIFIÉES ET PYRITISÉES.	< 1% PY, TRCP	
1638-1640.5			À 1639.3 7" V. QTZ J. ~ 41° AC.	BRÉCHIFORME AVEC REPLISSAGE DE QTZ CARB LAITEUX.		Loc TR PY.	

Profondeur	Roche	Granulométrie et Couleur	Structure Secondaire	Texture et Structure	Altération	Minéralisation	Remarque
1810.7	↙	blanche	2" ^{et 1/2"} V. QT ₂ , ± J. ~ 28° AC	TRÈS FRACTURÉE MCX de 1 à 15cm.	Boue ROUGEÂTRE DANS LES FRACTURES ⇒ HÉMATITE.		RQ D NUL, LES FOREURS INDICENT 6' PERTE DE CAROTTE ? SEMBLE ÊTRE ~ 10.4' ↙
1887 à 1899 ----- ENTRE -1955							
1965.9	ARRÊT DU TROU		ET POSE DU	COIN "C" ↙			⇒ NE DÉVIE PAS ASSEZ.
1944.6	Début du coin		"C"				
1984.3 ↳ début de carotte. 1984.3 ²⁰²⁵ 1984.3-		vert généralement grenu.		pas magnétique → parfois assez grenu pour voir phénos ylag.			possiblement ad ?
2025- 2204.3 2055 = 2070				magnétique △ Fx U6 sub ang à sub arrondis de nature vert poly. Et mm à cm.			

Profondeur	Roche	Granulométrie et Couleur	Structure Secondaire	Texture et Structure	Altération	Minéralisation	Remarque
2100 - 2100.4			petites veinules adhérentes beige.		σ ?		
2113.4 - 2113.8			Ujg py + filets noirs assez durs. contacts: 45° + 60° A.C.			py 2% (concentre dans une bande)	
2163 - 2179.6 - 2190					hém sur plan de fracture Lx		
2185			Ujg grise sur lam boudinée? forme irrégulière pointes II 20° A.C.				
2210 - 2220 2222 - - de 2227		loc. grisâtre.		mine bore de faille	loc. très n.		
2245.4			veinule lam qj chl ny irrégulière 20° A.C.				
2255.5 - 2257.8				magnétique			
2257 -					très n		

Profondeur	Roche	Granulométrie et Couleur	Structure Secondaire	Texture et Structure	Altération	Minéralisation	Remarque
2271.1			avec q cp < 1cm 12mm-1cm tr. j. rost.			py 1%	
2297- 2300		grisâtre					
2390 - 2398.4				✓ + loc lessivé			
2398.4- <u>2417</u>	V2	aph. berge à gris		●, ≠	K beige à verdâtre ds. plans de les. Ø	py grain tr loc py en filets (py 1% pour 1er pied)	
2417- <u>2427.3</u>	V6	vert à gris-vert aph-phan		● loc ✓ et lessivé			✓ 2422' : 15° A. r.
2427.3 - <u>2436.1</u>	V2 Ø	gris vert- pâle		✓, altéré	K verdâtre. V2 les. Ø (hétérogène)	loc py en filets total < 1%	2427' : 20° 2447' : 20° 2457' : 15° 2470' : 25°
2436.1 <u>2445.7</u>	V6	gris		loc. less.			
2445.7- <u>2472</u>	V2 ?	vert pâle à gris		généralement α, ●, loc ≠ loc Rx (Sua α?) lessivé	les. Ø, K.		

Profondeur	Roche	Granulométrie et Couleur	Structure Secondaire	Texture et Structure	Altération	Minéralisation	Remarque
2472- 2760	V6/V1?			succession de V6 ● phan-les grenu et Rx gris vert (vi-vj) app. les vitreuse Ø (U2-U4Ø?) dans K berse-vert pâle définissent loc. Extair - U9?		py tr. ds. V6	NOTE: passages moins vds V1: assez durs grn. peu de K.
2472- 2486	V6						2487': 30-35° 2490': 30° 2527': 25° 2551': 20° 2557': 25°
2486- 2488.8	V1?						
2488.8- 2557..	V6		loc. U9j	contact sup. graduel bréchi-forme.	loc. altérée (+pâte et découpé par filets chl.)		
2490.5- 2490.9			passages U9j + filets moins assez durs				
2535.3 2538.8				passage blanchi loc. Δ zone d'inj. jtg			
2557- 2567.7	V1?	aph. gris fonce		découpé par K pâte, loc Extair			
2567.5 2567.7			U9j, filets chl			lentilles // contenant M grossier 10-20% pour .5-2cm total <1% M diss 20%.	

Profondeur	Roche	Granulométrie et Couleur	Structure Secondaire	Texture et Structure	Altération	Minéralisation	Remarque
2567.7 2577.2 -----	V6	vert pâle	filets chl loc. Vqj				✓ 2563' : 25° A.C 2580' : 15° 2600' : 35° 2617' : 25° 2652' : 30° 2662' : 25° 2666' : 35° 2675' : 35° 2683' : 40°
2577.2 - 2624.3 -----	V1/V9	gris	loc. Vqj disc.	✓ plans K, loc Fxtair		ds. py < 1% lentilles	
2624.3 - 2647.7 -----	V6	phan. vert			loc. less.		
2647.7 - 2691.8 -----	V1	gris fonce à gris. bla	Vqj boud.	✓ à ≠, définitivement + α, loc Fxtair	K très pâle lrs. Ø?	py ds. lentilles total ≤ 1% loc. py diss. en minces filets.	
2673 -	+ α?	+ pâle + α					
2686.4 - 2689			zone d'inj. qj + filets noirs durs + py				py 2%
2691.2 - 2691.8			" mais sans la py.				
2691.8 - 2709.6 -----	V6	vert					
2698-2700	V1						

Profondeur	Roche	Granulométrie et Couleur	Structure Secondaire	Texture et Structure	Altération	Minéralisation	Remarque
2709.6- 2727 -----	V2 Ø	gris à gris foncé		⊙ ✓		py tr.	✓ 2687': 35° A.C. 2699': 40° A.C. 2712': 30° 2719': 35°
2714.7- 2717	V6						
2727- 2760 -----	V6					loc. py englobés total < 1%.	
2760- 2844.6	V2-V1 + passages V6	gris foncé à gris pâle	Vqj discr. (tension)	≠, matrice grise drôlée par plans de chl + K, contient fXq + qj mm, rarement cm.		- py tr. - < 1% - contacts V2/V6 minéralisés.	note: différence avec V1 plus haut: + K? Fx q: V9?
2777.6- 2782.5 -----	V6			contacts ≠ II			
2782.5- 2788 de 2788				Rx blanchâtre: + α? lessivée?	+ filets chl.		
2796.6- 2801 -----	V6						
2807.2- 2810.5	V6					py loc en glob. 1%	

Profondeur	Roche	Granulométrie et Couleur	Structure Secondaire	Texture et Structure	Altération	Minéralisation	Remarque
2814.5- 2816.3 -----	V6					py < 1%	✓ 2767': 30° A.C. 2777': 30 + 40° 2787': 40° 2792': 30° 2805': 30° 2811': 35° 2821': 35°
2833.8- 2834.2 -----	V6		Vqj Rx lessivé pertr.				
2834.5 2837							
2844.6- 2857 -----	V6	vert brunâtre phan.		⊙			
2853- 2854		gris + pâle	Veinules cc			py fine en filets // ✓ 3%	
à 2857	FIN DU TROU						
	Trou ensable': faille ?						

ANALYSE DES CAROTTES DE FORAGE: GEOCHIMIE

Unité	No. Echant.	d _o	d	Longueur				SiO ₂	Al ₂ O ₃	FeO	MgO	CaO	Na ₂ O	K ₂ O	TiO ₂	P ₂ O ₅	MnO	CO ₂	S	H ₂ O-	LOI	Cu	Pb	Zn	Ni	Co	Ag	Au
				%	%			%	%	%	%	%	%	%	%	%	%	%	%	%	%	%	%	%	%	ppm	ppm	ppm
	6451	72	97					51.1	12.14	10.68	5.58	7.61	3.47	0.21	1.34	0.03	0.20	5.18	0.06	2.20	7.44	117	12	69	41	42	1.4	7
	6452	160	185					50.2	12.22	10.97	6.22	9.18	2.53	0.09	1.25	0.06	0.21	3.82	0.22	2.53	6.57	101	10	62	40	39	1.2	6
	6453	349	374					51.8	12.51	10.95	6.59	9.13	2.13	0.15	1.12	0.03	0.20	3.11	0.01	2.11	5.23	103	9	61	41	38	1.0	5
	6454	496	518					51.8	12.43	11.49	6.32	6.13	3.34	0.08	1.43	0.09	0.17	3.54	0.56	1.54	5.64	79	10	70	30	42	1.1	5
	6455	724	749					52.6	12.26	11.51	5.87	7.84	2.92	0.22	1.47	0.06	0.19	2.46	0.45	1.59	4.50	81	10	73	32	40	1.1	7
	6456	900	925	25				51.9	12.00	11.95	6.29	8.22	2.68	0.33	1.49	0.01	0.21	2.71	0.28	1.45	4.44	83	9	77	33	43	1.1	6
	6457	1060	1085	"				50.8	12.00	11.31	6.00	8.07	2.90	0.33	1.43	0.05	0.20	4.42	0.39	1.52	6.33	120	12	88	37	51	1.4	6
	6458	1190	1215	"				62.2	11.28	8.90	2.60	4.58	4.42	0.09	1.59	0.22	0.15	2.51	0.28	0.79	3.56	21	9	68	11	29	1.0	5
	6459	1300	1325	"				62.3	11.36	9.31	2.52	4.60	4.18	0.07	1.54	0.24	0.12	1.70	0.34	1.25	3.29	19	8	96	16	26	0.7	6
	6460	1425	1450	"				56.4	11.26	11.56	3.50	7.06	2.30	0.12	1.93	0.17	0.18	3.38	0.52	0.91	4.81	45	11	120	24	41	1.2	7
	6461	1575	1600	25				64.6	11.28	9.09	1.75	3.90	4.09	0.19	1.67	0.24	0.13	2.28	0.21	0.23	2.72	21	7	64	12	27	0.9	34
	6462	1750	1775	25				54.4	12.36	13.13	4.44	5.82	2.06	0.08	2.18	0.09	0.28	2.07	0.76	1.41	4.24	30	12	117	32	48	1.3	5
	6463	1975	2000	"				59.7	12.31	8.62	5.32	4.23	3.37	0.13	1.29	0.20	0.13	2.51	0.27	1.60	4.30	38	10	112	22	33	0.9	6
	6464	2200	2225					57.0	12.84	9.59	4.85	4.49	3.76	0.16	1.36	0.17	0.13	3.57	0.21	1.54	5.32	34	11	116	79	34	1.0	5
	6465	2375	2400					55.2	13.02	8.99	3.86	6.38	1.03	1.50	1.22	0.13	0.13	6.03	0.01	2.34	8.30	6	13	136	27	35	1.3	5
	6466	2508	2533					47.3	12.43	11.08	4.46	8.30	0.75	1.46	1.23	0.11	0.23	6.30	0.17	5.82	12.29	68	14	191	44	48	1.5	5
	6467	2587	2612					68.3	13.35	4.67	1.68	2.59	3.67	0.67	0.58	0.26	0.18	1.70	0.01	2.12	3.83	9	6	96	6	11	0.6	9
	6468	2710	2727					72.9	11.19	2.54	1.39	3.18	1.46	1.68	0.33	0.31	0.27	2.58	0.01	2.09	4.68	11	4	43	7	8	0.4	7
	6469	2803	2832					71.4	12.69	2.96	1.45	3.22	0.82	2.54	0.50	0.25	0.10	3.15	0.01	0.74	3.90	12	3	36	12	12	0.4	58

ANALYSE DES CAROTTES DE FORAGE: SULFURES

Unité	N° Echantillon	De pieds	à pieds	Longueur pieds	Estimée		ANALYSES						MOYENNE PONDÉRÉE							
					Cu	Zn	% Cu	% Zn	Ag ppm	Au ppb	% Fe	Gold	De	à	Longueur	% Cu	% Zn	Ag ppm	Au ppm	% Fe
												Checks								
	6237	37.0	39.7	2.7						128		127 129								
	6238	46.7	49.0	2.3						46										
	6239	53.9	55.7	1.8						28										
	6240	57.8	60.0	2.2						21										
	6241	75.3	77.1	1.8						35										
	6242	91.7	93.2	1.5						28										
	6243	112.2	114.0	1.8						18										
	6244	118.9	120.7	1.8						30										
	6245	124.2	125.5	1.3						25										
	6246	133.7	137.4	3.7						16										
	6247	139.8	142.4	2.6						17		16 18								
	6248	114.2	115.7	1.5						25										
	6249	193.6	196.5	2.9						21										
	6250	214.8	216.3	1.5						30										
	6309	222.5	224.6	2.1						46										
	6310	232.8	234.6	1.8						58		35 81								
	6311	242.6	244.3	1.7						32										
	6312	245.3	246.8	1.5						35										
	6313	251.7	253.0	1.3						30										

ANALYSE DES CAROTTES DE FORAGE: SULFURES

Unité	N° Echantillon	De pieds	à pieds	Longueur pieds	ANALYSES								MOYENNE PONDERÉE							
					Estimée		% Cu	% Zn	Ag ppm	Au ppb	% Fe	Gold checks	De	à	Longueur	% Cu	% Zn	Ag ppm	Au ppm	% Fe
					Cu	Zn														
	6314	272.4	275.4	3.0						32										
	6315	276.2	279.0	2.8						21										
	6316	279.0	280.2	1.2						14										
	6317	291.5	295.0	3.5						64										
	6318	314.2	317.2	3.0						23										
	6319	332.0	334.0	2.0						28										
	6320	344.0	347.5	3.5						16										
	6321	396.5	399.3	2.8						28										
	6322	399.3	402.6	3.3						31	25/37									
	6323	427.0	428.1	1.1						12										
	6324	428.1	429.6	1.5						16										
	6325	429.6	430.7	1.1						14										
	6326	445.5	447.2	1.7						21										
	6327	459.0	459.9	0.9						18										
	6328	459.9	460.9	0.9						28										
	6329	460.8	462.2	1.4						25										
	6333	492.2	493.7	1.5						28										
	6334	499.3	501.0	1.8						23										
	6330	547.7	549.1	1.4						26	28/23									



Journal de Sondage MAZARIN EXPLORATION

Coordonnées							
Forage no. W-87-18	Latitude:	Départ:	Elévation:		Pendage: 45°	Azimat: 320°	Profondeur: 537'
Localisation L 3700 W S 3700 N	Commencé le:	Terminé le:		Déclinaison -13° Magnétique	Diamètre de B. Q. la carotte	<u>BUT DU TROU</u> zone de ≠ détectée en surface correspondant à un creux mes.	
Projet	Province	Canton	Blot	Rang	Claim	Grillage	S.N.R.C.
Wilco	Qc.	Rouyn	151	VIII N	c.m.265		

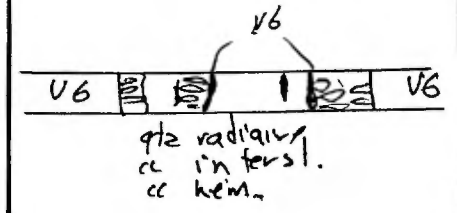
<u>Test à l'acide</u>				<u>Test au Tropari</u>		
<u>Profondeur</u>	<u>Pendage</u>	<u>Profondeur</u>	<u>Pendage</u>	<u>Profondeur</u>	<u>Pendage</u>	<u>Azm. Astronomique</u>
100'	45.5°					
200'	45°					
300'	44°					
400'	43°					
500'	42°					

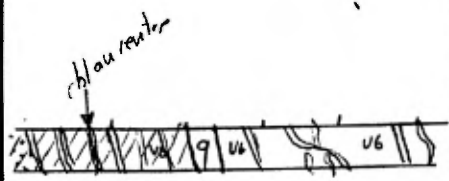
Profondeur des coins: _____

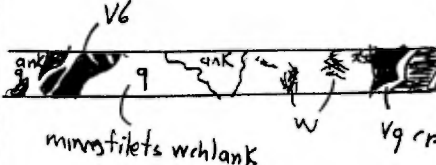
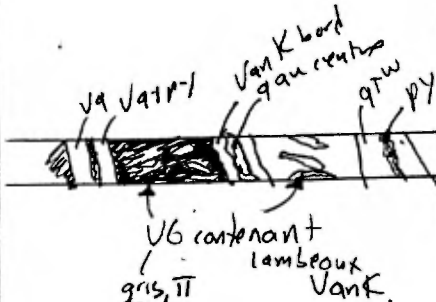
Profondeur	Roche	Granulométrie et Couleur	Structure Secondaire	Texture et Structure	Altération	Minéralisation	Remarque
0-62 62-414	V6	vert à gris-vert aph-phan	recouvert par veinules 5 mm-cm à δ variable.	Recouvrement Gén. \odot , loc \odot , loc \ast loc. magnétique	loc n, loc. ϕ loc E	py tr., cph.	léger \neq évident ds. elongation des \ast
67-103				loc \ast , loc Δ (fx devitrifiés) Pass. \ast : \ast de 3-30% ϕ en bordure des passages \ast Rx très cassaille ϕ , loc en goulet, zone de fracturation intense - faille?, loc \neq			
74-75 à \approx 78 87-89			D, fx V6 ans. matrice cc. Vec q V6 \neq <u>ce hém.</u> 1' 30° A.C.	\neq , carotte en blocs 1 bande \approx 15' épais fortement magnétique 30° A.C.			
108 \neq 414 108- 126.6 120-122.5				généralement magnétique carotte en blocs.	\rightarrow η irrégulièrement \ast		


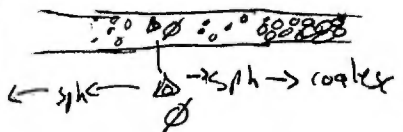
Profondeur	Roche	Granulométrie et Couleur	Structure Secondaire	Texture et Structure	Altération	Minéralisation	Remarque
136 ≈ 180			Nombreuses veinules de mm-cm de dir. variable.				
136.3			V franche cc (tension) py ds épontes sup				
144-144.5			Vq gris cc chl py éponte sup. TT inf Δ forme irrégulière			py < 1% cp tr.	
151.2			Veinule qcc hém déformée total ≈ 1.5 cm.				
161.2- 161.9			Vq cc V6 chl py Loc4, Fx. ép. lég TT				
162.7- 167.7				carotte loc en blocs.		py < 1%	
≈ 166.4-248 174.7-1753 186.7+187			Pessage ←	généralement magnétique (intermittent) bord. de Ø lég ←			

Profondeur	Roche	Granulométrie et Couleur	Structure Secondaire	Texture et Structure	Altération	Minéralisation	Remarque
221.8 - 222.1			passage \leftarrow contacts francs. 45° + 55° A.C.				
227.3 - 227.6			" 55° A.C.				
229 - 229.2			" 65° A.C.				
253.7 - 255			" 50° + 55° A.C.	⊙ 3%			
266.1 - 266.35							
269.7 - 270.2				bord \odot avec aurores j + ϵ			
272				bord \odot			
277 - 309		les + pâte					
283.8				bord \odot Δ ϕ			
287 - 287.8				fracture, n. ϵ			
292 - 363				1 bord \odot / 7, à angle très faible A.C.			
347.4 - 347.6			Vg cc V6 hém				
348.8 - 351.8				Δ contenant Δ			
353.8			Vcc irrég. .05' épais. 10% A.C.				



Profondeur	Roche	Granulométrie et Couleur	Structure Secondaire	Texture et Structure	Altération	Minéralisation	Remarque
360.7 - 363				1 bord ϕ // A.C.			
367-			Nombreuses veinules j. dir variable mais généralement $\approx 40^\circ$ A.C.				debut d'un léger \neq
375.9 - 376.1			Uqj chl 45° A.C.				
380.7 - 380.9			Uqj chl, filet vt ds. éponte inf. 35° A.C.				
387 - 414		tgns			ϕ		
414-441	V6 alt.	gris pâle		ϕ à \neq	lessivé	py tr. 2%	←
414-420 -----		aph. gris pâle	recoupe de veinules noires (chl) (fract). ma recourent \neq et par veinules cm qj (q au centre, j en bordure) \pm py cptr. avec effet \pm altérant sur V6 enraissant.	lrs \neq		py tr.	↗ 416' : 15° A.C. 417 : 25°
418.1-418.2			Uq laitex franche avec peu de j. 55° A.C. l'épais. rielle				

Profondeur	Roche	Granulométrie et Couleur	Structure Secondaire	Texture et Structure	Altération	Minéralisation	Remarque
420- 421.1 -----			zone d'injection de Vg (aureolite) j Fe? en bordure 1cm-.15' de formes irrégulières V6 inter-veines gris TT			py < 1%	
421.1- 422.3 -----			Vg laitieux, ank, w leis-gras py < 1%			py < 1%	
422.3- 423.1 -----				V6 lessivé contenant Vg clair + Vg ± clair + cp.			
423.1 423.6 -----				V6 lessivé gris pâle TT contenant Vg laitieux len + 2 Vjg .5cm 25° A.C.		py fine diss. 4%	
423.6- 425.4 -----				zone V6 recoupée par plusieurs Vg cm + Vg ank. (± py) de 424.8 - 424.95 - Vgw + filet py 60% .5cm.		py diss < 1%	
425.4- 427.7 -----				V6 gris relativement foncé total contenant veinules q+ank mm. (1/1) déformées., 1 veinule q clair cp mm	∅	py diss tr cp tr	
			427.35-427.5 Vg ank chl 45° A.I.				

Profondeur	Roche	Granulométrie et Couleur	Structure Secondaire	Texture et Structure	Altération	Minéralisation	Remarque
427.7-439.25 -----	V6	phan. gris pâle	recouvert de veinules mm-cm g tan K + veinule g clair.		lessivé	py diss. 1-2%	
434.9			Vg ≈ clairant effet alterant sur encas- sant. (lessivé, vert clair)				
438.6			Vg py tr 1cm 45% Al cp tr wouch)				
439			Vg 1.5 cm 60% Al py tr cp tr (wouch)?				
439.25-441 -----				Δ, Fx Vg sub-arrondis à sub-ang. 0.5cm-0.15' ds. matrice vert pâle σ++		py < 1%	Faïlle 
441-537 -----	V6			souvent * loc Δ * mm de 1-50% - jusqu'à ●	alt de mt ds. sph. matrice φ loc n loc n	py tr	* notent bord. φ. 
441-444 444-494.2		vert foncé		vert pâle, lig ≠			
450.2-512.9 -----	V6			magnétique	φ, gen n		

Profondeur	Roche	Granulométrie et Couleur	Structure Secondaire	Texture et Structure	Altération	Minéralisation	Remarque
462 - 463.5				Δ, ⊙ ~ py		py en cubes 1%	
469.6 - 470.3							
485.5 - 487				grosses variétés cm.			
494.2 - 527.7 - - - -		vert-beige		zone altérée + ≠. Altération évidente principalement ds * loc ds. roche massive aussi * même alt. sont magnétiques loc. aspect ⊙	alt beige "buff" leg. verdâtre. roche dure mais se raye ? Eey _{au} + alt. argillique?	loc py 1% ds passages altérés.	
494.1 - 495			Vg jambri chl py contact sup ⊕ ≠, 45° A. r contact inf Δ 55° A. r q blanc à gris → zone Vg			py 2% p < 1%	
504-507 - - - - 504 - -504.7			Vg gris, filets chl, j, lambeaux Vg q H, py+w ds. épontes				
504.7 - 504.9 504.9-505.1			épontes ≠, alt, II Vg gris clair, j, var. py chl + rp tv py+w ds. épontes alt + nu barre				1" - 1" 504' 507' éponte alt II w éponte alt j = anK, dol ?

Profondeur	Roche	Granulométrie et Couleur	Structure Secondaire	Texture et Structure	Altération	Minéralisation	Remarque
506.7- 507			Vg gris clair chl py 1-2%				↑ 493' : 50° N. C 497' : 40° 503' : 55° 520' : 45° 533' : 40° 536' : 40°
509.5- 509.9			Vcc rose rj Fe + g + py 1-2% + w. ds. roche altérée aph. (*○)				
522.4- 522.7			inj. irrég. de q ds V6 alt aspect Fr. py 1%, w.				
527.7- 537	V6	vert		loc * les *, py 1% ds ▽			
à 537	FIN DU TROU.						

ANALYSE DES CAROTTES DE FORAGE: SULFURES

Unité	N° Echantillon	De pieds	à pieds	Longueur	ANALYSES								MOYENNE PONDERÉE							
					Estimée		% Cu	% Zn	Ag ppm	Au ppb	% Fe	Gold check	De	à	Longueur	% Cu	% Zn	Ag ppm	Au ppm	% Fe
					Cu	Zn														
	6106	413.6	415	1.4						25										
	6107	415	416.5	1.5						18										
	6108	416.5	417.5	1.3						14										
	6109	417.6	418.6	1.0						41	41/41									
	6110	418.6	420	1.4						21										
	6111	420	421.1	1.1						39										
	6112	421.1	421.6	0.5						28										
	6113	421.6	422.3	0.7						55										
	6114	422.3	423	0.7						94	94/94									
	6115	423	423.7	0.7						375										
	6116	423.7	425.4	1.7						32										
	6117	425.4	426.6	1.2						21										
	6118	426.6	427.7	1.1						35										
	6119	427.7	429.5	1.8						23										
	6120	429.5	431.5	2.0						23										
	6121	431.5	433.4	1.9						28										
	6122	433.4	435.3	1.9						28										
	6123	435.3	437.1	1.8						21										
	6124	437.1	438.2	1.1						94										
	6125	438.2	439.2	1.0						35										

W07-18



Journal de Sondage

MAZARIN

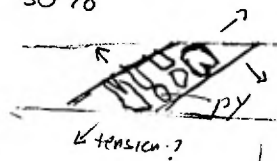
EXPLORATION

Coordonnées									
Forage no. W-87-19	Latitude:	Départ:	Elévation:		Pendage: 70°	Azimut: 180°	Profondeur: 1615'		
Localisation	W 38100 W S 4775 S	Commencé le: 19-08-87 Terminé le: 2-09-87	Déclinaison -13° Magnétique		Diamètre de B. Q. la carotte	<u>BUT DU TROU</u> contact U6/U2 près de la zone des puits d'exploration. (Vieux)			
Projet	Province	Canton	Blot	Rang	Claim	Grillage	S.N.R.C.		
Wilco	Qc.	Rouyn	149		c.m. 265				

<u>Test à l'acide</u>				<u>Test au Tropari</u>		
Profondeur	Pendage	Profondeur	Pendage	Profondeur	Pendage	Azm. Astronomique
27'	70°	800'	63°	1495'	48°	171°
100'	70°	900'	59°			
200'	70°	1000'	57°			
300'	70°	1100'	55°			
400'	69°	1200'	52°			
500'	68°	1300'	51°			
600'	69°	1400'	50°			
700'	27°	1500'	46°			
Profondeur des coins:		1600'				

Profondeur	Roche	Granulométrie et Couleur	Structure Secondaire	Texture et Structure	Altération	Minéralisation	Remarque
0-27 27-114 27-53 ----- 27-56	RECouvreMENT V6 V6	phan. gns-mauve		lég ≠ Ø, loc * (* ≠) prise ds. failles carotte fréquemment en blocs loc. boues de faille.	loc K ? n	py ≤ 1%, loc en globules loc taches py 30% total py < 1%.	✓ 33' : 35° A.C. 36' : 30° A.C. 53' : 40° A.C.
≈ 31.5 ≈ 35				* ≠ 30%, blanches verdâtres découpée par chl vert foncé. * diffuses, graduellement -> V6			41-45 part
35-37 37-41 44-47 49-53				boues de failles, Rx Fx découpées par l verdâtre. boues de faille.		py 1-2%.	
53 ≈ 78 -----	V6 ?	aph brunâtre pâle		altér.; lég ≠ ? manque par petites veinules grisées (chl + cct + py) + loc petites veinules à triantites + TT	meu à moy. l-K?	grosse py rubigée et rorie ds cavités chloriteuses (Ø ou pseudomorphes j ?) total py ≤ 1%	
56.3-57.3				U6 Δ ou U9-VII à Fx α et l'ou Ø (voir description + bas)	dur.		
≈ 61-61.7 72.7-77			Ug à grain fin loc bandes j. .05' à l'cm sur l'A.C.	"			

Profondeur	Roche	Granulométrie et Couleur	Structure Secondaire	Texture et Structure	Altération	Minéralisation	Remarque
78-97	V6	phan. verdâtre		moins altéré	py < 1%		
89.8-89.9			Vqj 30°A-r.		loc py 1%		
95-97				navette en blocs			
97-99.5			inj qcc	Faill., bandes V6 + bandes qjchl D. déroulés par à verdâtre			
99.5-114		beige à gris bleu	inj qj	dur. fracturé, loc aph. loc fragmentaire, loc. lessivé	loc d		(probablement unité fixaire contenant fx au pass aph)
114-290	VII?B/V6	gris.		alternance de → passages gris fixaire (ou d) contenant des Fx ^{mm} arrondis à anguleux de V6 de Vq et/ou Rxa, et Fx V6 aph vert à brun, loc II; ds matrice gris-vert (chl). (VII?) et → passages bruns à verts aph. à phan. loc ○, relativement max. V6 ou Vq?		py ≤ 1%	VII ressemble au V9 "poncaux" du B7-14
114-117						cp +v. loc. bandes py 50%	
117-128				aph-vert-gris, contient bandes py 50% lem			
				VII, contient biges bandes de py		total py 2%	
						py 2%	contient l' de V6 aph



Profondeur	Roche	Granulométrie et Couleur	Structure Secondaire	Texture et Structure	Altération	Minéralisation	Remarque
127-129.3			inj V jg ± py - effet de lessivage sur la Rx.				
128-130.2				V6 verdâtre aph, \emptyset remplies de chl + j ± py contact sup 35° mf. "		py < 1%	
138.2-145.8				VII, Frang K. vert aph. lig 7			
145.8-148							
148-166							
149				VII, fx + gros, loc pass. aph. py en aggl.		py 2%	
163.9-166			2 syst de Vjg ±			cp 1% sur plan de fracture py en aggl.	
166-183				aph. brunâtre, loc irr. andréol VII-VI, py en aggl ds matrice de cc.	?	py < 1%	
183-188.9							
188.9-191				UG? altéré + grenu contact sup. marqué par Vs cc + chl, veinules py.			
191-203.7			2x Vg loc 20° AC.	VII-VI, py en aggl.		py 1-2%	

Profondeur	Roche	Granulométrie et Couleur	Structure Secondaire	Texture et Structure	Altération	Minéralisation	Remarque
203.7- 235.7				V6 phan à lrg grenu. pseudo-□cc			
235.7- 263 247-247.2				VII-V9 △			
251.7-2522			Vqcc 1-2cm + py 10%				
263-2683 -----	V6	vert aph-phan		lrg. mt.			
268.3- 290.8 ----- 283.8				VII - loc Fx V6aph. boue de feuille, 1' carotte fréquemment en blocs		loc bandes py x/cm py 1%	
287-290							
290- 398.6 -----	V6	gris à gris-vert phan à gr. moyen		magnétique, loc recoupés de passages aph. vert + p. lrg, 1-2' concrets francs. blocs? intr.?	pseudo □cc		
311.6- 314			Vq laitux + V6 φ ij		épontes φ		
327.8- 328.6			Vq laitux x + gras j, chl. V6, py cp hém (± ga?)			py 3% cp 2%	

Profondeur	Roche	Granulométrie et Couleur	Structure Secondaire	Texture et Structure	Altération	Minéralisation	Remarque
373.2-380.5					n		
383.4-383.6				Δ, fx ang. mm-cm ds. matrice cr.			
392-397			très grenu.				
398.6-410				Ull au Δ ^{loc} , fx U6 drifus lég. étirés ds. matrice app. U6. loc; petits fx q?			
410-536	V6	aph-phn loc. grenu		○, lég mt à mtq. - loc passages aph. contacts fins.	loc E		inj. cc ± py aux co.
421.2-421.3				passage E			
432.1-432.5				passage E+			
439.1-439.5				inj. irrég. cc q/p co?		py 1%	
442.5				2 veinules qt E x 1 cm 25°C			
460-460.7		aph.					
468-468.2				pass. E 20°C			
471.3-472.9				pass. E			

Profondeur	Roche	Granulométrie et Couleur	Structure Secondaire	Texture et Structure	Altération	Minéralisation	Remarque		
498.7-498.9	V6 (ou loc V9)	+ Sns aph à extérie gris à gris- noir	passage €						
501.8-502.6			" fractur						
504.4-505.2			"						
de 511									
de 517									
de 527					petites veinules cc	passages loc les Δ, Δ?			
536- 613.4						pas à peu à les ≠ petits Fx q?	less?	loc py en bandes ou ags) de py 20-30%	
536-561						app. + grenue (V9?), les ≠ app. les Fx ou Δ,		apparence br. fibine causée par ≠, Δ des veinules qj?	
561-613.4				aph-phén gris à gris-brun	loc text. chl + py ≠?	très les ≠ ou ≠ (bandes plus chloritiques)		loc. py en bandes. total py 1-2%	✓ 541': 40° A.C. 592': 30° A.C. 603': 30° A.C.
595.5- 613.4					loc bandes qj (ank?) altérantes + les II.	+ ≠, loc. app. pseudo Fxtarr.			
596.			bande qj alt. .1' 40° A.C.						

Profondeur	Roche	Granulométrie et Couleur	Structure Secondaire	Texture et Structure	Altération	Minéralisation	Remarque
613.4-614.5				boue de faille			↓ zone de faille, ≠ intense.
614.5-615.2		gris		V6 ≠ ⁺ Kλ		N fine diss ≤ 1%	
615.2-619.5	V6 - poss. dyke?	vert		≠ ⁺ , #, chl + fuchsite loc K			✓ 613' : 40° A.C. P.A. 615' : 85° A.C.
619.5-722.3	V6	vert à vert-beige grain phan- aph.	mj. qj déformées. (causent plissement local?)	≠-≠ ⁺ , #, loc. plissé bandes vertes ± minces découpées par bandes + chloriteuses et par bandes K contenant loc. passages beiges ou altérés et + grossièrement ≠ (originellement Vqj ou V2?)	K beige	py tr. loc en minces filets	✓ 617' : 30° A.C. PA 623' : 60° A.C. ✓ 624' : 40° A.C. 629' : 35° A.C. 640' : 40° A.C. 650' : 35° A.C. 667' : 40° A.C. 670' : 40° A.C. 679' : 20° AC - pli 680' : 45° A.C. 684' : 40° A.C. P.A. 688' : 70° A.C. ✓ 689' : 40° A.C. 696' : 35° A.C. 702' : 35° A.C.
631.9-633.6				passage beige et découpré par bandes chloriteuses et recoupré par Vqj. (contacts francs 50°-35° A.C.)			
652.6			Vqj xtal radiar .05' // ✓				
657.9			" .1'				
665.8-666.7				Passage ≠ beige et vert		py < 1%	
671.5-685				carotte en blocs et minces lamelles	K+		

Profondeur	Roche	Granulométrie et Couleur	Structure Secondaire	Texture et Structure	Altération	Minéralisation	Remarque
6679 681			Vq laiteuse j jaun- chl + VGK . . q'	pli. veine q suivie d'un pied de VG ≠ + + +, K + p- / fine 1%		py < 1%	
684			Vq j de formée . 1'				
705-711 à 712				passage + ●, - ≠, - + Vq en granulé			
717-723 722.3- 827		beige		≠, moins + succ. de pass. aph-phan gris-vert et mass beiges aph-phan. ± ≠	K		≠ + ↓ ----- ≠ de 723: ≠ moins intense
722.3-750	V6 (+R+α?) V6	gris-vert aph-phan loc. passages beiges aph-phan		≠, découpé par filets de chl. pas vraiment +, app. + massif que l'unité précédente, chloriteux		py loc. en filets.	
750-798 754 760-767		beige aph-phan	Vq en granulé	≠, pas ^{sem} rubanné, app. massive	K		
				pseudo-Fxtair, +, bandes et lentilles dures beiges (α) découpés par K brun	K		
767-779				disp. graduelle du + et diminution du ≠. petits grains + chl ds matrice beige finement ≠	K	py fine < 1%	

Profondeur	Roche	Granulométrie et Couleur	Structure Secondaire	Texture et Structure	Altération	Minéralisation	Remarque
774-779 779-798		aph, gris beige		boues de faille et carotte en blocs + pas #			NOTE: 776-817: carotte fréquemment en blocs.
798-817	v6	gris-vert aph-phon		+			
805				carotte en gravier			
807-809				boue de faille // A.C.			
817-821		+ grnu		+ #			
821-827		beige		# app. + massif		py en filets.	
827- 868.7	v2 Δ φ?	gris. à gris bleu		# +, Fx ou pseudo Fx dans découpes par K + ch	K rose à jaunr.	py 2%	carotte en blocs au contact supérieur
834-				boue de faille .1'			
835.4				"			
837.3				"			
850-867				+ #, app. - fixaire			
867-868.7				Fx v2 blancs ronds cm, % augmente avec profondeur			contact graduel indique sommets vers haut du trou?

Profondeur	Roche	Granulométrie et Couleur	Structure Secondaire	Texture et Structure	Altération	Minéralisation	Remarque
868.7- 905.7	V2	aph. beige-orange rose		≠, filets K-λ + loc filets chl ou r, loc plissé boue de faille	K (r?)		r?
869.7 872.7- 874.6	V6						857': 45° A.C. 882': 40° A.C. 902': 35° A.C.
900.3				boue de faille lam			
903.9- 905.7			Vq; latices incl. K, chl				
905.7- 930	V6#+	gris-vert	qqs veines tension qj xtalisation radiaire	≠+, #, bandes grisâtres très grenues, variables découpées par chl. vert olive (+ très loc. fu?) contact inf. marqué par Δ. Fx véritables app. ○, très finement ≠ petite boue de faille	chl, K, (fu?)	py tr.	
907.8 - 910.3	Dyke	gris, aph.					
915.9							
930 ~ 953.5	V2 Δ?	bleu. bleu-gris	V tension xtal qj radiaire // ou à ⊥ à ✓	bandes + Pseudo Fx bleuâtres durs contenant xtaux de chl(r?) découpées par chl + K beige à rose à verdâtre.	K, chl, xtaux de chl ou r?		
de ?				- de bandes, + xtaux chl? K devient + pâle, contact grad avec V2 + ○			
953.5 963.2	V2	beige à rose		≠ au début avec 5% xtaux chl. (r) app + ○ loc pseudo Fx	K	py ≤ 1% loc 2%	

LF C-654

FORAGE W-87-19


découpé par filets de chl ou K noir-gris

MAZARIN

Page 10/26


Profondeur	Roche	Granulométrie et Couleur	Structure Secondaire	Texture et Structure	Altération	Minéralisation	Remarque
958.3- 960.4?			Vg laiteux loc. gris j, chl noire fil, py, ep. loc K+fu.			py 20% cp. tr.	j. pas cc. ✓ 911': 35° A.C. 926': 25° 943': 25° 958': 35°
963.2- <u>1140</u>	V6/V2			Alternance de passages → V6 aphan., à lés. ≠, loc ≠+ et de passages V2 ^o grisâtres ± pseudo-Fx ± K. contacts gen. francs.	V2 ∅		
963.2- 982.6				V6 aphan., lés. ≠, + ≠ en approchant de Vg, mou.		py < 1%	
972.8 -975.3 979-982.6			Vg laiteux, j. jaune, chl noire à grise (λ?) py cp	≠+, loc alt		py < 1% cp tr, ass. à chl. noire	
980-981			Vjg plissée lcm // A.C. py 3%				
982.6- 995				V2 Δ ≠ (Pseudo-Fx) bandes et lentilles gris-pâle avec loc xtaux chl ou de couper par K beige et /ou chl.		py < 1% en filets	
983			Vjg lcm boudinée				

Profondeur	Roche	Granulométrie et Couleur	Structure Secondaire	Texture et Structure	Altération	Minéralisation	Remarque
991.6			Vq j chl noir 60° A.C. .15'			py < 1% cp tr.	1978': 20° A.C. 987': 30° A.C. 1007': 45° A.C. 1017': 40° 1031': 45°
995- 1010.7 998.8- 1010.7- 1028.7			veinule alterante II . jg	V6 ? phan. rayéle app. Ⓢ V2 Δ ? gradient de déformation: larges bandes grisâtres dures séparées par minces bandes K → jusqu'à apparence pseudo fxtaino.			
1028.7- 1055.2		aph-les grem		V6 ? quis verdâtre ≠ K gns + vert ≠			
1028.7- 1037 1029.2 1031.3		aph					
1032.4- 1037			Vq j filets chl vert et noir py tr cp tr.				
1037-		tgrem		finement ≠, app. plus Ⓢ			
1051.6- 1055.2		vert		≠, loc Δ, loc passages aph.			
1055.2- 1060.3	V2	grisâtre		Δ ≠ pseudo-fxtaino. bandes grises aphan dures découpées pour K beige			loc py en filets total py < 1%

Profondeur	Roche	Granulométrie et Couleur	Structure Secondaire	Texture et Structure	Altération	Minéralisation	Remarque
1087.4- de 1092 - 1100			Vq en grains 2, 3'				1045' : 35° A.C. 1060' : 40° A.C. 1072' : 40° A.C. 1087' : 45° 1096' : 40°
1094 - 1101.5				app. très pseudo-fx laire.	K + grise à gris-brun loc jaune voyant à rose à rouge sang (héim?) r?		
1101.5 - 1119 -----	V6? ou dyke	phan vert-brunâtre	veinules chl ± py	app.  , très # au contacts. au contact inf. : 2' lessive avec veinules chl et/ou r?	loc r	py < 1% cp tr.	
1104 - 1110			Vq + chl et/ou r + j + K grise + brun - barre de pyrite au centre de la vein			cp tr.	j = ank? magnésite?
1113.9 1114.2			Vq j chl ou r				
1114.3 - 1115.8		brunâtre- beige	Vsqj // A.C.	altéré, beige, TT,	lessive, K	py 170.	
1176 - 117.9			Vq j. texture radiale				

Profondeur	Roche	Granulométrie et Couleur	Structure Secondaire	Texture et Structure	Altération	Minéralisation	Remarque
1119-1140	suite V2			graduellement moins cristallin, taille des pseudo-fx + large.			
1122.4-1124.7		beige à rose.		a Heir', IT	hém. K gris pâle, loc. chl.	Al ≤ 1%	

Profondeur	Roche	Granulométrie et Couleur	Structure Secondaire	Texture et Structure	Altération	Minéralisation	Remarque
1140 à 1205.5	RHYOLITE CISAILLÉE ou TUF À LAPILLIS	APHANITIQUE GRIS		<ul style="list-style-type: none"> - ASPECT FRAGMENTAIRE ⇒ FRAGMENTS OU PSEUDO FRAGMENTS DE 2 à 10 mm. Loc 1-3 cm. SÉPARÉS PAR DE MINCES FILETS ET VEINULES VERT FONCÉ À BRUNÂTRE (PÂTE). CHLORITEUX ET SÉRICITEUX. - 10% MATRICE, 90% FX. - FRACTURÉ, MCX DE 5 à 15 cm. - Loc MICROPLISÉ ET PETITS CISAILLEMENTS NOTÉS. 	<ul style="list-style-type: none"> - SÉRICITISÉ (PARAGONITE) SURTOUT DANS LES PLANS DE SCHIST. - CHLORITISÉ IDEM ↗ - 1 à 2% DE FINS CRISTAUX DE CHLORITOÏDE < 1 mm. ASSOCIÉS AUX VEINULES SÉR. ET CHLORITE. Loc + ABONDANT 	<p>TR À < 1% de PY.</p> <ul style="list-style-type: none"> - qqes V. QTZ, CARB BIANCHÂTRES. Loc NOTÉES. SONT SOUVENT IRRÉGULIÈRES. VOIR DÉTAILS. 	<ul style="list-style-type: none"> - DURETÉ MOYENNE À FORTE. (SE RAYE^{MO} AVEC LA POINTE D'ACIER). - RQD MOYEN. - CONTACT NET.
1140.8 1143 / 1145.4 ENTRE 1140-1152			<p>5" V. QTZ, j ~ 50° AC Sub // schist.</p> <p>2.5" V. QTZ, j Sub // schist</p> <p>3", 2", 3", 2", 4" V. QTZ, j. 40° à 60° AC</p>	<p>~ 53° AC.</p> <p>Loc irrégulières</p>	<p>SÉR. + chl. ~ 5%.</p> <p>SÉR. + chl.</p> <p>" + "</p>	<p>TR PY.</p>	

Profondeur	Roche	Granulométrie et Couleur	Structure Secondaire	Texture et Structure	Altération	Minéralisation	Remarque
1153.5			7" V. QTZ. ± S				
1155 /			~67° Ac.	52° Ac.			
1158.8			~4" V. QTZ ± S		Fuchsite?, SER.	3% PY	
1160.9			2 x 1/2" V. QTZ // Schist.				
1166.5			1" V. QTZ. ~42° Ac. 			TRPY.	
1176.8			1/2" V. QTZ. Sub // Schist.				
1177 /				53° Ac.			
1185.4			1" V. QTZ. ± S. Sub // Schist.			TR+PY.	
1192.7			3" V. QTZ. ~55° Ac.				
1198			6" FORT. CISAILLÉ. ←	~50° Ac.			loc Boue de Faille.

Profondeur	Roche	Granulométrie et Couleur	Structure Secondaire	Texture et Structure	Altération	Minéralisation	Remarque
1199.3 1199.4A 1207.5 -----	V2	Aph. GRIS foncé		MASSIVE. ET PEU FRACTURÉE			TRANSITION.
1205.5A 1433.3	ANDÉSITE	VERTE à GRIS foncé FIN à loc + GRENUE ↑ (VARIABLE)	veinules qj radiales loc cp fr.	<ul style="list-style-type: none"> - SCHISTOSITÉ BIEN à FAIBLEMENT DÉVELOPPÉE. - LÉGÈREMENT FRACTURÉE. - HÉTÉROGÈNE : VARIATION DANS LA COULEUR ET LA GRANULOMÉTRIE. LOC PSEUDO-FRAGMENTS ou ET/ou FRAGMENTS LOC NOTÉS. - VOIR DÉTAILS POUR LES DIFFÉRENTS FACIES. - ≤ 1% DE VEINES ET VEINULES DE QTZ CARB D'ORDRE CENTIM. 	<ul style="list-style-type: none"> - LÉGÈREMENT SÉRICITISÉE (LESSIVAGE) PÉNÉTRATIVE ET SELON PLANS DE SCHISTOSITÉ. - CARBONATISATION ~ 1400' (PÉNÉTRATIF) - LEUCOXÈNES NOTÉS. - TR à 3% DE FINS CRISTAUX DE CHLORITOÏDE ≤ 1mm. SURTOUT DANS LES PLANS DE SCHIST. + ABONDANT JUSQU'À 1248.3 	<ul style="list-style-type: none"> - EN GÉNÉRAL TR à ≤ 1% PY - ENTRE 1207.5 - 1248.3 DE 1 à 5% DE FINE PYRITE ASSOCIÉE À DES ZONES FELSiques ET/ou SILICIFIÉES D'ORDRE DÉCIMÉTRIQUE À MÉTRIQUE. - À 1228.8 à 1231, 1233-1236, 1239-1242, 1244.7-1248.3 	<ul style="list-style-type: none"> - CONTACT NET ? Sub // schist à 45° AC. - RQD MOY - BON - ANDÉSITE À <u>JACITE</u> ?

Profondeur	Roche	Granulométrie et Couleur	Structure Secondaire	Texture et Structure	Altération	Minéralisation	Remarque
1205.5A 1248.3 -----		VERT loc grenu		- Loc Fx. LAPILLIS?? lég ≠, loc ≠+	CHLORITEUX. Lx	TR-1% PY. loc py 3%	
1210/ 1219		BLANCHE (LAITEUSE)	9° V. QTZ. ± // schist	49° AC FRACTURÉE	- 20% MATÉRIEL CHLORITEUX.		
1229-1236 1244-1248				passage loc a, loc " " " "	Y		
1248.3A 1357.6? ou 1433.3 ?		GRIS foncé à VERT. phan. loc + grenu		- schist. + faible - PASSAGES + GRENVUS NOTÉS (S ₁ //) DE 1291 À 1294.5 85% Fx. cristaux de 5-15µm ÉTIRÉS //MENT À LA schist. Pseudo Fx?	SILICIFIÉ? (LISSIVE) LOC LEUCOXÈNES ↓ chloritoïde.	TR-1% PY TRÈS Loc TRCP	texture marbrée > ségrégation minéraux matifères, grenu à marbré jusqu'à loc. agrégats chloriteux.

Profondeur	Roche	Granulométrie et Couleur	Structure Secondaire	Texture et Structure	Altération	Minéralisation	Remarque
1280.8		BLANCHÂTRE	1" V. QTZ. // schist			- EPONTES PYRITÉUSES	
1290.8		"	5" SHEAR VEIN. QTZ, J. - 46° AC.		10% CHL. NOIRE.	< 1% PY	
1292 /				54° AC.			
1296			1" V. QTZ, J, micro	MICROPLISSÉE.		1-2% PY.	
1298 - 1299.5			2X 1/2" V. QTZ. - 45° AC			TR PY, CP?	
1305			1" PY SEMI-MASSIVE. ~ 25° AC.	←			
1313			1" V. QTZ.			TR PY.	
1315		BLANCHE	2" V. QTZ. - 42° AC.			1-2% PY DANS LES ÉPONTES.	
1318 /				- 49° AC.			

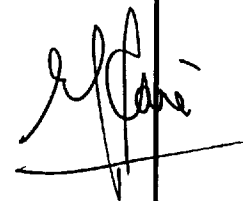
Profondeur	Roche	Granulométrie et Couleur	Structure Secondaire	Texture et Structure	Altération	Minéralisation	Remarque
~1323		+ FONCÉ		- Schisteux. (BIEN DÉVELOPPÉE)	PASSE CHLORITOÏDE ↑ CARBONATISATION.	TR PY.	DURETÉ FAIBLE
1324-1325.5			2", 3" V. QZ. ± J. Sub // schist.		chloriteuse (moire)	TR PY.	↓
1325.6						4" PY SEMI-MASSIVE DANS QZ. AVEC 1-2% CP. ← - Si ^o AC	
1328.7		BLANCHÂTRE	~7" V. QZ. ± J. FRACTURÉE.		3-5% SÉRICITE ET CHLORITE	TR+ PY.	
1338-1340		blanche	1.5", 1" V. QZ J. 2 // schist.			TR PY.	
1347-1350			3x1" V. QZ. irréguliers.				
1355/				44° AC.			

Profondeur	Roche	Granulométrie et Couleur	Structure Secondaire	Texture et Structure	Altération	Minéralisation	Remarque
1357.6 A ----- 1360.5 -----				FRACTURÉE.	Loc Lessivée ET SÉRICITISÉE.		
1359.2		GRISÂTRE	7" V. QZ. *		10% λ, φ NOIRE.		
1365			1/2" V. QZ. J.			3-5% PY, FINE 3% CP, PY ←	CONTACT cisailé * Boue de faille.
1370 /				52° AC			
1380 /				47° AC.			
1384		BLANCHÂTRE	6" V. QZ. J. ~ 49° AC		Chl., SÉR.	TR PY.	
1389 A 1393						2-3% PY Diss. ←	
1405 /				47° AC.			

Profondeur	Roche	Granulométrie et Couleur	Structure Secondaire	Texture et Structure	Altération	Minéralisation	Remarque
1433.3A 1472	ANDÉSITE CISAILÉE ET ALTÉRÉE (TUF À LAPILLIS)	1) TRÈS FIN GRIS PÂLE. 2) FIN GRIS FONCÉ LUSTRE VERDÂTRE.		<p>dyke? →</p> <ul style="list-style-type: none"> - SCHIST. TRÈS FORTEMENT DÉVELOPPÉE. - FRACTURÉE (MLX ~ EN MOY 1186°) - DEUX FACIES NOTÉS RESSEMBLANT À 2. 1) TUF PONCEUX ? <ul style="list-style-type: none"> - 5-10% D'AGGREGATS VERT PÂLE DE 1-3 mm (> AXE) ÉTIRÉS //MENT À LA SCHIST. - + FORTEMENT CISAILÉ QUE FACIES ② - COMPOSITION FELSIQUE ? 14333-1440, 1450-1460.5, dykes V2 2) TUFFACÉ ? <ul style="list-style-type: none"> - 5-8% D'AGGREGATS CHORITEUX VERT FONCÉ DE 1 à 2 mm. → (CHORITE) SELON PLANS DE SCHIST. ⇒ - MOINS FRACTURÉ QUE ① 1440-1450, 1460.5-1472 <p>NOTE: CONTACTS NETS À GRADUELS.</p>	<ul style="list-style-type: none"> 1) FORTEMENT SÉRICITISÉE (PARAGONITE) - LOC CARBONATÉE. 2) SÉRICITISÉ. 		<p>CONTACT NET // SCHIST. (BOUE DE FAILLE ~ 1" AU CONTACT) Dyke V2 au contact → SCHISTE À SÉRICITE ?</p> <p>- DURETÉ FAIBLE. - RQD FAIBLE.</p> <p>NOTE: SIMILAIRE À CERTAINS DE HORIZONS À LA ZONE ALTÉRÉE INTERSECTÉE DANS LES TROUS W86-4, 7, 10 ect...</p>

Profondeur	Roche	Granulométrie et Couleur	Structure Secondaire	Texture et Structure	Altération	Minéralisation	Remarque
1453.5 1455 / 1470 /			4 ^e V. QZ ± J. // Schist.	48° AC. 42° AC.	CH, SÉRICITE.		
<u>1472 à</u> <u>1615</u>	ANDÉSITE	FIN VERT À GRIS FONCÉ		<ul style="list-style-type: none"> - UN PEU HÉTÉROGÈNE (VARIATION DANS LA SCHIST. ET L'ALTÉRATION) - EN GÉNÉRAL SCHISTOSITÉ BIEN DÉVELOPPÉE. - LOC ASPECT TUFFACÉ, ET FRAGMENTAIRE, AGRÉGATS CHLORITÉUX DE 1 À 3 μm. SIMILAIRE AU FACIÈS #2 DE L'UNITÉ PRÉCÉDENTE. → LAPILLIS? NOTÉS. - ÉGALEMENT + FRACTURÉ DANS LES ZONES + SCHISTEUSES ET/OU CISAILLÉES. - qqes V. QZ CARB. SCHISTOSÉES ET DISCORDANTES AVEC LA SCHIST. NOTÉE. 	<ul style="list-style-type: none"> - CARBONATISATION PÉNÉTRATIVE DANS ANDÉSITE + FRAÎCHE. - SÉRICITISÉE DANS LES ZONES + SCHISTEUSES ET/OU CISAILLÉES. LOC FILETS BEIGES. - MT LOC NOTÉE. 	RARES TR PY.	<p>granul s/m</p> <p>CONTACT \neq</p> <ul style="list-style-type: none"> - RQD BON À LOC FAIBLE. - DURETÉ FAIBLE. <p>DE 1508-1565 ✓ + TUFFACÉE ET ALTÉRÉE.</p>

Profondeur	Roche	Granulométrie et Couleur	Structure Secondaire	Texture et Structure	Altération	Minéralisation	Remarque
1500 /				~46° Ac.			
1523 À ----- 1543 -----				TRÈS FRACTURÉE, MCX < 1" à 5" Loc + ÉLEVÉ. DE 1527-1529 FAÏLLE, MCX < 1" Loc Boue de Faïlle.		STÉRILE	
1535 /				52° Ac.			
1565 À ----- 1592 -----				+ MASSIF, + GRENUE.	CARBONATÉE (FORT) 1-2% DE FINS LEUCOXÈNES NOTÉS LOC. MT.		
1587 /				66° Ac.			
1592 À ----- 1615				REDEVIENT + SCHISTEUX TRÈS LÉGÈREMENT FRACTURÉE.	LÉGÈREMENT ALT. (λ).		


Profondeur	Roche	Granulométrie et Couleur	Structure Secondaire	Texture et Structure	Altération	Minéralisation	Remarque
1595		blanche	2" V.QTZ.J. ± 11 schist.		chl. VERTE	STÉRILE.	
1600/				~69° AC.			
1605.5		"	3" "		"	"	
1613		"	1.5" "		"	"	
1613.3		"	12" V.QTZ.J. ~61° AC		"	"	
1615	FIN DU TROU						
		TUBAGE CONSERVÉ					
							

ANALYSE DES CAROTTES DE FORAGE: GEOCHIMIE

Unité	No. Echant.	de	à	Longueur				SiO ₂	Al ₂ O ₃	FeO	MgO	CaO	Na ₂ O	K ₂ O	TiO ₂	P ₂ O ₅	MnO	CO ₂	S	H ₂ O-	LOI	Cu	Pb	Zn	Ni	Co	Ag	Au
				%	%			%	%	%	%	%	%	%	%	%	%	%	%	%	%	%	%	%	%	ppm	ppm	ppm
	6401	208	233					51.2	11.99	10.88	5.74	7.40	3.24	0.03	1.17	0.07	0.21	4.60	0.01	3.27	7.88	105	16	136	45	51	1.7	6
	6402	239	264					56.4	15.32	6.74	5.41	3.87	6.53	0.06	0.95	0.14	0.11	1.68	0.01	2.62	4.31	28	8	64	57	24	0.7	7
	6403	348	373					54.2	12.29	11.81	6.35	6.43	3.22	0.03	1.13	0.07	0.20	2.30	0.24	1.32	3.86	98	11	125	39	46	1.2	7
	6404	444	469					53.6	12.39	11.29	5.76	7.15	3.90	0.05	1.26	0.06	0.19	2.83	0.06	1.28	4.17	109	11	94	44	42	1.2	6
V6	6405	566	591					52.9	10.93	9.76	4.88	6.80	2.10	0.89	1.40	0.13	0.16	3.47	0.60	5.07	9.14	148	14	112	33	46	1.5	8
V6+	6406	633	658					56.5	12.47	9.84	1.81	4.95	2.84	1.42	1.71	0.16	0.16	1.98	0.42	5.24	7.64	18	9	117	18	39	0.9	8
V2*	6407	722	750					58.6	11.71	9.13	2.17	4.48	1.02	1.41	1.56	0.27	0.15	2.76	0.70	5.22	8.68	46	12	169	21	33	0.9	8
V2	6408	828	853					73.5	11.00	5.97	0.08	0.57	0.51	2.61	0.51	0.24	0.04	1.36	2.54	0.56	4.46	54	7	2810	10	11	2.5	190
V2	6409	1150	1175	25				58.1	11.82	5.49	3.46	7.09	1.08	0.73	0.89	0.29	0.13	6.79	0.39	3.18	10.36	53	8	93	60	30	0.7	9
V4-V6	6410	1275	1300	"				53.2	12.12	9.00	3.87	6.93	1.13	0.49	1.21	0.20	0.14	6.07	0.21	5.13	11.41	42	14	138	51	42	1.2	8
	6411	1400	1425	"				60.6	12.65	9.45	2.51	4.82	1.12	0.34	0.93	0.18	0.14	3.59	0.01	3.57	7.17	91	11	75	47	38	1.1	7
	6413	1435	1460					57.2	14.47	2.94	2.49	7.66	2.59	0.58	0.69	0.35	0.08	6.14	0.01	4.60	10.75	9	7	12	14	16	0.5	6
	6412	1525	1550	"				52.7	12.56	7.79	4.38	7.38	1.58	0.41	1.08	0.21	0.13	6.33	0.01	5.34	11.68	24	12	36	77	44	1.1	7

Profondeur	Roche	Granulométrie et Couleur	Structure Secondaire	Texture et Structure	Altération	Minéralisation	Remarque
0 à 11.1	TUBAGE.						- DIRECTEMENT SUR LA ROCHE.
11.1 à 422 ①	ANDÉSITE	FIN VERT FONCÉ		<ul style="list-style-type: none"> - HOMOGENE, ET PHANÉRIQUE - MASSIF (FAIBLE SCHIST) - MAGNÉTIQUE. (% TRÈS VARIABLE FAIBLE À FORT) - loc pseudo-□j. - Loc VEINES ET VEINULES DE QTZ CARB, 1 À 2%. 	<ul style="list-style-type: none"> - CARBONATISATION FORTE ET PÉNÉTRATIVE - EPIDOTISATION. - HÉMATITE ROUGE DANS LES FRACTURES. 		<ul style="list-style-type: none"> - BASALTE ? - RQD EXCELLENT - DURETÉ ÉLEVÉE
16.5 60 / 189 194 200-218		BLANCHE blanche "	1" V. QTZ J. 142g ± // AC. 3" V. QTZ, J. - 27° AC. 1" " " " SUB // AC	25° AC. + FORTEMENT MAGNÉTIQUE.		TRPY, CP?	

Profondeur	Roche	Granulométrie et Couleur	Structure Secondaire	Texture et Structure	Altération	Minéralisation	Remarque
227.8 230.9 246.3 278 A -----			1.5" V. QTZ J. 72° AC 2" " " 48° " 1.5" V. " " 57° AC.	- MAGNÉTIQUE ? (SI OUI TRÈS FAIBLEMENT)	Chl. EP; doTc.	≤ 1% PY, TRCP	
347 ENTRE 350-393.7	←	BLANCHE	1" V. QTZ, J. ~20° AC. Vc q	zone altérée et fracturée altération variable	LÉGÈRE SILICIFICATION EN BORDURE DE LA VEINE.	TRCP, PY. ← quelques veines et veinules de QTZ, CARB AVEC EPONTES LESSIVÉE ALTÉRÉE ET PYRITISÉE VOIR DÉTAILS.	
352-355			5 VEINULES ≤ 1/2" DE QTZ, J. SUB // SCHIST? 10-15° AC		EPONTES ALTÉRÉES ET LESSIVÉES, GRISÂTRE DE 1/2 à 1 1/2" (SÉRICITE?)	1% PY, TRCP? ASSOCIÉES AUX VEINES ET AUX EPONTES.	
359-360			1/2", 1" V. QTZ, J PLISSÉE. ~10-15° AC.		EPONTES LESSIVÉE, ET ALT. (SÉRICITE?)	3-5% PY, SURTOUT DANS LES EPONTES, CUBIQUE ET GROSSIÈRE.	

Profondeur	Roche	Granulométrie et Couleur	Structure Secondaire	Texture et Structure	Altération	Minéralisation	Remarque
363.3		BIANCHE (LAITEUSE)	2.5" V. QZ, ± J. irrégulière  1/2" ~ 10-12° AC.		1% CHL. NOIRE (TOURMALINE)	? TRPY, DANS LAVEINE ET LES ÉPONTES.	
364.4		FRÈME	1/2" q. j ~ 16° AC			TRPY	
367.5			2" V. QZ, J. ~ 33° AC.		ÉPONTÉ INF 2" " SUP 4" ALTÉRÉES, LESSIVÉE GRISÂTRE.	< 1% PY (veine) - 3 à 5% DANS LES ÉPONTES.	
369 à 372				BRÉCHIQUE	LESSIVÉE, ALT. n. S? λ. <	< 1% PY.	
372.2	V6 ⊕?			Bondure de coussin 1.5" chloriteuso?			
372-393.7		vert pâle		légèrement altéré fractures remplies de chlorite.			

Profondeur	Roche	Granulométrie et Couleur	Structure Secondaire	Texture et Structure	Altération	Minéralisation	Remarque	
413.7-422	V6 ou V9/B	vert	veinules mm gij radiaires 1-3mm, discordantes au 1/1', loc avec héim loc cp-tr.	pseudo □ j jusqu'à 1mm., 5% ^{10%} généralement pas magnétique		loc petits filets py < 1%.		
422-620.9				finement ≠, localement Fxtaire (Δ) loc zones ● : fx? généralement magnétique : léger. petits staux loc. visibles à intense passages ● pas au peu ≠, micro- fractures : intérieur des caillots?	loc ∅ généralement n fract. loc. E loc héim. sur plans de fract.	py tr. cp tr.	contact sup. graduel. zones ∅ avec app. Fxtaire possiblement Δ ≠.	
459.1-459.3				Vj chl. disc.				✓ 426' : 40° A.C.
467.8-468.2				Vqj chl & Fx V6.				437' : 20°
557.6-								441' : 40°
557.6								448' : 40°
567.9-568.4								485' : 40°
571.5-572								511' : 30°
					516' : 35°			
					537' : 45°			
				loc passages Δ. généralement + ●, - ≠ que plus haut.	loc ∅	passages py en filets loc ≤ 10%		
				passage beige, altér' ou d. nombreuses inj gij, contacts francs : 30° + 20° A.C. Δ, Fx V6 lessivés ds matrice ∅	n	py 7% pour .7' py 5% cp tr.		

Profondeur	Roche	Granulométrie et Couleur	Structure Secondaire	Texture et Structure	Altération	Minéralisation	Remarque
575-577				carotte en blocs			√ 601' : 25° A.C. 616' : 25° 620' : 35°
589.5-591						py 1-5%	
601-601.5							
618.7-620.9				≠, π,		py 3%	
de 604						py 2%	
620.9-943	↓ V6			PAS MAGNETIQUE gen ≠, loc alt, loc ●			
620.9-767	V6	vert+beige à gris.		≠ ⁺ , altér'			
620.9-644.7		br'se	Vqj déformés	≠ faible à moyen	généralement K.	zones de py 1-10%: -621.8-622.4 -628-630.2 -631.8-634.6 639.3-640 (lambeaux IT)	
644.2-644.7				passage Fu		py < 1%	√ 645' : 30° A.C.

Profondeur	Roche	Granulométrie et Couleur	Structure Secondaire	Texture et Structure	Altération	Minéralisation	Remarque
644.7-767 -----			Us qj radiaires + Vqj conc déformées loc. bond. ↳ + rares	≠ ⁺ , π, bandes chloritiques d'épaisseur variable et bandes V6 paragonitiques (beiges) découpées par K+chl. loc. - ≠, - alt.			√652' : 35° A.C. √662' : 35° A.C. 669' : 25° A.C. 683' : 20° A.C.
646.4				houe de faille ≈ 1 cm			
de 695.7		vert et gris au lieu de vert et beige			K - d grise		
696.8-707		gris		+ homogène, recoupe de filets de chl	K grise	py ≤ 1%	
710.4-712.5						py ≤ 1%	
712.5-713.1			Vq blanc j jaune teinte lessivée + π				
719.6-721			Vq laiteux j jaune chl fil, K, py tr. Fx V6.				
730.4-730.8			Vq laiteux				

Profondeur	Roche	Granulométrie et Couleur	Structure Secondaire	Texture et Structure	Altération	Minéralisation	Remarque
740 746.6		gris-beige			K		
746.6- 747 à 747.3			Vq chl ₂ (+tr w ou) chl noire) contacts: 40°+10°A.C.	mine boue de faille.			contact 40°A.C. base + 0. homog. K
759.5							6600 fillets K base + 0. homog. K
765.7- 767			Vq j chl, Kargenbr chl noire (?) py sp.				fillets K 25°A.C. micro-fillets de chl. 10°A.C.
767 - 860	V6	vert		≠, loc ≠+, loc K, comme suparavant mais moins de forme	loc K grise à beige	py < 1% sp. tr.	
796-798							
798-799			Vq laiteux traces j py ds échant. lessivés (grises, py fine 3% pour .2')				
817-827							
825.3- 825.5		beige	Vq j conr. le's def.				
835-835.6		beige	" + py < 1%				

LF C-654


FORAGE ... W.B7. 20.

MAZARIN

Page ... 7/25

Profondeur	Roche	Granulométrie et Couleur	Structure Secondaire	Texture et Structure	Altération	Minéralisation	Remarque
847 - 854.6		Srs loc. vert		≠	K +	py 1-2%	
847.5 - 848.3			Vg laiteux j K pytr				
849.8			Vg en blocs pour. .5'				
852			"				
853.5			Vg .2' de haut py 1%. epanto H3%				
854.6 854.9			Vg j K py 1%.				
860 - 943 -----	v6	gris-mauve phan.		≠ à 0, lentilles j ds partie ≠	K gris-mauve.		
860 - 876				≠ à les. ≠, lentilles j concordantes, loc. lig ++			
860-871 863.8 871-					K + chl		
873.3 - 873.5			Vg j py 1% . vesaire. ≈.1'		K	2 filets py 50% Clcm	

Profondeur	Roche	Granulométrie et Couleur	Structure Secondaire	Texture et Structure	Altération	Minéralisation	Remarque
876-932.6		phan - lés. grenu gris-mauve		à lés ≠ ● généralement magnétique loc. passages altérés beiges K? apparence argillique	K ⁺ gns, lés. ∅	py< sp. diss. tr.	✓ 894' : 40° A.C. 916' : 35° 932' : 45° 941' : 35° 943' : 45° 946' : 25° 950' : 30°
886.6-888			Uq. 2cm			py en petits rubes diss. 3%	
932.6-938.3			Uq chl K en blocs w ou amph tr M < 1%				blors. 3' max.
938.3-943	V6 ou V9B ?	aph- gr. fin. vert foncé		Finement ≠			
943-1117	V2 Δ loc ●	gris à beige-rose		≠, Fr U2 gnsatms et beiges étirés décapés par K grise à beige à brune aussi petits Fr U2 ds matrice. [→ intercalé avec passages aph. beige à gris-brun (U6 ou dyke?) contacts francs // au K ⁺ 40%]	K	py gén. < 1% loc. 10% ds matrice	- pas clair si contact U6/V2 est ds la boîte.
943-985.1	V2 Δ			loc. zones U2 + ●, ≠ mais pas app. Δ, moins de K			
947-947.2				boue de faille			

Profondeur	Roche	Granulométrie et Couleur	Structure Secondaire	Texture et Structure	Altération	Minéralisation	Remarque
447-450 452 - 458.3				boue de faille déformation intense		py 2-5%	
458.3- 964.8				passages beiges aph ^l loc. app. argillique	K ⁺ ?		√ 962' : 25° A.C. 968' : 40° 977' : 40° 984' : 40° 992' : 40° 1004' : 40° 1005' : 55°
964.8- 977				V2 ≠, moins K ∴ app - Δ			
977- 979.3				passage beige			
979.3- 985.1				V2 Δ		py 1-3%	
985.1- 991.7	V6 ?	phan. beige- gris		finement ≠, contacts francs + po ^l es.			
991.7- 1005		foncé presque noir.		V2 Δ			
994-995.7				≠ +			
996.3- 999					K ⁺	py 1-5%	

Profondeur	Roche	Granulométrie et Couleur	Structure Secondaire	Texture et Structure	Altération	Minéralisation	Remarque
1005- 1008.7 ---	V6? V?	gris-brun phan.		finement \neq , phan.	K	py \leq 1%	
1008.7- 1014 ---	V2 Δ			Fx V2 gris 1-5cm contenant loc r déruprés par K+py, $\pm \neq$ Fx allongés mais loc. bout arrondis.	K ds. matrice loc r.	py 2% cp tr.	
1011.3-1011.5 1011.5-1012.1			Vq. \approx 15' \approx 40° A.C boue de faille				
1014- 1019.7 ---	V6?	beige phan		\neq , les minces bandes vertes (chl our) découpent bandes Rx K	K		
1019.7- 1029 ---	V2 Δ à $\circ \neq$	gris foncé à gris rosâtre		Fx V2 sub arrondis cm ds matrice petits Fx + K + py, chl? Fx loc allongés: pseudo-Fx? Grad. + \circ , découpée par plans K à orientation les variables + filets de py. V2 contient py diss. + r. +py au changement de Δ à \circ loc. lambeaux Fu.	K guse à argenté à nom chl? r	py 1-2%	V2 se raye

Profondeur	Roche	Granulométrie et Couleur	Structure Secondaire	Texture et Structure	Altération	Minéralisation	Remarque
1029-1059 -----	V6?	phan. beige-5'		finement ≠ (✓), app ● + homogène	K, chl, Lx?		
1052-1053			Vqj x'tall. radiant .4'	boue de farine	∅		
1059 1075.4 -----	V1 ∅? V6?	gris-vert foncé aph.		Rx foncée schistosee sans textures distinctives, loc découpée par minces plans K div ≈ var (Rα, V9 α ∅?)	∅ ^(tr) , K		
1075.4 - 1084.7 -----	V2 Δ ∅	gris vert à gris		Fx V2 ^m contenant taches chlour arrondis à étirés ds matrice chl vert foncé (loc. en staux) + petits Fx V2 + py	∅	py ≤ 1%	les ≠ ✓1083': 35°
1084.7-1099 -----	V6?	beige gris loc gris foncé gén. phan.		loc. finement ≠, les K.	K, (aussi Lx étirée?) r? (ou chl)		
1099-1117 -----	V2 Δ ∅			Fx V2 gris grn cm sub-angulaires ds. matrice vert foncé ≠ variable. r en bandes K argentée loc V2 ● ≠ K-rose py < 1%	∅, loc K jaune K argentée, r tr - 5%		

Profondeur	Roche	Granulométrie et Couleur	Structure Secondaire	Texture et Structure	Altération	Minéralisation	Remarque
1117-1200.3	V6 alt/dyke			<p>⊙ à ≠ au contact supérieur: bleuâtre ⊙, aph, pas d'évidence de Fx. Apparence graduelle mais rapide de r++ ds matrice beige (% matrice variable) Rx très dur.</p> <p>1121-1127: brunâtre 1122-1125: évidence de (pseudo) Fx α</p>	r-r+		<p>✓ 1108': 40° A.C 1112': 35° A.C 1124': 40° A.C 1138': 45°</p> <p>Note: app x matique mais très dur où peu de K.</p>
1117-1160.2	V6? r++	vert à brun grenu		<p>1128-1130: K vert-olive pâte. 1130-1139: vert-loc vert-bleu ↳ présence fu.</p> <p>1139-1150: brun vert, K jaunâtre 1150-1160.2: brun + fonce grain + fin loc bandes p/f fine 1-2 cm - cptr.</p>	r++ K, fu, loc chl noir		
1127.3- 1128			mj. qj déformés.				
1134.2- 1136			Uq j chl nacr + K microplissé jaune + gris				
1160.2- 1168.7				<p>ZONE VQ + K jaune + chl noir ± fu (aqua) + ser. argentée + Rx ≠ + j</p>			
1168.7- 1200.3							
1168.7- 1181.9	Dyke?	grenu bleu-vert		<p>1167.7-1167.9: boue de faille ↳ zone ≠, altérée (dyke?), recoupe de Vq</p> <p>≠ grains étirés beiges gris et verts, équigranulaires. tacheté de r vert foncé</p>	K, fu, r chl K arg, verdâtre		

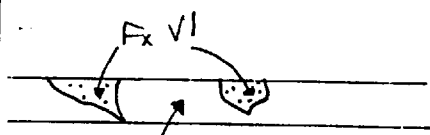
Profondeur	Roche	Granulométrie et Couleur	Structure Secondaire	Texture et Structure	Altération	Minéralisation	Remarque
1181.9-1184	Dyke fels.	gr. fin vert pâle		○. homogène		py 1%	1170' : 30° A.C.
1184-1187				Vq chl fu py Kjr (+Rx).		py ≤ 1%	
1187-1189.2				≠, vert foncé, grenu, K argenté	Lx? K, chl.		1188.7-2000.3 : Rx ≠ vert ± alt: V6? dyke?
1189.2-1190.8		vert pâle gr. fin.		+ pale, ≠, comp. + α ou alt. diff.	K vert + jaune loc. fu.	py < 1%	
1190.8-1192.2				Vq +(chl+K) filamenteuse j py	chl noire K jaune à vert-arg. mica vert aqua.		1180' : 30° A.C. 1193' : 50° A.C.
1192.2-1194.1				≠ grenu vert foncé + jaune	rt	py < 1%	
1194.1-1194.6				Vq chl K fu j 55° A.C.			
1194.6-1195.9				≠ grenu vert foncé lev. 2' : fu + plissé minces Vqj déformés.	r? K jaune chl / fu.		
1195.9-1197.7				Vq min. noir - w		cp < 1% py tr.	min. noir : w? amph? aggrégats de fines argilles noires à gris foncés, durs parfois à bouts carrés, parfois bouts pointus.


Profondeur	Roche	Granulométrie et Couleur	Structure Secondaire	Texture et Structure	Altération	Minéralisation	Remarque
1197.7 1200.3		vert		± grenu, altéré texture micro-bréchique (dur au #?)	loc fu, r, chl.		1198': 45° A.C. 1207': 35° A.C. 1217': 45° A.C. 1235': 45° A.C. 1243': 40° A.C.
1200.3- 1467			Vg + boves de faille.	Alternance de passages α-i (V1?) et de passages mafiques (V6) loc. altérés. Localement: passages V2 ± ● ≠ variable. Contacts souvent altérés (K)	loc. K, r		
1200.3 1205		V6?		leg. ±, K ⁺ , r, loc Ktt	K r.		
1205- 1206.5			Vg blanc j. rouillé				
1206.5- 1219.4		V2? gris pâte		Matière K grise contenant 10% loc découpée par filets de chlorite les. ≠.	K grise r +		mon
1219.4- 1228.7		V1? V2? gris foncé (bleu)		Rx grise dure, app. homogène, contenant r + py diss. loc ≠, texture loc pseudo fracturée causée par filets r		py < 1%, diss + en filets ass. avec chl.	équivalent du V20 du W 87-19(?) sauf pas Δ
1228.7- 1232.4			Vqj RxØK chl noire			py < 1%	
1232.4- 1239		V6?		Rx vert, les ≠, loc v, loc texture "ponceuse" (lentilles foncées rayables // ≠), loc. alt.	Ø, K	py fine < 1%	

Profondeur	Roche	Granulométrie et Couleur	Structure Secondaire	Texture et Structure	Altération	Minéralisation	Remarque
1238.4 - 1239				boue de faille			
1239 - 1266 -	V1-V2	gris		comme V1 plus haut loc. passages lessivés (+ pâte) ● à pseudo fxtair	∅, loc K, v	py en filets + py fin total 1% cp tr.	
1266 - 1270 -	V6 ?	vert		phan. passages K,	∅		√1260': 55° A.C. 1277': 40°
1270 - 1270.8				boue de faille			~~~~~
1270.8 - 1287 -	V2	gris		≠, (Rx ● altérée et ≠) loc rubannée avec minces filets chl. loc. K brun (1 ^{er} pied Δ avec mesure Kchl)	K + gypse	py diss. ≤ 1%	mon.
1287 - 1311.3	V6	vert phan.		généralement homogène gris loc altér. (K vert olive)	K		√1287': 35° A.C. 1313': 45°
1311.3 - 1322 -	V1	bleu-gris		Pseudo Fx - ●, v, r		py < 1% en filets	
1322 - 1326.6	V6 ?	phan brun-vert		altér., K, v	K v		
1322.6 - 1333	V1			pseudo fxtair			

Profondeur	Roche	Granulométrie et Couleur	Structure Secondaire	Texture et Structure	Altération	Minéralisation	Remarque
1333 - 1360 -----	V6 aph - (alt) phan (r)		3x Vg rad .1'.2'	≠, altéré. loc. zone K jaune discordances sur schistosité r tr à vt	∅, K guse-vert pâle loc vert-olive r		✓ 1336': 45° A.C. 1355': 35° 1387': 50° 1397': 50°
1337.8 - 1344.4				zone dirj. de gids Rx ≠, K, r loc II loc. chl. noire		py 17% cp < 1%	
1360 - 1375.1 -----	U1	gris		gèn ∅, recoupe veinules chl ± K			
1373 - 1375				carotte en blocs.			
1375.1 - 1422 -----	V6	vert à vert olive aph - phan. à les. grenu.	loc. Vg laitex r .2:3	∅ à les ≠, ± K, r tr à vt recoupe par filets chl, ≠ r	K, r (K ou Lx?) loc. lessivé		
1381.7 - 1383.3					∅	py 10-30%	
1385 -		+ grenu			+ K, + r		
1397.2 - 1397.5			Vg laitex.				

Profondeur	Roche	Granulométrie et Couleur	Structure Secondaire	Texture et Structure	Altération	Minéralisation	Remarque
1409.6 1411			Vqj dr.f. .3' " " 1'				√ 1422': 45° A.C. 1436': 50° A.C. 1467': 50°
1422 - 1443.7 -----	V2	beige à gris verdâtre aph.		⊙ à pseudo fxtaire, contenant r trace, découpé par filets chl noire + r (?), ≠ variable dernier pied Δ	K, chl, - Jaune argenté noir		
1443.7- 1450.7 -----	V6?	vert aph.		aph. K ⁺ -chl	K verte -jaune		
1449.8- 1450.7			Vqj chl noire fil (ou K?)				
1450.7- 1467 -----	V1	gris		⊙ à pseudo fxtaire dernier pied: ≠ filets K jaune+noir	✓, loc K	py < 1%	
1455			Vqj py ≈ 11A.C 1.6'				
1467- 1599 -----	V6? V4	aph.-phan gris verdâtre loc gris foncé loc brunâtre	loc verruques 9 mm plissées aussi .loc Vqj vad.	gén. homogène, loc plus Ktrchl. loc. passages aph.alt. K ⁺ (trchl, brun) (vert) gén. ⊙ à lég ≠. contient aussi passages V1 et V4 (P). Loc # Loc. apparence fx taire → lentilles matiques ds. matrice + α	K ∅, loc r ds zones K	py tr cp tr	altération variable peut-être tout V1 avec alt. hétérogène.

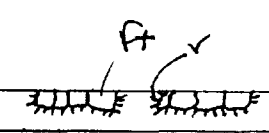

Profondeur	Roche	Granulométrie et Couleur	Structure Secondaire	Texture et Structure	Altération	Minéralisation	Remarque
1470.2-1472.4			Vqj r grossier + nodules py massive + Fx jg bordés obs			py 3%	
1475			Vqj r py ≈ 15°				
1476			"				
1486.4-1492.5	VI	gn's		+ α?, r, ⓪, fracture avec filets chl K + r	K grise r.		
1492.5-1493				Fx VI ds matrice K+chl altérée.			
1504.8-1505.3				Passage (K chl) ⁺ + Vqj + r (angle entre dir de xtal qj et plans K ≈ 15°)			K + chl aph. gn's brun.
1508.2-1511		grain fin gris foncé		matrice grain aph contient lentilles chl loc bordées de q, // r Aussi plans. de chl traversent la carotte	⌀?		lentilles en 3D. ponces? début de filets ou veinules chl?
1511-1512.2			zone ⌀ avec Vqj + chl-K noire py tr.		K grise r	py en filets 4%	
1512.2-1513.5		VI					
1516.9-1524.8		grain fin gris foncé		lentilles chl.	⌀		

Profondeur	Roche	Granulométrie et Couleur	Structure Secondaire	Texture et Structure	Altération	Minéralisation	Remarque
1524.8- 1526	V1	gris			✓ K _g -iss		✓ 1487' : 55° A.C. 1507' : 55° A.C. 1527' : 45° 1537' : 40° 1547' : 50° 1557' : 60°
1526- 1599.1 -----	V6	vert à gris vert à beige aph-phan		⊙ - ≠ loc alt (Ktrchl) ⁺			
1544.6 1545.2			zone inj qj défor- mées, Ktrchl + py + Vqj laitex .1"			py 1%	
à 1545.6				patron de pli ds Kchl apha cause par déplacement d'un veinule chl. (disc) sur plans de glissement.			
1551			Vj q py .1"				
1553-			loc veinules q gris clair de forme et direction irrégulières 3-5 mm			py 1%	
1554.8- 1555.4			Vq laitex j avec éponge Ktr qui recoupe (disc.) la roche non-alt.				
1557			Vqj tension xtal radial 2cm. 30°				

Profondeur	Roche	Granulométrie et Couleur	Structure Secondaire	Texture et Structure	Altération	Minéralisation	Remarque
1567.7 - 1569.1				# altér.	K beige		
1569.1 - 1570.2			Vg j w disc. sur carotte en blocs				
1583.2 - 1584	dyke felsique?	□, vert pâle		□ ou Fx q + lent. fu ds K jaun			✓ 1558': 55°
1584 - 1597.2				pâte-verdâtre loc tentilles chl		py 1%	1569': 55°
à 1597 -				Pl. : plan axial 70° A.C. ouvert, asym.			1593': 50°
1598.6 - 1599.1			Vg j rou chl M cp.				1609': 55°
1599.1 - 1651.2	V6 alt et/ou dyke					py 1% cp < 1%	1624': 50°
1599.1 - 1641.7	V6 ou dyke + Vg	grenu	généralement: ou chl? Vg r grossier j ± py loc w, loc chl	leis à ≠, K + v, loc altér + loc <u>bases de faille</u>	K grise loc. jaune vert rt + vt	py tr - < 1%	zone de faille: <u>bases + Vg</u>
1600.1 - 1603.9			Vg lartoux j py cp			py < 1% cp < 1%	
1611.6 - 1613.2				K altér, base de faille .1'	K verdâtre		

Profondeur	Roche	Granulométrie et Couleur	Structure Secondaire	Texture et Structure	Altération	Minéralisation	Remarque
1613.2 - 1614			Vqj w discordante				NOTE: Boîte # 1614.6 - 1633.2: la première moitié pourrait être en discordance.
1614.6 - 1615.5						py 2-3%	
1616.6 - 1617			Vq				
1617 - 1618.6				boue de farine			
1620.1 1621.7			Vqj v chl nare (au d) échant.				
1623.3 - 1627.1			Vqj rw py				
1628 - 1633.2			Vqj filets chl + K			py < 1% py tr.	
1633.2 - 1638.5			minces Vqj	Rx K ⁺⁺ r ⁺⁺ , #,	K jaune à verte à argente v.		
1632.5 - 1632.8			Vqj w				
1638.5 - 1641.7			Va j r K w py			py < 1%	

Profondeur	Roche	Granulométrie et Couleur	Structure Secondaire	Texture et Structure	Altération	Minéralisation	Remarque
1641.7 <u>1651.2</u>	V6	phan. brun à brun-vert	veinules qj discordan- tes.	K + chl + v recoupré par plans chl loc norve. certaines bandes: texture chl ou v ds matrice pâle dure (pas altérée K)		py + - : iptr.	1646' : 50° A.C. 1666' : 70° 1670' : 65° 1680' : 60° 1695' : 60°
1642.7- 1644.2							
1651.2- <u>1714.6</u>	V11 α ≠ ou V2 Δ	gris.		Fx (bandes ou lentilles) V2 (+ Fx q) gris pâle à gris à rose, #, arrondis à étirés, découpés par filets chl + v + K brun jaune (loc. très jaune). Texture pseudo-Fxative superposée sur texture Fxative loc zones (pas Fxative) ≠. (1655-1658') - bandes K v parfois à ≠ <u>AN</u> <u>≠ - ≠ +</u>	v K	py < 1% loc 1% gén. en filets // ↓	Fx primaires : loc ronds avec √ disc. loc bandes K+v en contact disc. avec V2
1660.8- 161			Ug laitux v j disc. sur √. 55° A.C				
1674.4- 1674.7				bande K <u>jaune</u> + v en filets < 1%. Contact lég. disc sur direction des Fx.			

Profondeur	Roche	Granulométrie et Couleur	Structure Secondaire	Texture et Structure	Altération	Minéralisation	Remarque	
1688.4-1689	V6 ?	beige-gris matrice aphanitico-crystalline	Vq laiteux à gris +w en bande + Fx Rx // axe de la veine, 45° A.C.					
1697.4			Vq cp ... 1', 30° A.C.			cp < 1%		
1713.4-1715			Vq r() disc. contact inf. ⊥ v v ds. veine a xtalles autour des Fx					9 
1718.1-1720			Vq laiteux, v disc. contact sup.: 40° A.C. inf.: 10° A.C.					
1738-1738.4			Fx qj py pris ds. ≠					
1744.6-1818.5			apparence  , composée de matrice gris beige (K?) et v. rien d'autre. homogène. loc th. ↑			K, v, K loc jaune à verdâtre		
1750-1752			Vqrj, lambeaux Rx					
1752.1-1752.5			boue de faille					
1760-1762.5	Vqjr (r en bord. de v) + lambeaux Rx contact sup. ≈ 40° A.C. inf. ≈ 11 A.C.							

Profondeur	Roche	Granulométrie et Couleur	Structure Secondaire	Texture et Structure	Altération	Minéralisation	Remarque
1815			Vg jr cp .1', 45° A.C			cp < 1%	
1818.5	FIN	DUTROU					
	Tubage	laissé					

ANALYSE DES CAROTTES DE FORAGE: GEOCHIMIE

Unité	No. Echant.	de	à	Longueur				SiO ₂	Al ₂ O ₃	FeO	MgO	CaO	Na ₂ O	K ₂ O	TiO ₂	P ₂ O ₅	MnO	CO ₂	S	H ₂ O-	LOI	Cu	Pb	Zn	Ni	Co	Ag	Au
				%	%			%	%	%	%	%	%	%	%	%	%	%	%	%	%	%	%	%	%	ppm	ppm	ppm
	6414	200	225	25			53.2	11.98	11.04	5.72	7.96	1.85	0.02	1.57	0.05	0.26	3.54	0.09	2.50	6.13	66	12	67	32	44	1.1	7	
	6415	425	450				49.8	12.09	11.19	6.47	7.13	2.63	0.04	1.52	0.12	0.19	4.95	0.45	2.73	8.13	108	16	88	39	48	1.5	6	
	6416	590	615				50.5	11.41	10.44	5.42	8.59	2.80	0.04	1.24	0.24	0.19	6.23	0.33	2.17	8.73	86	16	120	36	43	1.4	6	
	6417	776	795				53.9	13.33	9.46	1.92	6.17	2.15	1.24	1.54	0.17	0.23	5.68	0.45	3.14	9.27	86	11	85	36	54	1.1	8	
	6418	890	915				56.4	11.26	11.56	3.56	7.06	2.30	0.12	1.93	0.17	0.18	3.38	0.52	0.91	4.81	45	11	120	24	41	1.2	7	
	6419	1030	1049				55.8	13.32	10.33	1.92	4.66	1.18	1.13	2.07	0.28	0.24	4.62	1.08	3.20	8.90	53	11	537	47	52	1.2	8	
	6420	1058	1074				54.0	15.58	15.02	3.84	1.79	0.67	1.02	1.04	0.04	0.25	1.15	0.35	4.70	6.20	332	14	698	97	33	1.7	7	
	6421	1125	1150				51.0	15.42	10.50	2.30	6.33	1.06	0.46	1.34	0.08	0.24	4.81	0.35	5.69	10.85	54	7	52	51	35	1.0	10	
	6422	1239	1265				74.0	11.26	7.06	1.24	0.97	0.62	0.60	0.54	0.16	0.06	1.22	0.29	1.56	3.07	93	3	76	25	18	1.0	10	
	6423	1386	1409				50.7	16.80	6.57	2.49	6.75	1.98	1.09	1.17	0.25	0.16	8.10	0.17	3.41	11.68	84	7	56	70	34	1.3	7	
	6424	1452	1467				73.9	12.40	3.53	0.86	1.88	1.23	0.58	0.55	0.55	0.04	0.99	0.41	2.40	3.80	66	1	13	17	14	0.6	6	
	6425	1528	1550				59.3	14.06	7.85	1.84	4.67	1.62	0.45	1.16	0.23	0.15	5.66	0.59	1.74	7.99	112	7	38	56	45	1.1	6	
	6426	1662	1687				73.4	12.70	7.02	0.53	1.04	0.39	0.21	0.99	0.46	0.15	1.20	0.47	0.79	2.46	24	1	15	13	8	0.4	8	
	6427	1772	1794				59.4	17.58	4.69	1.58	4.56	1.98	0.87	0.95	0.34	0.12	2.12	0.01	5.69	7.82	115	3	22	11	10	0.6	7	

ANALYSE DES CAROTTES DE FORAGE: SULFURES

Unité	N° Echantillon	De	à	Longueur	ANALYSES							MOYENNE PONDERÉE											
					Estimée		% Cu	% Zn	Ag ppm	Au ppb	% Fe	De	à	Longueur	% Cu	% Zn	Ag ppm	Au ppb	% Fe				
	6271	627	629.7	2.7					101		101/101	627	634.4	7.4				202					
	6272	629.7	634.4	4.7					260														
	6273	634.4	638.9	4.5					71														
	6274	638.9	640.5	1.6					55														
	6275	640.5	643.6	3.1					18														
	6 76	643.6	644.7	1.1					28														
	6277	644.7	648.7	1.0					21														
	6278	660	665.6	5.6					18														
	6279	697	698.6	1.6					28														
	6280	698.6	699.7	1.1					55														
	6281	699.7	702	2.3					32														
	6182	702.0	704.3	2.3					25														
	6193	704.3	707.0	2.7					25		25/25												
	6283	707	710.4	3.4					28														
	6284	710.4	712.5	2.1					173			710.4	713.3	2.9				126					
	6285	712.5	713.3	0.8					166														
	6286	713.3	715.6	2.3					44														
	6194	715.6	719.6	4.0					25														
	6287	719.6	721	1.4					18														
	6288	721	723.3	2.3					30		28/32												
	6289	724.1	725.7	1.6					23														
	6290	730.1	731.1	1.0					23														

ANALYSE DES CAROTTES DE FORAGE: SULFURES

Unité	N° Echantillon	De Pieds	à Pieds	Longueur Pieds	ANALYSES							MOYENNE PONDERÉE								
					Estimée		% Cu	% Zn	Ag ppm	Au ppb	% Fe	Gold check	De	à	Longueur	% Cu	% Zn	Ag ppm	Au pp	% Fe
	7311	936.7	938.3	1.6						37										
	7312	938.3	941	2.7						18										
	7313	941	943	2.0						21										
	7314	943	945	2.0						41										
	7315	945	947	2.0						67										
	7316	947	949.2	2.2						93	99	87								
	7317	949.2	951.7	2.5						76			951.7	1029	77.3			189		
	7318	951.7	954.3	2.6						129			951.7	9806	28.9'			217		
	7319	954.3	956.1	1.8						626										
	7320	956.1	958.3	2.2						513										
	7321	958.3	960.2	1.9						76										
	7322	960.2	962.5	2.3						127										
	7323	962.5	965.4	2.9						115										
	7324	965.4	967.7	2.3						48										
	7325	967.7	970.	2.3						67										
	7326	970	972.5	2.5						359										
	7327	972.5	974.7	2.2						478	478	478								
	7328	974.7	977	2.3						44										
	7329	977	978.8	1.8						115										
	7330	978.8	980.6	1.8						209										

ANALYSE DES CAROTTES DE FORAGE: SULFURES

Unité	N° Echantillon	De pieds	à pieds	Longueur pieds	Estimée		ANALYSES						MOYENNE PONDÉRÉE											
					Cu	Zn	% Cu	% Zn	Ag ppm	Au ppb	% Fe	Gold check	De	à	Longueur	% Cu	% Zn	Ag ppm	Au ppm	% Fe				
	7465	1338.2	1340.4	2.2							1098			1338.2	1342.7	4.5				1175				
	7466	1340.4	1342.7	2.3							1249													
	7467	1342.7	1344.5	1.8							81													
	7468	1344.5	1348.4	3.9							21													
	7469	1359.6	1365.6	6.0							41													
	7471	1378.6	1381.7	3.1							28													
	7472	1381.7	1383.3	1.6							469													
	7473	1383.3	1386.3	3.0							21													
	7474	1386.3	1390.2	3.9							35													
	7475	1397	1399.4	2.4							44													
	7476	1409.4	1412	2.6							71													
	7477	1420.6	1424	3.4							18													
	7478	1424	1429	5.0							14		14/14											
	7479	1433	1437.3	4.3							12													
	7480	1449.5	1451.8	2.3							12													
	7481	1454.6	1456.5	1.9							14													
	7482	1463.8	1467	3.2							21													
	7483	1467	1471	4.0							21													
	7484	1471	1472.3	1.3							14													



Journal de Sondage

MAZARIN

EXPLORATION

Coordonnées									
Forage no. W-97-21	Latitude:	Départ:	Elévation:		Pendage: -60°		Azimat: 330°	Profondeur: 1497'	
Localisation	8100 W S 27100 S	Commencé le: 25-09-87 Terminé le: 7-10-87	Déclinaison -13° Magnétique		Diamètre de B.Q. la carotte		<u>BUT DU TROU</u>		
Projet	Province	Canton	Bloc	Rang	Claim	Grillage	S.N.R.C.	Faiite Glenwood, contact V6/V2	
Wilco	Qc.	Rouyn	190		C.M.265				

<u>Test à l'acide</u>				<u>Test au Tropari</u>		
<u>Profondeur</u>	<u>Pendage</u>	<u>Profondeur</u>	<u>Pendage</u>	<u>Profondeur</u>	<u>Pendage</u>	<u>Azm. Astronomique</u>
10'	58°	800'	39°	1032'	35°	350°
100'	54°	900'	38°			
200'	52°	1000'	37°			
300'	52°	1100'	36°			
400'	52°	1200'	33°			
500'	47°	1300'	30°			
600'	46°	1400'	—			
700'	41°	1492'	27°			

Profondeur des coins: _____

LF C-648 Contracteur: Hosking.....

Journal par: D. Héon.....
Date:

Profondeur	Roche	Granulométrie et Couleur	Structure Secondaire	Texture et Structure	Altération	Minéralisation	Remarque
115-152					pseudo □ j		√ 115' : 30° A.C. 134' : 30° 147' : 25° 162' : 27°
126.8-127.7			Vg j + Rx π, irrég. 30° A.C.			py 1%	
146.3			veinules cc + chl				
163.8-167			Vg j chl, X arsenite Ex altér. sp			py tr. cp tr.	
167-190			veinule q j py c.1'	Rx V6 homogène ≠	tr's K.	py < 1%	
169.3-169.9			Vg				
170.4-184				loc. carotte en blocs			
179.2-179.6			Vg j chl				py fine diss : tr - 2%
189.2-191				carotte loc. en blocs.			
190.4-190.8			Vg j chl		épaves π		

Profondeur	Roche	Granulométrie et Couleur	Structure Secondaire	Texture et Structure	Altération	Minéralisation	Remarque				
191.9-200.3	V6 K	phan gris brun à beige	verminutes j conc + disc.	zone (Vqj + Rx Ø + R&K) Δ ≠	K gris brun à beige les Ø	py 1% pour dernier pied	Faille ? 188' : 25° A.C. 206' : 25° 221' : 30° 232' : 25° 240' : 25°				
200.3-211				V6 hétérogène, loc altéré loc Δ ou du moins Δ avec fx dévitiifiés.							
211-3628				○, gén. homogène, V, altéré loc ○ ?							
213.5				V j chlq py conc. 2cm.				carotte en blocs pour l'	py 1%	py 1%	
218.2				V j q py boudinée ≈ 1cm							
226											
246.8-247				V j q py < 1% conc.							
249.6-249.9				V q j py 1% conc.							py 1-2%
281.5-286.5				minces ≠, bandes chloritiques verdâtres déroutées par filets K bruns							
311.3-317				V q j R x K py (+ traces couleur eau)							

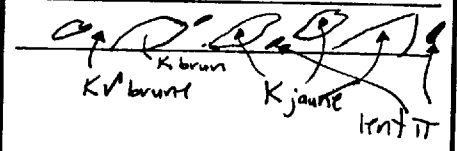
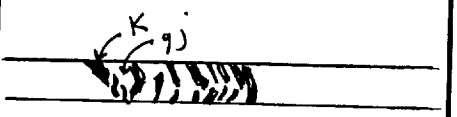
Profondeur	Roche	Granulométrie et Couleur	Structure Secondaire	Texture et Structure	Altération	Minéralisation	Remarque
362.8- 400.8	V6 ?		Vj disc. 1-2cm.	≠, principalement composé de K gris à beige et v à vt début A ou pseudo-Fxtair	K, vt		√ 317' : 30° A.C. 323' : 30° 337' : 30° 371' : 35° 380' : 40° 392' : 40°
366				mince boue de faille			
373.3			Vcc bleue py 1% conc. 2cm.				
375.3- 375.6			Vj q conc.				
400.8- 679	V2 (loc V6)						
400.8- 426.7	V2 ≠			≠, Plans de K gris contenant lentilles de py (loc. en bandes) per 2' : K+ brun p loc petits Fx	K gris	py gen 2-3%	√ 407' : 35° A.C. 425' : 45° 437' : 40° 447' : 45°
408- 408.8			Vg + filets K				
413.8- 416.1						H 5-10%	
416.1 - 416.5			Vg K chl j				

Profondeur	Roche	Granulométrie et Couleur	Structure Secondaire	Texture et Structure	Altération	Minéralisation	Remarque
426.7- 448.2 -----	V2 D			Fx U2 arrondis fracturés (fractures chl+j+g?) découpés par K vert vā Fx. loc. allongés. les ≠ distribués de façon hétérogène		$py \leq 1\%$	
448.2- 476.6 -----	V6		Veines cc Vg au contact sup. très brun.	les ≠, homogène, K loc. Fx fine (Vg?)	K brune.		
476.6- 544.7 -----	V2 D à 0			comme V2 D plus haut sauf Fx + gros, -K Fx loc TT + loc py intersti- tielle. loc. r ds plans K.	K r	$py \leq 1\%$ loc en filets 20%.	V2 fracture, rempli de q+j
517-517.6 517.6-517.9 de 517.9- 544.7				filets K ou chl gris foncé Filets de py ≈ .5cm V2 ● découpé par plans K		py 20-25% par v.3'	NOTE: de S18-522 V2 ou Vg?
544.7- 552.2 -----	V6	vert-brun phan		les ≠	les K		

Profondeur	Roche	Granulométrie et Couleur	Structure Secondaire	Texture et Structure	Altération	Minéralisation	Remarque
544.7 - 548		vert			py fin	py fin et en filets 10%	1537' : 35° A. r.
546.3 - 546.6			Vq 40° A. C. j+Kx tr.				545' : 40°
548 - 557		brun-jaunâtre (marde)		V6? , graduellement +K. (r?)	K ⁺⁺ brun jaunâtre		560' : 25°
557 - 679	V2 ≠ loc Δ	gris		V2 ^{gris} et pseudo fixative (+fixative?) droupes par Kausaire, loc zones de K _{brun} à jaunir. py en filets // Δ, loc ✓	K, r, loc Ø? loc Kalt: jaune. loc chl. noir	py 1-2%	565' : 40°
557 - 557.3	v2 dur						580' : 40°
557.3 - 561.5				K gris-brun pâle + r < 5%	K ⁺ , v		
572 -				carotte en mreaux - boue?			
581.3 - 582.3				passage avec ^{landes} K brun jaune + chl noir			~~~~?
584.7 - 585.4				"			

Profondeur	Roche	Granulométrie et Couleur	Structure Secondaire	Texture et Structure	Altération	Minéralisation	Remarque
606.4- 608.5				passage K brune + petits filets chl.			pas de textures primaires.
610.1- 610.5				passage K brune + chl noir			↗ 586' : 40° A.C.
611.1- 613				passage K brun			597' : 40°
616.6-622		gris + farré			log Ø?		606' : 40°
629.6 634.2			zone d'inj q + j (v?) ds U2 ≠ K, py englobés			622.6 - 623.3 : 15%	627' : 45°
635.5- 636.2			Vq j U2 K f			total 1% - 2%	635' : 40°
636.5- 637.4				passage K brun			645' : 45°
642.1- 648.8				extreme, passage f brun.			650' : 40°
648.8- 649.2			Vq r K badine?				657' : 40°
649.9- 653				passage K ⁺ brun + loc chl ou K noir, loc minces fractures noires? disc. sur √ 25° A.C. ≠ fract → 10°			pas de textures primaires
654.3- 654.6			Vq j K jaune chl noir				

Profondeur	Roche	Granulométrie et Couleur	Structure Secondaire	Texture et Structure	Altération	Minéralisation	Remarque
671.8 -673				Fx q arrondis ds K jaune à v variable - faille (bour?)			~~~~~
673- 679				V2 ≠ Fx avec K ⁺ , loc K jaune			657': 30° 667': 25° 677': 40° 697': 40° 717': 35° 727': 30°
679-1497	V6						contact sup grad. //A contact de Fx à tout jaune: suit de tégan invés. (S'imprégné) contact inf: //A
679- 767	V6	gr'n aph vert-gris pâle + beige		finement ≠, altér. app. loc pseudo Fx brune causée par bandes beiges intercalées avec zones chloriteuses - aussi petits Fx mm arrondis à lenticulaires: déroupage de matrice par K au vrais Fx? ou D?	K beige? alt style argillique? ✓	loc py en globules (presque 0) gr'n < 1%.	
750- 754.6		beige très pâle		loc. r ds plans K beige			
761.1			Vq j disc. 1' 50° A.C.				747': 35° A.C. 767': 35° 787': 35° 795': 30° 805': 30° 811': 30° 827': 30° 842': 27°
765.4- 765.6			Vq j conc. de F. 25° A.C.				
767- 843	V6 K ⁺			caractérisé par K jaune ● contenant ds Fx mm π gr'n. //A débüt de l'unit. moins altér. et Fx avec → matrice K gris brun	K jaune + brun.	py 1-2%	

Profondeur	Roche	Granulométrie et Couleur	Structure Secondaire	Texture et Structure	Altération	Minéralisation	Remarque
767-780.5				Fx K jaune + Fx K brune + lentilles q + py ds matrice K brune			Fx taux
780.5				K jaune gen + petites lentilles py. loc "cavités" remplies q + j + py + K			
788.5-789.2			inj qj ds K jaune lambeaux K encore en place				
795.6-795.8			Uqj + Rx K.				
827.5-829.2			texture Δ, inj qj				
832-833			inj qj irrég. ds Uqj				
836-843				seulement loc. jaunes :- altér. gen. matrice K gris-brun (en fait petit passage verte comme unité précédente) grosses lentilles de py (loc en cubes jusqu'à 2cm)		py 2-5%	

Profondeur	Roche	Granulométrie et Couleur	Structure Secondaire	Texture et Structure	Altération	Minéralisation	Remarque
843-	V6						
843- 876.2	V6	brunâtre aph.		V, alt K, loc. K ⁺ , app. loc. pseudo fxtive	K.	py +.	contact inf. veinules qj fillets K. 1847' : 40° A.C. 857' : 35° 867' : 35° 877' : 45°
865- 865.3				passage α ou Vqj def?			
870.2- 870.5			Vqj chl. con r ≈ 35° A.C.				
876.2- 1497	V6	vert loc vert pâte (log K) et vent fonce (Ø) loc gris	veinules j mm con. + Vqj discr → 1/5'	V, (≠?) à 0, loc fxtive (Vq?) loc. CO, loc. Δ. sein. pas altéré. loc. passages K jusqu'à 911' loc. petits grains très blancs: texture verre fantôme : Δ? CO? passage beige à dricoupe par K brun.	loc Ø vert loc r		contact sup. fran.
898.8- 900.4							
900.4- 900.6							
907-901			Vqj + fillets Ktchl py	K, app Δ, pseudo fxtive	K.	Vqj < 1%	
922-923							
928.7-929.2			Vcc ≈ 11 A.C. Vcc V6 chl q con r.				

Profondeur	Roche	Granulométrie et Couleur	Structure Secondaire	Texture et Structure	Altération	Minéralisation	Remarque
929.2- 947.7				app. Fxtaire ? VG découpé par chl trpk, forme lent.			√ 907' : 35° 937' : 30°
924.8- 926					K		1022' : 35° 1060' : 35°
947.7 948.2				Δ, Fx VG ds matrice j			1137' : 40° 1177' : 40°
948.2- 948.8				bour ?			
1011- 1055			Nombreuses veinules j	loc Δ avec matrice j			
1011- 1015				Δ, inj qj			
1111.5-111.7 et 1111.9-112			Vg chl j				
1145- 1497				passage à chloritization variable (Φ?) app. Pseud- Fxtaire à Fxtaire loc. Fx K (Vg B ?)			
1148- 1149				loc #, loc pass. Φ suivis de pass. K	Φ - Φ+		
1179.8- 1180.1				Inj qj VG ± K.			

Profondeur	Roche	Granulométrie et Couleur	Structure Secondaire	Texture et Structure	Altération	Minéralisation	Remarque
1207- 1287		phan		sen ●			✓ 1180': 50° A.C. 1200': 50° 1360': 45° 1373': 45° 1417': 48° 1455': 50° 1495': 55°
1319- 1325					Φ + K : co ?		
1340.5- 1340.8			Vg j chl				
1359.3- 1359.5			Vg j chl py				
1361.2- 1361.4			Vg j chl / 75° ac: 2'			py +.	
1361.8- 1361.9			" . 1'				
1362.2- 1362.3			" . 1'				
1399.4- 1401.5			Vg chl j - v6φ				
1441- 1461				H, Fxtaire	loc K		
1455.8 1456.4				Fxtaire A, K .			
1483.7- 1484.2			V q j Rxφ 60° A.C.				

Profondeur	Roche	Granulométrie et Couleur	Structure Secondaire	Texture et Structure	Altération	Minéralisation	Remarque
1467				⊙ pour 1'			
1496 - 1496.2			Vcc + g dégroupés par 1K				
1497	FIN DU TROU						
Tubage	laissé						

ANALYSE DES CAROTTES DE FORAGE: GEOCHIMIE

Unité	No. Echant.	de	à	Longueur				SiO ₂	Al ₂ O ₃	FeO	MgO	CaO	Na ₂ O	K ₂ O	TiO ₂	P ₂ O ₅	MnO	CO ₂	S	H ₂ O-	LOj	Cu	Pb	Zn	Ni	Co	Ag	Au	
				%	%			%	%	%	%	%	%	%	%	%	%	%	%	%	%	%	%	%	%	ppm	ppm	ppm	ppm
	6470	55	80					49.90	13.09	9.86	4.90	7.89	3.11	0.08	1.17	0.08	0.27	8.51	0.11	0.79	9.41	114	12	69	42	44	1.3	7	
	6471	137	162					49.1	13.74	9.11	3.86	6.65	1.90	0.97	1.63	0.11	0.26	5.45	0.29	6.47	12.21	118	10	66	47	48	1.2	7	
	6472	222	247					55.6	15.21	7.23	2.33	5.02	2.04	0.98	1.70	0.22	0.23	5.73	0.47	2.64	8.84	131	7	59	40	44	1.0	8	
	6473	340	362					51.7	13.97	14.26	3.55	4.22	0.93	0.36	1.58	0.30	0.34	4.14	0.53	3.42	8.09	33	12	161	40	33	1.4	6	
	6474	375	395					57.0	15.59	7.16	1.62	5.70	1.35	0.71	1.84	0.42	0.21	5.36	0.47	1.90	7.73	23	7	72	23	33	0.9	10	
	6475	423	448					69.6	12.98	3.41	1.53	3.02	0.93	2.10	0.52	0.36	0.11	1.86	0.29	2.80	4.95	9	5	72	10	8	0.4	11	
	6476	505	530					77.9	13.13	0.60	0.29	0.96	0.96	2.34	0.47	0.37	0.04	1.27	0.21	1.10	2.58	6	2	28	14	5	0.3	9	
	6477	586	611					78.5	12.10	1.00	0.42	1.29	1.33	1.06	0.39	0.31	0.04	1.75	0.60	0.50	2.85	21	3	49	19	10	0.3	12	
	6478	695	720					58.3	14.70	7.26	1.13	6.12	1.39	0.83	1.75	0.48	0.21	5.43	0.28	1.61	7.32	24	8	76	12	17	0.9	7	
	6479	807	832					58.2	17.11	2.48	1.18	5.66	2.27	1.66	1.90	0.36	0.07	5.08	0.98	2.02	.08	96	6	96	89	50	0.6	6	
	6480	940	965					52.1	13.41	10.18	3.47	7.13	1.79	0.59	1.62	0.16	0.25	6.83	0.40	1.57	8.80	73	11	96	28	36	1.6	15	
	6481	1055	1080					55.6	13.90	8.46	3.17	5.77	2.54	0.63	1.83	0.21	0.20	5.13	0.66	1.10	6.89	76	10	79	39	42	1.4	7	
	6482	1185	1210					52.8	14.14	9.50	3.50	6.44	3.10	0.43	1.61	0.14	0.26	5.73	0.40	1.36	7.49	104	10	70	39	38	1.3	8	
	6483	1330	1355					52.0	14.57	10.42	3.40	5.87	2.63	0.39	1.68	0.10	0.25	3.38	0.47	4.25	8.10	127	11	76	31	39	1.4	8	
	6484	1474	1497					57.5	15.15	7.26	2.22	5.13	1.72	0.72	1.85	0.13	0.20	5.24	0.47	1.80	7.51	139	9	74	32	49	1.3	7	

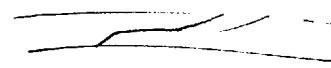
ANALYSE DES CAROTTES DE FORAGE: SULFURES

Unité	N° Echantillon	De Pieds	à Pieds	Longueur Pieds	Estimée		ANALYSES					MOYENNE PONDERÉE								
					Cu	Zn	% Cu	% Zn	Ag ppb	Au ppb	% Fe	De	à	Longueur	% Cu	% Zn	Ag ppm	Au ppm	% Fe	
	7620	507	512	5.0							16									
	7621	512	516.8	4.8							21									
	7622	516.8	519.6	2.8							41									
	7623	519.6	521.6	2.0							14									
	7624	521.6	526.5	4.9							37									
	7625 7625	526.5	530	3.5							55		35/74							
	7626	530	535	5.0							21									
	7627	535	539.4	4.4							25									
	7628	539.4	544.3	4.9							21									
	7629	544.3	547.7	3.4							44									
	7630	547.7	551.5	3.8							14									
	7631	551.5	557	5.5							21									
	7632	557	562.5	5.2							14									
	7633	562.5	567.2	2.3							14									
	7634	567.2	571.6	4.4							12									
	7635	571.6	573.9	2.3							23		23/23							
	7636	573.9	576.2	2.3							39									
	7637	576.2	581.3	5.1							41									
	7638	581.3	586.1	4.8							60									
	7639	586.1	591.5	5.4							25									

Profondeur	Roche	Granulométrie et Couleur	Structure Secondaire	Texture et Structure	Altération	Minéralisation	Remarque
0-57 57-74	Recouvrement		loc. Vj disc.	V6 ∇ alt + Vqj (+chl noire? \rightarrow dur) mais rayable V et ∇ // A.C. q laitue à gris	K, chl loc rouge	pas de minéralisation	
74- _____	V6	aph-phan vert à vert-gris	veinules j ⁺ qj	●, homogène, loc ⊙, loc ⊕ loc Δ et/ou ▽, monotone	gén η, loc ⊕ (vert) Δη, loc chl noire sur plans fract	loc py ds. (O rares tr. py en rubés ds. V6 ⊙	
74-111			loc zones Vqj réapparaissent		V6 loc lessivé		
375.5 [≈] 452				magnétique.			
537 [≈] 2000				magnétique			
964				carotte en blocs pour 1'			
1075.7- 1076			Vj'q				
1076- 1076.2				boite de faille			

Profondeur	Roche	Granulométrie et Couleur	Structure Secondaire	Texture et Structure	Altération	Minéralisation	Remarque
1082- 1212			veinules + pass. \leftarrow + Veqj staux de mt ds Veqj veinules hém.	Passages \leftarrow	\leftarrow , moins de plans de fract \emptyset	py tr.	+ dur
1158							
1159- 1162							
1186				bord \emptyset hém py . . 2' 25° A.C.			
1213- 1357		gris-vert foncé à vert g'n. phan. loc. aphy.		loc co	loc (rarement) \leftarrow (ht noire sur plans. fract.	py 1-2% en filets	
à 1213				carotte en blocs			
1292.5- 1297				co, V6 aphy alt + Δ + inj cc 1% \neq ? Etirement 25° A.C.		py tr.	
1299- 1299.6			inj. cc.		\leftarrow		
1328- 1331			Vcc épaisseur variable // A.C.				
1357-		vert	fractures loc \leftarrow Vcc dir. var.		loc \leftarrow		

Profondeur	Roche	Granulométrie et Couleur	Structure Secondaire	Texture et Structure	Altération	Minéralisation	Remarque
1433.8- 1434.8			passage E, vcc. vein				
1460.3 1464.6				(O, Δ, inj cc V6 ap h. loc bleu (mt)	mt		
1466.5- 1468			Passage E + veinules qj		E		
1503.8- 1505			Passage E				
1510 1515				carotte en blocs pour .5' carotte en blocs pour 1'			
≈ 1515.5			veinules cc contiennent hem				
1536-1537			passage E, Vg - pas d'E, veinules cc irreg.				
de 1545 - 1798 1549-1552				Δ, Fx Ang. V6 les less. ds. matrice chloriteuse loc Δ carotte en blocs.			M tr.
à 1573							
1640- 1641				passage bleue fortement magnétique fracture, veinules j+q	mt, n		

Profondeur	Roche	Granulométrie et Couleur	Structure Secondaire	Texture et Structure	Altération	Minéralisation	Remarque
1659			Vg gris $\leq 1\text{cm}$ 15° A.C. sinusoïdale py ds. éponge			py < 1%	
1735- 1735.3				co ? ϕ^+	ϕ^+		
1798 - \downarrow 1799.5 - 1799.7			loc \in (loc héim) Vg j ch/ $\epsilon + j$				
1830.5 - 1830.6				x laux de mt.			
1830.6 - 1835.2				co, Δ , veinules r			
1841.7 de 1844.5 - \rightarrow				loc plans de fract héim; loc chl non			
1846 - 1852				Fract héim // A.C. avec loc. Uj			
1856 - 1857				"			
1865.3 1866.5				ϵ			
1867				cavette en blocs pour $\approx 1'$ héim + ϵ sur plans de fract			

Profondeur	Roche	Granulométrie et Couleur	Structure Secondaire	Texture et Structure	Altération	Minéralisation	Remarque
1897-1898.6				←			
1916.7 1922				carotte loc en blocs			
1927.7-1927.9			inj j.g irrég.				
1921-							
1935-1953				micro fractures ←			
1943.6			veine ← 1-2cm ≈ H.A.C.				
1956.5 1960.3				Fract héim + chl + Vj H.A.C.			
1977.3 1980				ro, Δ (Δ?) loc Ø			
1995-1996.2				Fx ou Pseudo Fx V6 (petits) lent. ds K(?) brun			
de 2000 :				→ Gén. pas mag. (loc mag)			
2028.3-2028.8			venules gj d'ef + V6 K				de 1980 : ↓ : loc A + loc K.
2040.5-2040.8			inj gj + V6 lessive + py fine				✓ 1980 : 30° 2033 : 40°

py 3%

Profondeur	Roche	Granulométrie et Couleur	Structure Secondaire	Texture et Structure	Altération	Minéralisation	Remarque
2070- 2652.8	V6	gris-vert clair aph-phan aussi vert pâle à vert foncé	Vqj + Vj discr 1/2 + Vqj conc. de for- mées 2070-2213	grès v. lés ^{loc} et ≠, app. loc fritaire (Vq), loc alt (K) + zones ● lés v. non altérés matrice vert ± s. loc alt vert pâle de couleur par filets de chl. et loc bandes brues (K)	loc. K, loc Ø loc chl noire sur plans de fract.		def, altérations hêt. et variable (less, Ø, K).
2071- 2074.3				≠, alt,	vert pâle : less, K?		
2072.2- 2072.5			Vqj discr. 40° A.C.				
2082- 2082.8				≠, inj qj irréguliers.			
2153.2 2153.5			veinules mm-cm qj				
2154.1- 2154.2			Vqj (an K) discr.				
2158.3- 2158.7			Vcc chl angle irrég. ≈ A.C.				
2206- 2207 2265-2242 2247.8- 2248.3		→ lés grenu.		alter: bandes brues (K) et bandes, d vert foncé (Ø)	K + Ø		
2252.4 2253.1			inj. qj. conc. def. chl. noire + Vq discr II alt	V6 alt lessive, tt. + Vq def de lrm + py		py < 1%	
				V6 alt brisp		py 1% (ds Vq + partie)	

Profondeur	Roche	Granulométrie et Couleur	Structure Secondaire	Texture et Structure	Altération	Minéralisation	Remarque
2253.1- 2268.5 -----			Vqj déformées, (boud. Fx).	± alt. héit. loc Øt, loc K beige, loc K(?) loc Fx taive gris-mauve Sass. Vqj	K beige à gris Ø vert foncé		√ 2257': 35° 2277': 50° 2302': 40° 2317': 45° 2325': 50°
2268.5 2272.7			Vqj w ^{chl} + V6 alt + py cp	échantes TT (.5' sup, 1' inf.)		py ≤ 1% cp + v.	
2288 - 2289				Passage alt beige + bande Øt avec inj qj cp		cp < 1%.	
2291 - 2291.4			K beige, V6 qj dr-f.				
2298.8 - 2311.2 2309.3 - 2304.5			Vqj conc boudinés Vqj disc. 55° A.C.	±. les tt, Ø (vert foncé), décou- pé par K gris	Ø (vert)	py en filets < 1%	
2315.2 2362 -----		gris pâte loc gris- mauve	Vqj. conc. boud	± lessive; K	K	loc grosse py en cubes ≤ 1%	
2321.2 - 2322.4			Vqj w vad. + V6 alt disc ou conc ?				x faux j + filets w Vqj V6 alt K
2335 - 2335.3			Vq ép. less. TT				
2348.3 - 2349.1			Vqj py K + mica vqj + pâte			py < 1%	

Profondeur	Roche	Granulométrie et Couleur	Structure Secondaire	Texture et Structure	Altération	Minéralisation	Remarque
2352.6 2353.7			Vqj Kgrise chl py				^ 2354' : 30° 2367' : 40° 2385' : 35° 2397' : 40°
2360- 2362				bloquex		py < 1%	
2362- 2390 ---		gris-vert à vert -vert bant. loc gris- mouv	Vqj conc loc disc. micro veinules chl.	gen. ^ les K, loc K beige. loc pass. less. au x, loc. K gris- mouv. loc. q. pas M	K, loc φ ds. fract.		K mauve ass aux Vqj; biém?
2366 - 2370.5		grisâ ble			lessivé		
2373.3 2374.2			veinules qj loc π				
2400 - 2400.3			Vqj conc. épanles less. gris				
2403.1- 2406.7				Passage altéré; lessivé avec m j jg, py fine en filets			py < 1%.
2411.9- 2412.2			Vjg irrég. ép. lég. less. avec grosse M				py 10%.


Profondeur	Roche	Granulométrie et Couleur	Structure Secondaire	Texture et Structure	Altération	Minéralisation	Remarque
2417- 2419.3			(+ veine qj disc 60° A.C. 2cm)			gross py cubique 2-30%	√2407' : 40° A.C. 2427' : 45° 2442' : 40°
2433.9- 2435.1				passage lessivé, K gris trij qj.	K	py t-	
2437- 2443				#, lessivé, Rx vert décomposé par bandes K grises. (loc qj?).			
2446- 2480				moins V, ●			
2462- 2464.7				lessivé, vert pâle, loc K gris-mauve.			
2485.7- 2489 -----	Dyke (ou VG less?)			petits grains de chl ds matrice vert pâle			√2482' : 45° A.C. 2502' : 50° A.C.
2493.6 -2494				alt. gris.			
2490.1- 2613.3		grisâtre loc vert		●, loc V, grains mag	(loc Lx)		
2507- 2508.5				M, altéré mauve, avec Vg j mm - cm conc. et Mt automorphe ds. K? mauve.			

Profondeur	Roche	Granulométrie et Couleur	Structure Secondaire	Texture et Structure	Altération	Minéralisation	Remarque
2514- 2556			nombreuses inj qj ± py conc loc boud.	loc ⊙? loc less avec mt autom.			
2515- 2517.4			Passage lessivé gris-beige (K?). injecté de q + qj + hémi?	≠, mt ≈ 1mm		py < 1%.	
2524.7- 2527			passage altéré K beige + fu + vase? déroulant Rx less et injecté Vqj	≠		py < 1%.	
2527.2- 2573.5				Pas mag.			
2527.2 2531.5			Vqj br def., altéré recouvert de veines q blanc mais clair + j tr disc., 1-2cm.		lessivé		
2535- 2538				Passage fu contenant Vqj conc boud + Vq gris + j + plans de chl. noir schistosité? .5'. dyke?		py < 1%	
2539.8 2541.8				Passage fu. matrice vert pâle contenant, taches chl + fu., les contact int. marqué par Vqj w disc. .3' 50% avec ep ds. épave			

Profondeur	Roche	Granulométrie et Couleur	Structure Secondaire	Texture et Structure	Altération	Minéralisation	Remarque
2572.6- 2473.4			Passage gns par lessiv. + Vq				
2579.6- 2480.7			Vqj de f., Rx lessiv. r			py < 1%	
2586.9- 2587.6			Vqj + Rx phosphate				
2590.2 - 2613.3				Pas mag.			
2592.6- 2592.8				△ ?			
2599.3- 2600.3			Vqj chl noire, K, py. #, plissée, épointés: chl verte.			py < 1%.	
2607- 2613.3			Plusieurs Vqj de dir. irrég. loc plissés mm-décm. loc. bsd.			py tr. cp tr.	
2608.5- 2608.9			Vqj filets chl. noir				
2613.3- 2642.4 -----	U1-U2	gris-bleu		⊙, loc découpé par filets K gris-beige (loc vert, jaune) et chl toncée. loc recoupé de pass. apth chl. verdâtre (V6, dyke?) loc K.		py < 1%	contact int: grad + toncé, + marquée ?
2622.7- 2624.4			Vqj chl + V2				

Profondeur	Roche	Granulométrie et Couleur	Structure Secondaire	Texture et Structure	Altération	Minéralisation	Remarque
2627 2629.4	V6 ou dyke /3	aph vert à brun-vert			loc K.		
2638- 2638.3			Vqj py + passage lessive + K (brunjaune) + r			py 1%.	
2651.2- 2651.4			Vqj chl, r.p. Ø. II. 45° A.C.				
2642.4 - 2769.2	V6 ± r + Vq ≠			zone de V6 altérée (loc. fu, K, r) + Vq (UG grad r, pass. fu ass. aux Vq)	fu, K brune, jaune, verte r		
2652.8 2656.1			Passage Vqj chl loc w inj ds V6 + py loc fu.			py < 1%.	
2656.1 2665				V6 loc K, loc fu, loc #, loc plissé, inj Vqj + py fine.	loc Ø	py ≤ 1%	
2665- 2670.7			zone Vqjw + Fx Vqj (+ Fx V2?) drapée par et ds. lambeaux de L jaune, chl verte et noire			py 1% loc en rubes.	~~~~~?
2670.7- 2681.2			Vqj chl.	V6 vert @ loc Lx recoupé de veines irrég. ≈ .5', ≈ A.C.		py tr.	

Profondeur	Roche	Granulométrie et Couleur	Structure Secondaire	Texture et Structure	Altération	Minéralisation	Remarque
2681.2 2683.3			Vq laitoux j chl r? py cp			py tr cp tr.	2662': 55° A.C. 2699': 50° A.C.
2683.3 2683.9				VG K ⁺ jaune v++			
2683.9- 2696.8				VG vert phan @, grad + grenu, grad + r, matrice loc K jaunr.	v nit à v+ loc K jaunr		
2684.6			Vq gris w cp 2cm 35° A.C.			cp tr.	
2686- 2686.2			Vq j chl.				
2687.7- 2688.2			Vq j chl.				
2690.5- 2691			Vq j 50° A.C.				
2696.8- 2719.3	dyke? v6 alt?			Passage ≠. le's tt, vert ^{loc D} p ₀ tr, loc Fu. recoupré par Vq j. + mica bleu-vert (aqu) à vert p ₀ tr. (tu?) (talc?). Lenticilles et veinules qj		py en cubes tr.	
2697.3 2698.1			Vq le's gris j Rx fu + mica vert.				
2699.5- 2700.2			Vq j mica vert p ₀ tr chl tr py			py tr.	

Profondeur	Roche	Granulométrie et Couleur	Structure Secondaire	Texture et Structure	Altération	Minéralisation	Remarque
2702.4 2709		gris loc brun-vert phan à kg grau.	Vsgj def. loc Δ	Pas fu. Rx moins altéré, r? découpée par filets K brune à jaune (+ fu tr.), + filets chl noir	r?, K brun vert loc fu.		comp + α? matrice + pâte.
2709 - 2719.3		les grau		fuschitegr, loc très déformé		py ≤ 1%	
2709 - 2711.1			inj irrég. et la F _x g + F _x g _j mm-cm ds Rx K+fu+chl ou K gris à noir.			py ≤ 1% opt	Δ
2711.1 - 2716.6				texture les ≠, homogène, regroupée de Vg _j 1cm à 3' + veines noirs (w au chl) def. + q _j (offset) + j			
2714.3 - 2714.6			Vg _j irrég. ≈ can			py 1-2%	
2716.6 - 2719.3				≠, plissé, def. inj de Vsg _j ± chl noir dev. irrég.		loc py 1%	
2719.3 - 2737.5 ---	V1 φ (V2?)	aph gris-foncé à presque noir		●, loc passages app. B: les. chbiteux, aph + r? + K	chl noir sur plans de fract. loc. ↓.	py diss. hétérogène gen 1%	alternance V1/UG (prédominance V1) φ par veine?
2726 - 2727						py fine 1-3%	
2729 - 2731.5						py 2-7%	
2729.7 - 2729.9			Vg disc SS°A.C.				

Profondeur	Roche	Granulométrie et Couleur	Structure Secondaire	Texture et Structure	Altération	Minéralisation	Remarque
2735 - 2735.2			Vqj dis / 55° A.C.				
2736 - 2736.2			Vqj disc 65° A.C. M			py t-	
2737.5 - 2751.6 -----			V déformée q laitex à gris, j chl noire (jusqu'à 50%) py, Kr, + mica vert eau + Kargente + w + la Rx K + vt.			py 1-2% cp t.	← pas de dir. préférentielle ~~~~? marque de but ≠ t
2741.5 - 2743.4			V6 K + vt + py loc tt			py 1%.	
2749						tache cp.	
2751.6 - 2769.2 -----	V6 ?	verdâtre	recouvert de Vsgj ± chl	tt, ≠, filets K ⁺ vt ± fu ds matériel plus p ⁺ qui diminue en proportion graduellement. (∴ grad + K, vt)	fu K-K ⁺ vt - vt K gris à brun à jaune chl?		alter. ≠.
2752.2 - 2752.4			Vqj. 70° A.C.				
2752.7			Vqj 2cm - .1' disc. 60° A.C.				
2753.3			Vqj r h len filets, 3'				

Profondeur	Roche	Granulométrie et Couleur	Structure Secondaire	Texture et Structure	Altération	Minéralisation	Remarque
2754.3- 2754.8			Vg jchl w, vrrs.				✓ 2777' : 55° A. / 2783' : 55° A. / 2796' : 65° A. C. 2802' : 60° A. / 2807' : 55° 2816' : 60° 2821' : 25° 2827' : 40° 2832' : 50° 2837' : 40°
2769.2- 2841		gris + brun	Vg j conc fxtre, band. et bcc sont prises ds. #	# + # ⁺ (rouse par #), consist ^{te} en généralement de mince bandes ^{franches} mm-cm grisâtres (matériel quartz-spathique, α?) intercalé avec bandes K gris mm ± v. Loc passages ○.	K, r K verdâtre. puis brun		
2769.2 - 2773.6				zone de Vg j chl noire K verdâtre + Fx déformés (V2?)			Vg ~ A, de formr.
2773.6. 2789				Rx grisâtre (α?) h's #, découpé par minces filets K+r	loc. chl. noire.		peu de formr. peu altér.
2785- 2787.5				○, r?	r?		2787.5 ↓ def, alt.
2791.5- 2791.7				boue de faille			
2818.6- 2820			nombreuses Vg j prises ds # et band.				
2820- 2826				○, K+r peu #, pas de matériel gris α?		pyon tentilles 3%.	B?
2826- 2830.6	v2	gris-bleu pâle		aspect ○, découpé par minces filets K, pas #	K beige pâle		⊥ 2841

Profondeur	Roche	Granulométrie et Couleur	Structure Secondaire	Texture et Structure	Altération	Minéralisation	Remarque
2841- 2907	? v6 loc V1?	gris-brun à gris vert grenu		≠ et loc # mais mans intensement que plus haut. gén. K brunâtre + rt, A intercalé avec bandes Kx grisâtre ou verdâtre, bandes gén. diffuses (+fbues que +haut et plus larges)	K, rt loc Lx?		même unité que précédente mais mans cisailée? zones verdâtres: B? comp. semble loc hétérogène.
2845- 2846.6			Vqj irrég.				
2846.9- 2846.1			Vqj discr.				
2846.1- 2850.7		vert			Ø? ou UG?		
2848.2- 2848.4			Vqj w? (zone).				
2851.9- 2852.1			Vqj wdi's c.				
2852.6- 2853				passage grisâtre (α?) recouvert de veinures K et r			
2869.4- 2870.8			Vqj K gris avec c'pante brun pâle py + cp (ou py ox)		K, lessivé		de 2863: gris loc gris marron, py < 1%
2873.2- 2874			injections qj gris. + filets Kx + chl nare			py ≤ 1% cp < 1%	
2884.4 -2885.8				Passage α ou Vqj grisâtre décapré na chl + r + r		py ≤ 1%	

Profondeur	Roche	Granulométrie et Couleur	Structure Secondaire	Texture et Structure	Altération	Minéralisation	Remarque
2897.5 2897.9			Vjpp/ py fine ds échant.			py 2%	√ 2867': 40° AC 2877': 40° 2897': 40°
2905- 2907				matrice pâle (a) avec filets Kpâtr + v plus grossier		py 1%.	
à 2907 : FIN DU TROU							

ANALYSE DES CAROTTES DE FORAGE: GEOCHIMIE

Unité	No. Echant.	de	à	Longueur				SiO ₂	Al ₂ O ₃	FeO	MgO	CaO	Na ₂ O	K ₂ O	TiO ₂	P ₂ O ₅	MnO	CO ₂	S	H ₂ O-	LOI	Cu	Pb	Zn	Ni	Co	Ag	Au
				%	%			%	%	%	%	%	%	%	%	%	%	%	%	%	%	%	%	%	%	ppm	ppm	ppm
	6428	130	155	-			53.5	11.69	10.53	2.97	7.59	1.03	1.43	1.61	0.26	0.27	6.30	0.41	1.86	8.57	56	12	122	20	35	1.3	6	
	6429	340	365				52.2	12.47	10.86	3.86	7.06	1.81	0.88	1.65	0.16	0.25	5.87	0.41	2.06	8.34	81	13	89	28	43	1.5	6	
	6430	510	535				49.7	13.11	10.94	4.86	7.93	3.10	0.05	1.28	0.16	0.27	6.07	0.17	2.01	8.25	106	14	84	42	46	1.5	6	
	6431	745	770				52.0	12.68	11.26	5.64	7.76	2.33	0.02	1.42	0.07	0.23	4.21	0.05	2.07	6.33	99	12	74	39	42	1.2	6	
	6432	960	985				50.4	13.08	11.35	5.03	7.43	3.01	0.07	1.31	0.07	0.24	5.96	0.05	1.82	7.83	101	14	76	44	47	1.4	5	
	6433	1055	1080				48.0	13.03	13.18	5.08	7.50	2.45	0.21	1.26	0.08	0.28	5.54	0.11	2.88	8.53	87	15	76	50	49	1.7	9	
	6434	1150	1175				53.0	13.37	11.13	5.38	7.15	2.65	0.01	1.49	0.08	0.24	3.27	0.23	1.69	5.19	84	8	67	35	38	1.0	6	
	6435	1302	1327				51.6	13.18	11.22	5.62	6.91	2.94	0.04	1.45	0.10	0.20	4.16	0.47	1.58	6.21	107	10	63	28	37	1.0	7	
	6436	1475	1500				52.6	13.88	11.32	6.09	6.36	3.19	0.02	1.55	0.05	0.24	2.02	0.41	1.61	4.04	102	6	65	34	40	0.9	5	
	6437	1652	1677				48.2	12.89	10.56	5.74	7.89	2.80	0.24	1.40	0.18	0.20	7.18	0.28	1.96	9.42	100	11	63	39	39	1.5	8	
	6438	1805	1830				53.4	13.76	10.46	5.96	7.81	2.41	0.06	1.36	0.11	0.21	2.05	0.09	2.14	4.28	109	6	62	32	31	0.9	10	
	6439	2000	2025				49.0	13.49	10.70	4.22	7.94	2.77	0.67	1.45	0.08	0.21	7.75	0.15	1.36	9.26	111	11	70	31	37	1.4	7	
	6440	2213	2237				47.2	13.56	8.61	5.15	7.73	2.61	0.42	1.36	0.14	0.25	6.72	0.02	6.01	12.75	115	12	76	39	35	1.5	11	
	6441	2378	2402				56.1	12.96	10.10	1.73	5.15	2.21	1.10	1.95	0.13	0.21	5.93	0.21	2.34	8.48	47	9	95	22	38	1.3	20	
	6442	2480	2505				54.7	13.94	9.97	2.05	6.03	2.86	1.21	1.51	0.13	0.15	5.66	0.15	2.42	8.23	51	7	72	19	30	1.0	21	
	6443	2553	2578				50.8	13.74	10.34	2.71	6.56	1.46	1.18	1.19	0.16	0.16	8.62	0.01	4.95	11.58	60	8	64	31	34	1.0	6	
	6444	2614	2638				70.4	10.96	4.21	1.95	3.53	1.06	0.92	0.35	0.24	0.10	2.12	0.01	3.99	6.12	19	4	54	9	7	0.6	10	
	6445	2720	2737				75.9	8.04	7.96	1.89	1.65	0.08	0.09	0.32	0.08	0.07	1.63	0.28	1.64	3.55	45	5	58	70	32	0.8	133	
	6446	2805	2830				60.4	15.44	4.65	3.94	5.19	0.87	0.35	0.82	0.25	0.07	2.25	0.01	6.56	7.82	26	7	32	50	19	0.7	9	
	6447	2875	2900				64.3	12.95	4.97	2.90	4.86	0.64	0.35	0.85	0.27	0.11	2.32	0.28	4.79	7.39	104	6	21	25	19	0.6	15	

ANALYSE DES CAROTTES DE FORAGE: SULFURES

Unité	N° Echantillon	De PIEDS	à PIEDS	Longueur PIEDS	ANALYSES								MOYENNE PONDÉRÉE									
					Estimée		% Cu	% Zn	Ag ppm	Au ppb	% Fe	Go / chick	De	à	Longueur	% Cu	% Zn	Ag ppm	Au ppm	% Fe		
					Cu	Zn																
	7701	57	62	5						14												
	7702	62	67	5						15		16/14										
	7703	67	72	5						14												
	7704	72	77	5						32												
	7705	77	82	5						9												
	7706	82	87.5	5.5						14												
	7707	87.5	92	4.5						14												
	7708	92	97	5						12												
	7709	97	102	5						14												
	7710	102	106.8	4.8						18												
	7711	106.8	111.4	4.6						16												
	7712	111.4	116.3	4.9						18												
	7713	116.3	121.1	4.8						15		14/16										
	7714	121.1	125.9	4.8						12												
	7715	125.9	130.7	4.8						23												
	7716	236	237.3	1.3						18												
	7717	249.4	251.1	1.7						21												
	7718	402	403.6	1.6						21												
	7719	463.5	468	4.5						26		28/23										
	7720	486.6	488	1.4						18												

